

UDC 519.28:
629.783.05:
007.3

航空宇宙技術研究所資料

TECHNICAL MEMORANDUM OF NATIONAL AEROSPACE LABORATORY

TM-266

カルマンフィルターによる軌道および誘導誤差解析の
ためのシミュレーションプログラム

村田正秋・志甫徹・吉田正廣

1974年11月

航空宇宙技術研究所
NATIONAL AEROSPACE LABORATORY

目 次

0. まえがき	1
1. 座標系・力学系	2
2. 誘導制御系	6
3. 線測系	9
4. カルマンフィルターに関する考察	11
5. 数値計算法に関する考察	14
6. プログラム設計に関する考察	17
7. あとがき	17
付録 シミュレーション・プログラム	
1. BASIC SUBROUTINES	19
2. APPLICATION PROGRAMS	49

カルマンフィルターによる軌道および誘導誤差 解析のためのシミュレーションプログラム*

村田正秋**・志甫徹**・吉田正廣**

Simulation Program for Rocket Trajectory and Guidance Error Analysis Using Kalman Filter

By Masaaki MURATA, Toru SHIHO
and Masahiro YOSHIDA

ABSTRACT

In this report we present one phase of a study on error analysis of space trajectories, that is to say, how to build an error analysis program based on the modern estimation theory. The proposed method plays an essential role in the post-flight evaluations of the GN&C system of a space vehicle, and is applicable as well to the mission planning phase.

The simulation program thus constructed has the following capabilities:

- (1) generating any guided trajectories, noisy radar tracking data and IMU outputs (by DATA GENERATOR), and
- (2) conducting sensitivity analysis and guidance error recovery with regard to almost all guidance parameters in the "consider" option as well as in the "solve-for" option (by TRAJECTORY RE-CONSTRUCTOR).

In the appendices, the basic subroutines and some of the application programs for space guidance are presented with the lists for user's information.

0. まえがき

筆者らは過去数ヶ年にわたって制御を考慮した軌道推定の研究を行ってきた。¹⁾一方筆者のひとりは、誘導方程式の開発²⁾および最適軌道の研究³⁾にも関与した。これらの研究活動を通して、筆者らは誘導制御系の設計とその評価のためのプログラムの構造は如何を追求してきた。本報告はこの問題に対する筆者らの回答であり、理論展開としては Kalman-Bucy の推定理論を基礎にしている。また筆者らが作製した一通りのプログラムも公表した。プログラムでは、所要 *incore* メモリーを節約し、また計算時間を短縮するためにアルゴリズムおよびソフトウェアの設計に若干の工夫がなされている。もうひとつの特徴は、*incore* の割当てと *coding* を容易にするため殆

んど全体を通して 1 次元 ARRAY を採用している。

もとよりこのような大規模なシミュレーションプログラムは筆者らの手に余る部分があまりにも多い。われわれが必要と認めながらも作製されていないプログラムも數多い。pre-flight phase における IMU の calibration プログラムはその 1 例である。また本報告では injection phase までに限定しているが同様の接近をして近い将来には interplanetary flight まで拡張する予定で現在検討中である。

本プログラムの特徴と使用上の注意を述べる。

- (1) GNT, GDT および GRT (これらの説明は第 4 節を参照) を任意に計算できる。尚 GNT の計算においては、われわれの興味は 2 段目以降の active な guidance phase にあるので、空気力の効果は考慮されていない。しかし user は目的に応じてより高精度な軌道発生プログラムと置き換えることができ

* 昭和49年6月21日
** 計測部

- る。
- (2) 雑音に乱されたレーダートラッキングデータおよびIMU出力をシミュレートできる。不規則雑音としては、任意に与えられた統計量をもつ白色雑音あるいは有色雑音を印加できる。
- (3) 殆んどすべての誘導パラメータ、例えばIMU～ドウェア誤差、レーダーシステム誤差、重力ボテンシャル誤差等に関する感度解析あるいは飛翔後の実データに基づく誘導誤差解析が可能である。これは Kalman-Bucy の推定理論に基づく統計的手法によっている。
- (4) アルゴリズムとして、塔載型誘導計算機が実際に行うのと同様のG & N計算をシミュレートできる。航法計算は strapdown 方式および stable platform 方式両方について可能である。また誘導計算はサターン型の3次元 explicit IGM (Iterative Guidance Mode) によっている。制御系は殆んど理想的に機能するものと仮定されるが、まだ推力の大きさと方向（すなわち推力軸のミスアラインメント）の fluctuations は適当な不規則雑音を付加してシミュレートしている。
- (5) 附録として我々が開発し常時使用している一連のプログラムを user のためにリストとともに掲載した。
- 我々が新しく開発している実用的フィルターについては結果だけを報告している。その応用例に関しては別途報告する予定である。

1. 座標系・力学系

1.1 座標系

基本的な座標系を説明する。

(1) 基準座標系

平均北極方向に Z_I 軸、赤道面と LAUNCH MERIDIAN との交わりを X_I 軸とする地球中心の右手慣性座標系 $O_E - X_I Y_I Z_I$ を基準座標系に選び、以後この座標系を I 座標系と呼ぶ。

(2) L 座標系 (Launch site coordinate)

図 1 に示すように Launch site に原点 O_L を有し、その接平面上東に X_L 軸、真北に Z_L 軸、鉛直上方に X_L 軸の慣性座標系 $O_L - X_L Y_L Z_L$ を L 座標系という。 I 座標系から L 座標系への座標変換行列 C_{LI} は、

$$C_{LI} \triangleq \begin{pmatrix} \cos \phi_L & 0 & \sin \phi_L \\ 0 & 1 & 0 \\ -\sin \phi_L & 0 & \cos \phi_L \end{pmatrix} \quad (1)$$

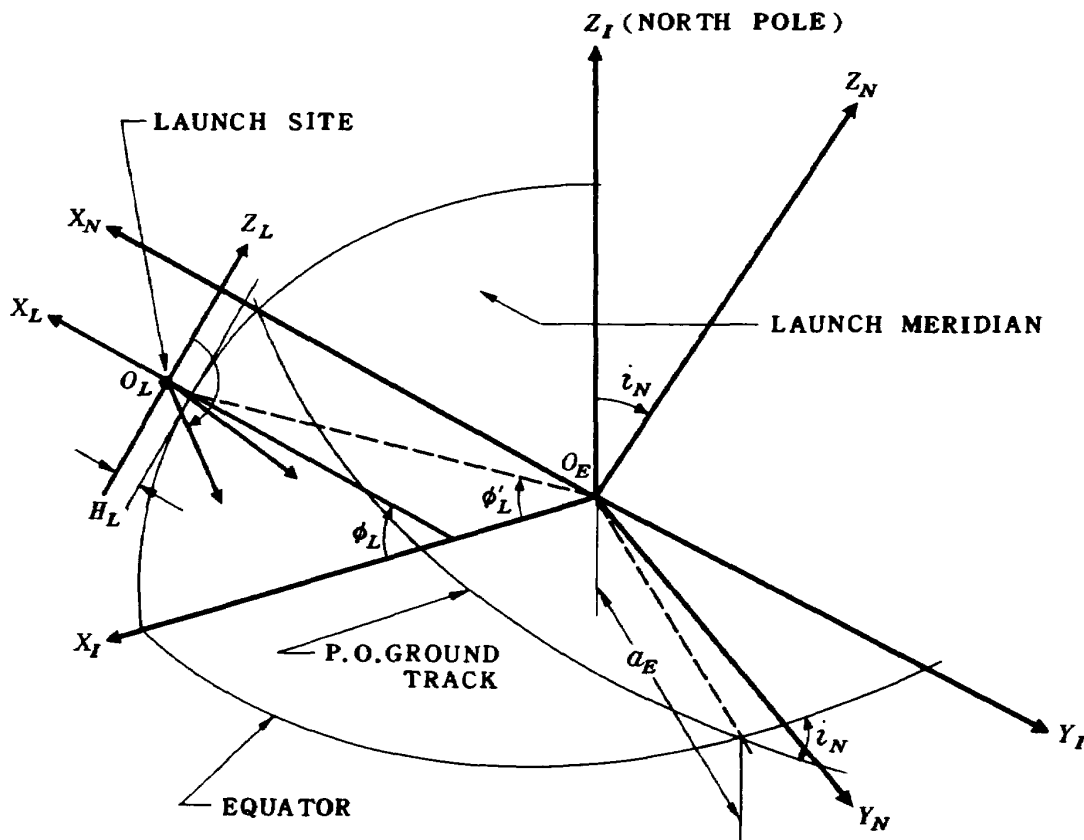


図 1 座標系 (その 1)

で与えられる。ここで ϕ_L は O_L の測地学的緯度 (geodetic latitude) であり、地理学的緯度 (geographic latitude) ϕ'_L とは、地球の離心率を e とすると

$$\tan \phi_L = \frac{\tan \phi'_L}{1 - e^2}$$

で結ばれている。 ϕ'_L を launch latitude ということもある。

(3) 航法座標系 (Navigation coordinate)

航法計算の基準になる慣性座標系である。ミッションの各 phase に応じて種々の座標系が用いられるが、特に injection phase まででは図 1 に示すように地球中心の、parking orbit (P.O.) 面内で X_L 方向に X_N 軸、それに直交して Y_N 軸をもつ右手座標系 $O_E - X_N Y_N Z_N$ を使うと便利である。この座標系を N 座標系という。 L 座標系から N 座標系への座標変換行列 C_{NL} は、

$$C_{NL} = \begin{pmatrix} 1 & 0 & 0 \\ 0 & \sin \phi_L & \cos \phi_L \\ 0 & -\cos \phi_L & \sin \phi_L \end{pmatrix} \quad (2)$$

である。ここに ϕ_L は Z_L 方向から測った方位角 (Launch

azimuth) である。P.O. 面の傾斜 (inclination) を i_N とする

$$\cos i_N = \sin \phi_L \cos \phi_L \quad (3)$$

が成り立つ。また L 座標系から N 座標系への座標変換行列 C_{NL} は、 $C_{NL} = C_{NL} \cdot C_{LU}$ から

$$C_{NL} = \begin{pmatrix} \cos \phi_L & 0 & \sin \phi_L \\ -\cos \phi_L \sin \phi_L & \sin \phi_L & \cos \phi_L \cos \phi_L \\ -\sin \phi_L \sin \phi_L & -\cos \phi_L & \sin \phi_L \cos \phi_L \end{pmatrix} \quad (4)$$

で与えられる。

(4) 回転座標系

図 2 に示すように、機体重心に原点 O_R を有し、飛翔体の運動とともに回転する座標系 $O_R - X_R Y_R Z_R$ でこれを R 座標系という。local horizon 面に対して、 Z_R 軸は垂直上方に、 Y_R 軸は面内かつ P.O. 面に平行にとる。

N 座標系から R 座標系への座標変換行列 C_{RN} は、

$$C_{RN} = \begin{pmatrix} \sin \phi \cos \theta & \sin \phi \sin \theta & -\cos \phi \\ -\sin \phi & \cos \phi & 0 \\ \cos \phi \cos \theta & \cos \phi \sin \theta & \sin \phi \end{pmatrix} \quad (5)$$

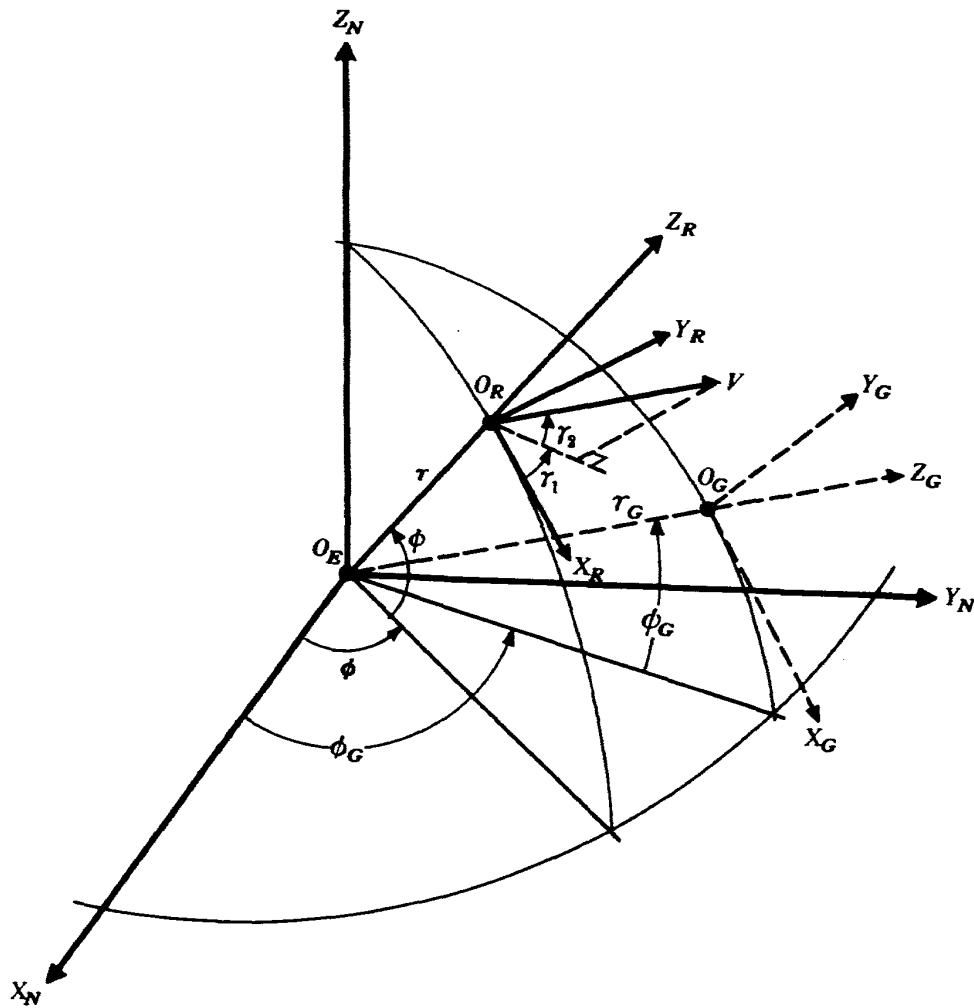


図 2 座標系(その 2)

となる。ここに ϕ は range angle, ψ は cross-range angle である。したがって飛翔体の位置ベクトル \underline{r} , 速度ベクトル \underline{v} の R 座標系から N 座標系への変換は次式にて従う。

$$\begin{aligned}\underline{r}_N &= C_{NR} \underline{r}_R \\ \underline{v}_N &= C_{NR} \underline{v}_R + Q_N C_{NR} \underline{r}_R\end{aligned}\quad (6)$$

ここで

$$\begin{aligned}\underline{r}_R &= \begin{pmatrix} 0 \\ 0 \\ r \end{pmatrix}, \quad \underline{v}_R = \begin{pmatrix} 0 \\ 0 \\ \dot{r} \end{pmatrix} \\ Q_N &= \begin{pmatrix} 0 & -\dot{\phi} & -\dot{\phi} \cos \phi \\ \dot{\phi} & 0 & -\dot{\phi} \sin \phi \\ \dot{\phi} \cos \phi & \dot{\phi} \sin \phi & 0 \end{pmatrix}\end{aligned}$$

(5) 誘導座標系 (Guidance Coordinate)

誘導を行う基準慣性座標系 $O_G-X_G Y_G Z_G$ で G 座標系といふ。所望の injection (または stage separation) point O_G に原点を有し、3 軸の設定は R 座標系と同様である。 N 座標系から G 座標系への座標変換行列は

$$C_{GN} = \begin{pmatrix} \sin \phi_G \cos \psi_G & \sin \phi_G \sin \psi_G & -\cos \phi_G \\ -\sin \phi_G & \cos \phi_G & 0 \\ \cos \phi_G \cos \psi_G & \cos \phi_G \sin \psi_G & \sin \phi_G \end{pmatrix} \quad (7)$$

となる。ここで ϕ_G , ψ_G はそれぞれ原点 O_G の N 座標系に於ける range angle および cross-range angle である。

(6) 機体固定座標系 (Body fixed coordinate)

図 3 に示すように機体軸 (ロール軸) を Z_B , ヨー軸を

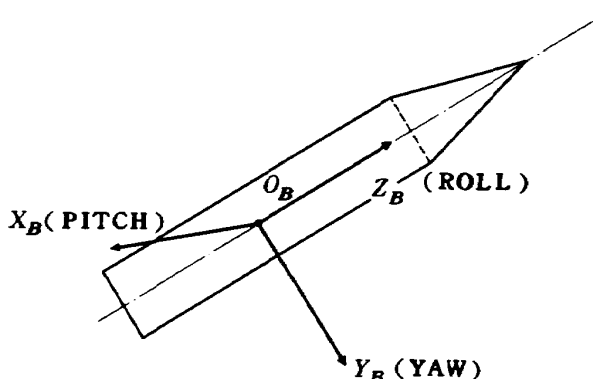


図 3 座標系 (その 3)

Y_B として機体に固定された座標系 $O_B-X_B Y_B Z_B$ を B 座標系といふ。 B 座標系から N 座標系 (または I 座標系) への座標変換行列 C_{NB} (または C_{IB}) は常微分方程式

$$\dot{C}_{NB}(t) = C_{NB}(t) (\underline{\omega} \times) \quad (8)$$

に従う。ここで $\underline{\omega} = (\omega_x, \omega_y, \omega_z)'$ は機体の角速度ベクトルの B 座標での表現である。また一般に、任意の 3 次元ベクトル $\underline{a} = (a_x, a_y, a_z)'$ に対して次式で定義される行

列を $\underline{\omega}$ のつくる回転行列とよぶ。

$$[\underline{\omega} \times] = \begin{pmatrix} 0 & -a_z & a_y \\ a_z & 0 & -a_x \\ -a_y & a_x & 0 \end{pmatrix}$$

(7) 地球固定座標系 (Earth fixed coordinate)

地球に固定され、自転とともに回転する座標系で打上げ瞬時に I 座標系に一致する回転座標系 $O_E-X_E Y_E Z_E$ を E 座標系といふ。 I 座標系から E 座標系への座標変換行列 C_{EI} は次式で与えられる。

$$C_{EI} = \begin{pmatrix} \cos \omega_E t & \sin \omega_E t & 0 \\ -\sin \omega_E t & \cos \omega_E t & 0 \\ 0 & 0 & 1 \end{pmatrix} \quad (9)$$

ここで ω_E は地球の自転速度とする。

(8) レーダーサイト座標系

図 4 に示すようにレーダーサイトに原点 O_S をもち接平面内真東に X_S 軸、真北方向に Y_S 軸および垂直上向きに Z_S 軸をとった地球固定の回転座標系 $O_S-X_S Y_S Z_S$ を S 座標系といふ。 E 座標系から S 座標系への座標変換行列 C_{SE} は次式で与えられる。

$$C_{SE} = \begin{pmatrix} -\sin \lambda_S & \cos \lambda_S & 0 \\ -\sin \phi_S \cos \lambda_S & -\sin \phi_S \sin \lambda_S & \cos \phi_S \\ \cos \phi_S \cos \lambda_S & \cos \phi_S \sin \lambda_S & \sin \phi_S \end{pmatrix} \quad (10)$$

ここで λ_S , ϕ_S はそれぞれレーダーサイトの、 E 座標系の X_E 軸から測った経度および測地学的緯度とする。またレーダーサイトの E 座標系での位置ベクトル \underline{R}_E は

$$\underline{R}_E = \begin{pmatrix} G_1 \cos \phi_E \cos \lambda_E \\ G_1 \cos \phi_E \sin \lambda_E \\ G_2 \sin \phi_E \end{pmatrix} \quad (11)$$

ただし

$$G_1 = H_S + \frac{a_E}{\sqrt{1 - e^2 \sin^2 \phi_E}}, \quad G_2 = H_S + \frac{a_E (1 - e^2)}{\sqrt{1 - e^2 \sin^2 \phi_E}}$$

ここで a_E は地球の平均赤道半径を、 H_S はサイトの想定した規準回転楕円面からの垂直上向きの高さを表わし、また当然 $\phi_E = \phi_S$, $\lambda_E = \lambda_S$ である。

(9) IMU 計測座標系 (Instrumentation coordinate)

IMU, すなわち加速度計およびジャイロのそれぞれ出入力軸および pendulum 軸 (スピナ軸) のつくる規準的 (nominally) に直交する座標系を M 座標系といふ。また IMU が stable platform を構成する場合に platform 上の 3 個の加速度計の入力軸がつくる座標系を P 座標系といふ。(図 5)。

(10) 軌道座標系 (Trajectory coordinate)

適当な慣性座標系 (すなわち N 座標系または I 座標系) に於ける飛翔体の位置ベクトル \underline{r} , 速度ベクトル \underline{v} を使

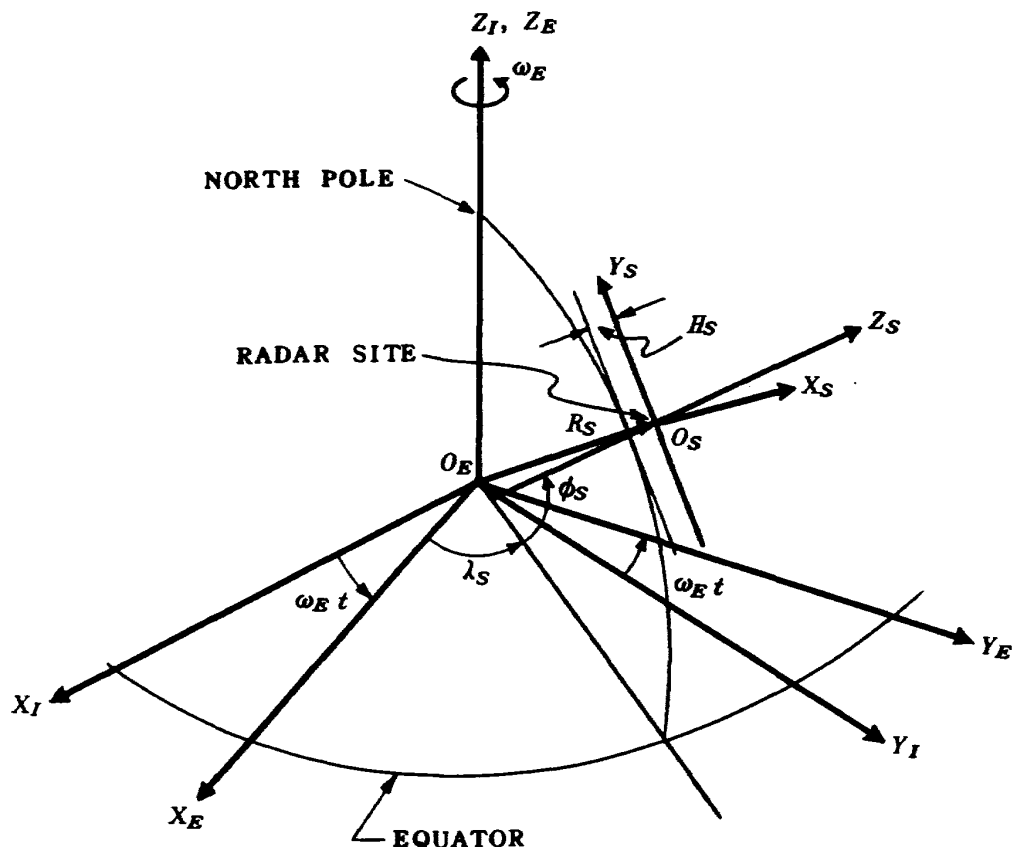


図4 座標系(その4)

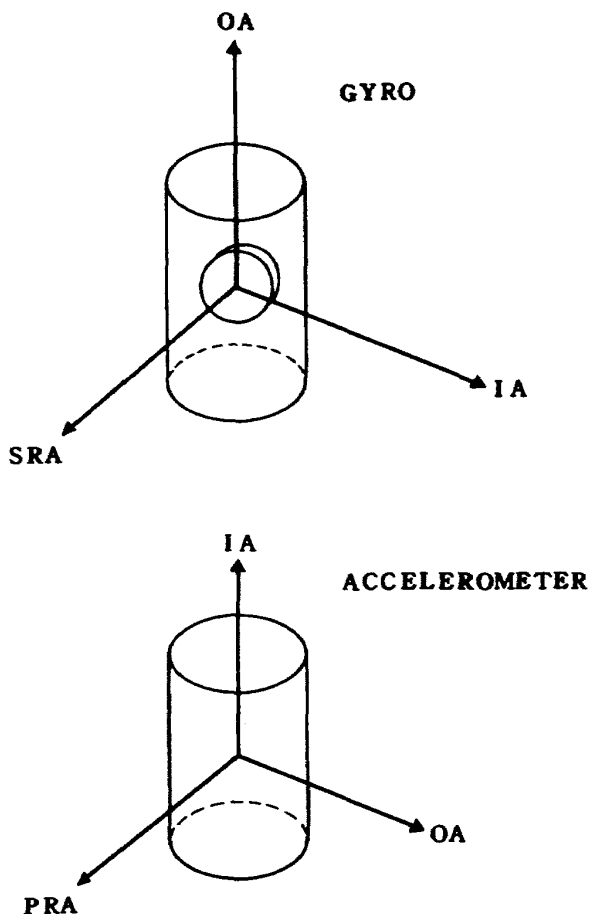


図5 座標系(その5)

って次のような直交座標系 $O_T - X_T Y_T Z_T$ を構成するとき、この座標系を T 座標系といふ。 T 座標系では地球の扁球性を無視するならば、 X_T が downrange 方向の、 Y_T が cross-range 方向の、 Z_T が高度方向の単位ベクトルを与える。従ってたとえば I 座標系から T 座標系への座標変換行列 C_{TI} は

$$C_{TI} = \begin{pmatrix} X_T \\ Y_T \\ Z_T \end{pmatrix} \quad (12)$$

で与えられる。とくに経路角 (flight path angle) を γ_T とすると

$$\cos \gamma_T = \frac{(\underline{v}, \underline{x}_T)}{\|\underline{v}\|} \quad (13)$$

が成り立つ。

以上10項目の座標系は本報告で基本的に重要な役割を演じる。目的によっては別の座標系も必要になろうが誘導制御系のシンセシスおよびアナリシスを行う場合に最小限これだけは用意しておくべきであろう。

1.2 力学系

軌道発生 われわれのプログラムには多段大型ロケットの injection までの推力飛翔軌道を R 座標系において質点計算する軌道発生プログラムが補助的に用意されている。軌道発生は、目的に応じて2次元 (pitch

面)および3次元ともに計算可能である。その際 IMU 入出力をシミュレートするため、ロケットの角速度ベクトルを発生するプログラムも内含されている。

2. 誘導制御系

2.1 航法系

航法(Navigation)とは、IMU、レーダートラッキングあるいは光学的センサーの計測データに基づいて、飛翔体の現時点における位置、速度および姿勢を決定することである。観測手段として何を用いるかに応じて当然航法計算のアルゴリズムは異なる。ここでは純慣性誘導の大型ロケットを想定して、IMU出力のみによる航法系について述べる。この場合航法計算の規準になる座標系の保持の仕方に応じて、stable platform方式とstrapdown方式のふたつがあることを既報告¹⁾の中でも説明した。

航法計算はN座標系で行うのが普通である。両方式に対する運動方程式はそれぞれ次式で記述される。

stable platform方式

$$\ddot{\underline{R}}_N = \underline{g}_N + C_{NP} C_{PM} \underline{a}_M \quad (14)$$

ただし \underline{a}_M : 非重力加速度 (M座標)

C_{NP} : $P \rightarrow N$ 座標変換行列(一定)

C_{PM} : $M \rightarrow P$ 座標変換行列*

\underline{R}_N : 位置ベクトル

\underline{v}_N : 速度ベクトル ($= \dot{\underline{R}}_N$)

\underline{g}_N : 重力加速度 ($= C_{NE} \underline{g}_E$ (R_E)), 但し

$R_E = C_{EN} R_N$

strapdown 方式

$$\ddot{\underline{R}}_N = \underline{g}_N + C_{NB} C_{BM} \underline{a}_M \quad (15)$$

$$\dot{\underline{C}}_{NB} = C_{NB} [\underline{\omega}_B \times], \quad \underline{\omega}_B = C_{BM} \underline{\omega}_M \quad (16)$$

ただし \underline{a}_M : 非重力加速度 (M座標)

$\underline{\omega}_M$: 角速度 (M座標)

C_{NB} : $B \rightarrow N$ 座標変換行列

C_{BM} : $M \rightarrow B$ 座標変換行列*

(14)式の \underline{a}_M は platform 上の加速度計によって計測される。(15)(16)式の \underline{a}_M , $\underline{\omega}_M$ は strapdown package 内の加速度計およびジャイロによって計測される。後述するようにジャイロは出力軸に垂直な方向の加速度にセンシティブで大きな誤差を誘起するので両 package はできるだけこれによる誤差を小さくするように構成される。その一般的に最適な配置は既報告¹⁾で説明した。

さて航法計算は、補正された IMU 出力に基づいて(14)

または(15)(16)を積分することにより行なわれる。得られた \underline{R}_N , \underline{v}_N が誘導系への入力になり、同時に stable platform のジンバル角、あるいは C_{NB} が制御系に機体の姿勢情報を与える。

われわれのシミュレーションプログラムに用意されている航法計算アルゴリズムを次に示そう。いま

$$\delta \underline{v}_M = \int_t^{t+\Delta t} \underline{a}_M dt$$

$$\delta \underline{\theta}_M = \int_t^{t+\Delta t} \underline{\omega}_M dt$$

とする。また

$$\left. \begin{aligned} \underline{R}_N(t+\Delta t) &= \underline{R}_N(t) + \delta \underline{R}_N \Delta t \\ \underline{v}_N(t+\Delta t) &= \underline{v}_N(t) + \delta \underline{v}_N \Delta t \end{aligned} \right\} \quad (17)$$

とするとき、

stable platform 方式

$$\left. \begin{aligned} \delta \underline{R}_N &= \underline{v}_N(t) + \frac{1}{2} [\underline{g}_N(t) \Delta t + C_{NP} C_{PM} \delta \underline{v}_M] \\ \delta \underline{v}_N &= \frac{1}{2} [\underline{g}_N(t) + \underline{g}_N(t+\Delta t)] + C_{NP} C_{PM} \delta \underline{v}_M \end{aligned} \right\} / \Delta t \quad (18)$$

strapdown 方式

$$\left. \begin{aligned} \delta \underline{R}_N &= \underline{v}_N(t) + \frac{1}{2} [\underline{g}_N(t) \Delta t + \delta \underline{v}_N] \\ \delta \underline{v}_N &= \frac{1}{2} [\underline{g}_N(t) + \underline{g}_N(t+\Delta t)] + \delta \underline{v}_N / \Delta t \end{aligned} \right\} \quad (19)$$

$$\delta \underline{v}_N = C_{NB} C_{BM} \delta \underline{v}_M \quad (20)$$

$$C_{NB}(t+\Delta t) = C_{NB}(t) \cdot A \quad (21)$$

$$A = I + (\delta \underline{\theta}_B \times J + \frac{1}{2} (\delta \underline{\theta}_B \times)^2) \quad (22)$$

$$\delta \underline{\theta}_B = C_{BM} \delta \underline{\theta}_M \quad (23)$$

(17)式の update は、 guidance cycle で行なえばよいが(21)式の update は正確に計算する必要があって、通常 guidance cycle 内で 100 回程度繰り返す。 \underline{g}_E はその第 3 項以降が $10^{-4} g$ 程度で加速度計の精度と合致することから航法計算のためには高々 J_2 を含む項まで考慮すれば充分である。本プログラムでは第 1 項のみ組み込まれている。

2.2 誘導制御系

われわれのシミュレーションプログラムにはサターン型の 3 次元 explicit IGM (Iterative Guidance Mode) が用意されている。すなわち G 座標系で所望の injection (または separation) 条件を指定すれば、それを終端条件として満足する最短時間 (推力一定とすれば最少燃量) 制御を実現するための推力指令角 (steering command) を発生させることができる。IGM に関する

* C_{PM} および C_{BM} は規準的に直交し、しかも単位行列としてよい。

ては既に新田、大坪、松島および志甫による報告²⁾がある。

サターン型の IGM は、flat earth の仮定で変分法を使って得られる range angle free optimal steering であり次の 2段階を経て決定される。

phase 1. range angle free & altitude free

すなわち速度にのみ拘束を課した最短時間制御でその最適解は定推力角 \tilde{x} を与える。 \tilde{x} に微小な補正角 δ を附加して、終端でさらに与えられた位置（高度）をも満足するような最短時間制御を新たに考える。即ち

phase 2. range angle free only

この最適解 $\tilde{\delta}$ は一般に次の linear-tangent steering law として知られている。

$$\tan \tilde{\delta} = A + B t \quad (24)$$

$\tilde{\delta}$ は微小角

$$\tilde{\delta} \sim A + B t$$

という近似が成り立ち、最終的に準最適な推力角

$$x = \tilde{x} + A + B t \quad (25)$$

を得る。^{*}ここで $0 \leq t \leq T$ とし、 \tilde{x} 、 A 、 B および T (time-to-go) の値は後に導かれるように終端拘束条件

件および現時刻の位置および速度ベクトル（これらの諸値は IMU 出力に基づく航法計算により知られる）の関数として表現される。

以上に述べた手続きに従って、われわれのシミュレーションプログラムに用意されている 3 次元誘導方程式を説明する。

誘導方程式はできるだけ簡単な表現を得るために G 座標系で導かれる。飛翔体の運動を G 座標系で表現すると

$$\ddot{R} = g(R) + \frac{F}{m} u \quad (26)$$

$$u = (\cos \alpha \sin \beta \quad \cos \alpha \cos \beta \quad \sin \alpha)' \quad (27)$$

となる（図 6）。ここに

R : 位置ベクトル (m)

$V (= \dot{R})$: 速度ベクトル (m/sec)

$g(R)$: 重力加速度 (m/sec)

u : 推力方向制御ベクトル

α : ピッチ推力角 (rad)

β : ヨー推力角 (rad)

m : 飛翔体の質量 (Kg)

F : 飛翔体の推力 (Kg・重)

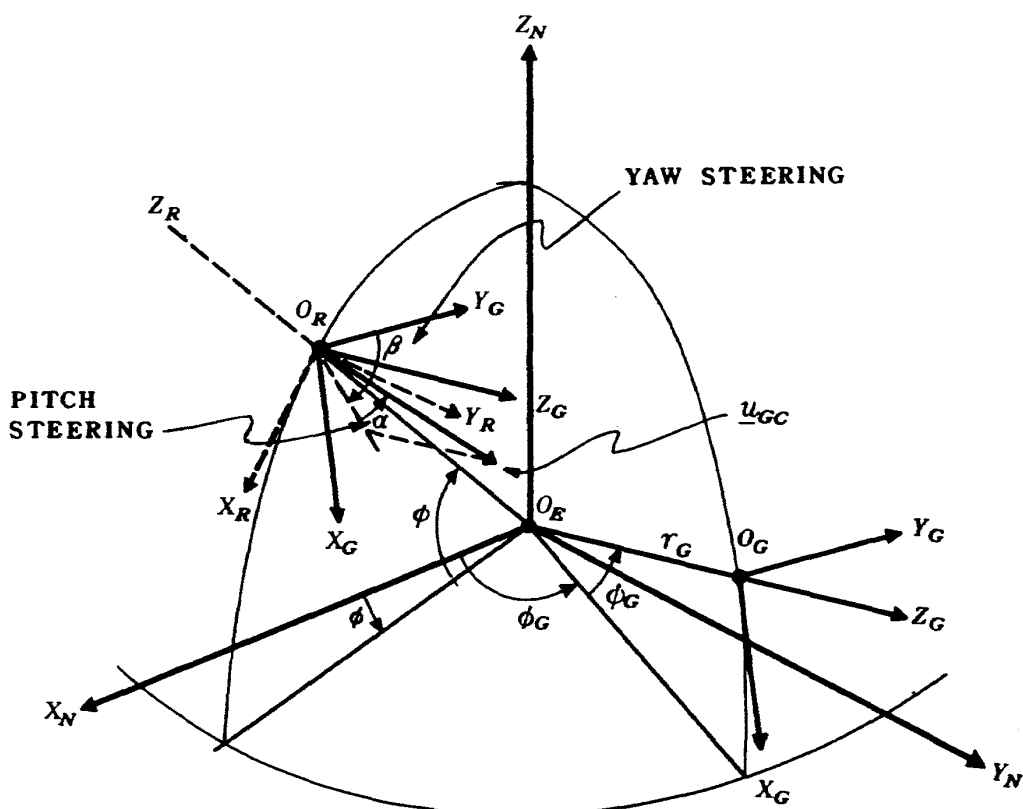


図 6 G 座標系における推力角

* 新田他による誘導方程式は phase 2. で $\int_0^T \delta^2 dt$ を最小にするものである。シミュレーションによって誘導可能領域が(25)の場合よりも拡張されたと報告している。

$$(\dot{R}) = \frac{d}{dt} : 0 \leq t \leq T$$

通常誘導は飛翔体が空気抵抗の無視しうるに充分な高度に達してから開始されるので、運動方程式の非重力項としては(26)式のように推力加速度のみを考慮する。さらに \underline{g} の解析的表現を得るために、高度の F への影響を無視し、また $\underline{g}(R)$ は第1項まで採用し平均化する(average \underline{g} method)。

$$\underline{g}(R) = -\mu R / |R|^3 \quad (28)$$

$$\bar{g} = \frac{1}{T} \int_0^T \underline{g}(R) dt \quad (29)$$

以上の簡略化の後最適推力角 $\underline{\alpha}_{GC}$ を決める。まずphase 1. の最適解を $\tilde{\alpha}$, $\tilde{\beta}$ (一定)として、(26)式を積分すると

$$\underline{V}(T) - \underline{V}(0) - \bar{g} \cdot T = V_{ex} \tilde{u} \int_0^T \frac{dt}{\tau - t} \quad (30)$$

ただし

V_{ex} : 排気速度 (m/sec)

τ : 質量/噴射率 (sec)

とする。(30)式を成分で書くと、

$$V_x(T) - V_x(0) - \bar{g}_x \cdot T = V_{ex} \cos \tilde{\alpha} \sin \tilde{\beta} \ln \frac{\tau}{\tau - T}$$

$$V_y(T) - V_y(0) - \bar{g}_y \cdot T = V_{ex} \cos \tilde{\alpha} \cos \tilde{\beta} \ln \frac{\tau}{\tau - T}$$

$$V_z(T) - V_z(0) - \bar{g}_z \cdot T = V_{ex} \sin \tilde{\alpha} \ln \frac{\tau}{\tau - T}$$

従って

$$\tan \tilde{\beta} = \frac{\Delta V_x}{\Delta V_y} \quad (31)$$

$$\tan \tilde{\alpha} = \frac{\Delta V_z}{(\Delta V_x^2 + \Delta V_y^2)^{1/2}} \quad (32)$$

により $\tilde{\alpha}$, $\tilde{\beta}$ が計算される。ここで

$$\Delta \underline{V} = \underline{V}(T) - \underline{V}(0) - \bar{g} \cdot T$$

は現時刻から推力切断までに得るべき速度増分ベクトルで、

$$\Delta V = |\Delta \underline{V}| = (\Delta V_x^2 + \Delta V_y^2 + \Delta V_z^2)^{1/2}$$

は velocity-to-be-gained と呼ばれ、後に T を決定する際に重要なとなる。つぎに phase 2. の最適解を

$$\alpha = \tilde{\alpha} + a + bt \quad (34)$$

$$\beta = \tilde{\beta} + c + dt \quad (35)$$

として、係数 a , b , c , d を飛翔体の現在位置および速度ベクトル、それに終端で課せられた拘束条件から決定する。すなわち(26)を2回積分して

$$\Delta \underline{V} = V_{ex} \int_0^T dt \frac{u}{\tau - t} \quad (36)$$

$$\Delta R = V_{ex} \int_0^T dT \int_0^T dt \frac{u}{\tau - t} \quad (37)$$

を得る。ここで

$$\Delta R = R(T) - R(0) - V(0) \cdot T - \frac{1}{2} \bar{g} \cdot T^2$$

と置いた。かくして

$$\Delta V_x = V_{ex} \int_0^T dt \frac{\sin \alpha}{\tau - t}$$

$$\Delta R_x = V_{ex} \int_0^T dT \int_0^T dt \frac{\sin \alpha}{\tau - t}$$

を連立的に解いて係数 a , b が定まり、

$$\Delta V_x = V_{ex} \int_0^T dt \frac{\cos \alpha \sin \beta}{\tau - t}$$

$$\Delta R_x = V_{ex} \int_0^T dT \int_0^T dt \frac{\cos \alpha \sin \beta}{\tau - t}$$

より係数 c , d が決定される。最終的に

$$a = -\tan \tilde{\alpha} + \left\{ \left[T^2 - T \left(\tau - \frac{1}{2} T \right) \ln \frac{\tau}{\tau - T} \right] \cos \tilde{\alpha} \right\}^{-1} \times$$

$$\left\{ \frac{\Delta V_x}{V_{ex}} \left[T \left(\tau - \frac{1}{2} T \right) - \tau \left(\tau - T \right) \ln \frac{\tau}{\tau - T} \right] - \right.$$

$$\left. \frac{\Delta R_x}{V_{ex}} \left[-T + \tau \ln \frac{\tau}{\tau - T} \right] \right\} \quad (38)$$

$$c = -\tan \tilde{\beta} + a \tan \tilde{\beta} \tan \tilde{\alpha} + \left\{ \left[T^2 - T \left(\tau - \frac{1}{2} T \right) \ln \right. \right.$$

$$\left. \left. \frac{\tau}{\tau - T} \right] \cos \tilde{\alpha} \cos \tilde{\beta} \right\}^{-1} \cdot \left\{ -\frac{\Delta R_x}{V_{ex}} \right.$$

$$\left. \left[-T + \tau \ln \frac{\tau}{\tau - T} \right] + \frac{\Delta V_x}{V_{ex}} \left[T \left(\tau - \frac{1}{2} T \right) - \right. \right.$$

$$\left. \left. \tau \left(\tau - T \right) \ln \frac{\tau}{\tau - T} \right] \right\} \quad (39)$$

を得る。この際

$$\tilde{\alpha} \gg a + bt$$

$$\tilde{\beta} \gg c + dt$$

という近似を行ったが、これの妥当性はシミュレーションによっても確認されている。尙誘導計算は常に $t = 0$ として行なわれるので、 b , d の解析解を得ておく必要はないから省略する。残る問題は time-to-go の T の決定である。それはロケットの T 時間の間に得る特性速度増分

$$\int_0^T \frac{F}{m} dt = V_{ex} \ln \frac{\tau}{\tau - T} \quad (40)$$

が(33)式で表わされる velocity-to-be-gained ΔV に等しい、ということから決定できる。すなわち T の関数

$$f(T) = V_{ex} \ln \frac{\tau}{\tau - T} - \Delta V$$

の零点が所望の T となるが $f(T)$ は超越関数ゆえ、 T の解析的表現は不可能である。そこで次の近似を行う。 T を近似解として、真値を $T + \delta T$ と書くとき、近似的に

$$f(T) + \frac{df(T)}{dT} \delta T + \frac{1}{2} \frac{d^2 f(T)}{dT^2} \delta T^2 = 0 \quad (41)$$

が成立する。したがって

$$\delta T = \frac{-B + \sqrt{B^2 - 4AC}}{2A} \quad (42)$$

ここで

$$2A = \frac{d^2 f(T)}{dT^2} = \frac{V_{ex}}{(\tau - T)^2} + \frac{1}{\Delta V^2} \left\{ (\Delta \underline{V}, \underline{\bar{g}})^2 - \Delta V^2 |\underline{\bar{g}}|^2 \right\}$$

$$B = \frac{df(T)}{dT} = \frac{V_{ex}}{\tau - T} + \frac{(\Delta \underline{V}, \underline{\bar{g}})}{\Delta V}$$

$$C = f(T)$$

と置いた。guidance cycle で時々刻々 T を δT だけ修正してゆけば急速に最適な T に収束してゆく。

このように導出せられた誘導方程式は G 座標系で表現されるので、実効上推力方向制御ベクトル \underline{u}_{GC} を R 座標系へ変換しなければならない。すなわち

$$\underline{u}_{RC} = C_{RN} \cdot C_{NG} \quad \underline{u}_{GC} \quad (43)$$

ただし

$$\underline{u}_{RC} = \begin{bmatrix} \cos \theta_2 & \cos \theta_1 \\ \cos \theta_2 & \sin \theta_1 \\ \sin \theta_2 \end{bmatrix}$$

(43)式を θ_1, θ_2 に関して解くと R 座標系での推力指令角が得られる。

推力制御系および姿勢制御系に関する詳細なソフトウェアは現時点では準備されていらず、これらふたつの制御系は殆んど理想的に機能することが仮定されている。すなわち実効上は推力の大きさ、および推力軸のミスアライメントが一次のガウス・マルコフ性不規則雑音で fluctuate されると想定している。

3. 観測系誤差モデル

3.1 IMU誤差モデル

慣性機器として、1自由度ペンドュラム型加速度計 (Single-Degree-of Freedom Pendulum type Accelerometer) および1自由度積分ジャイロ (Single-Degree-of-Freedom rate integrating Gyro) を使用するものと考える。これらの入出力関係を表わす数学的モデルは極めて複雑で一般には出力は入力のある非線形関数として無限個のパラメータを含むと考えられるが実効上は主要な誤差源として、次式を採用すれば充分であろう。即ち j -th 入力軸 ($j=x, y, z$) に対して、

加速度計

$$a_{mj} = a_j + a_0 \Delta a_j + a_1 \sum_{l=1}^3 E_{jl} a_l + a_2 \omega' K_{\omega j} \omega + n_{\omega j} \quad (44)$$

但し a_{mj} : j -th 加速度計の出力 (m/sec^2)

a_j : j -th 加速度計の入力 (m/sec^2)

Δa_j : j -th 加速度計の定バイアス誤差 (m/sec^2)

E_{jl} : E_{jl} ($j=l$) はスケールファクタ誤差、

E_{jl} ($j \neq l$) は、入力軸のミスアライメント誤差 (rad)

$$K_{\omega j} = \begin{pmatrix} K_{11}^{(j)} & K_{12}^{(j)} / 2 & K_{13}^{(j)} / 2 \\ K_{12}^{(j)} / 2 & K_{22}^{(j)} & K_{23}^{(j)} / 2 \\ K_{13}^{(j)} / 2 & K_{23}^{(j)} / 2 & K_{33}^{(j)} \end{pmatrix}$$

; j -th 加速度計の入力自乗比例誤差係数 ($\mu g/g^3$)

$n_{\omega j}$: 量子化誤差および上記モデルで考慮されなかった誤差、例えば加速度の高次 (3乗以上) 非線型誤差などを総合したもので本プログラムでは平均値 Δ 、分散 $\sigma_{\omega j}^2$ の正規性白色雑音として擬似される。

ジャイロ

$$\omega_{mj} = \omega_j + \beta_0 \Delta \omega_j + \beta_1 \sum_{l=1}^3 S_{jl} \omega_l + \beta_2 \omega' K_{\omega j} \omega + r_1 (D_{Ij}, D_{Sj}, D_{Oj}) f_j + r_2 f' D_{\omega j} f_j + n_{\omega j} \quad (45)$$

但し

ω_{mj} : j -th ジャイロの出力 (rad/sec)

ω_j : j -th ジャイロの入力 (rad/sec)

$\Delta \omega_j$: j -th ジャイロの定バイアス誤差 (meru)

S_{jl} : j -th ジャイロの入力比例誤差係数

$$K_{\omega j} = \begin{pmatrix} K_{\omega 11}^{(j)} & K_{\omega 12}^{(j)} & K_{\omega 13}^{(j)} \\ K_{\omega 21}^{(j)} & K_{\omega 22}^{(j)} & K_{\omega 23}^{(j)} \\ K_{\omega 31}^{(j)} & K_{\omega 32}^{(j)} & K_{\omega 33}^{(j)} \end{pmatrix}$$

; j -th ジャイロの入力自乗比例誤差係数 (対称行列)

D_{Ij}, D_{Sj}, D_{Oj} : 加速度比例ドリストレート (mass unbalance drift rate) の誤差係数。添字 I_j, S_j, O_j は j -th ジャイロの夫々入力軸 スピン軸、出力軸を表わす (meru/g)

$$D_{\omega j} = \begin{pmatrix} D_{II}^{(j)} & D_{IS}^{(j)} & D_{IO}^{(j)} \\ D_{SI}^{(j)} & D_{SS}^{(j)} & D_{SO}^{(j)} \\ D_{OI}^{(j)} & D_{OS}^{(j)} & D_{OO}^{(j)} \end{pmatrix}$$

: j -th ジャイロの加速度自乗比例誤差 (aniso-elastic drift rate) の係数 (対称行列)
(meru/g^2)

n_{ω_j} : n_{α_j} と同様に平均値 0, 分散 $\sigma_{\omega_j}^2$ の正規性白色雑音として擬似される。

ジャイロを既報告の最適構成に配置すれば, D_{0j} , D_{00k} は常に 0 としてよく, またその時 f_j は次式で定義されることになる。

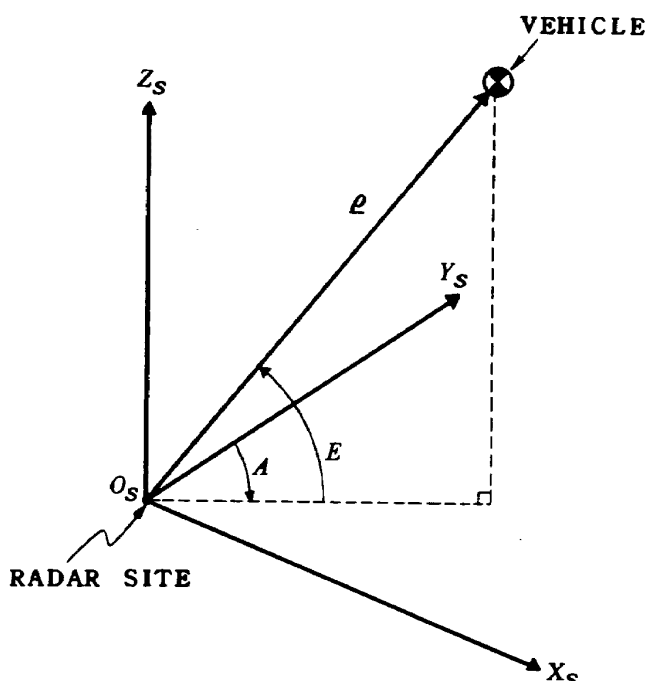


図 7 レーダートラッキング

$$\underline{f}_1 = \begin{bmatrix} a_{x_B} \\ -a_{y_B} \\ a_{z_B} \end{bmatrix}, \quad \underline{f}_2 = \begin{bmatrix} a_{x_B} \\ a_{y_B} \\ a_{z_B} \end{bmatrix}, \quad \underline{f}_3 = \begin{bmatrix} a_{x_B} \\ -a_{x_B} \\ a_{y_B} \end{bmatrix}$$

なお (44), (45) 式で $a_0, a_1, a_2, \beta_0, \beta_1, \beta_2, r_1, r_2$ は適當な規格化パラメータである。

3.2 レーダートラッキング誤差モデル

レーダーによるトラッキングデータは電波誘導では勿論のこと, 一般の誘導制御系の設計あるいは誘導誤差解析のために極めて重要な情報を提供する。通常ひとつのレーダーステーションでは図 7 に示すような 4 つの物理量, 即ち ρ (slant range), $\dot{\rho}$ (range-rate), A (azimuth) および E (elevation) に関する観測データが得られる。これらの物理量と飛翔体の状態ベクトルとの関係は次式で与えられる。

$$\rho = \|\underline{\rho}\|$$

$$\dot{\rho} = \frac{(\dot{\rho}, \underline{\rho})}{\rho}$$

$$E = \sin^{-1} \left[\frac{(\underline{\rho}, \underline{z}_S)}{\rho} \right], \quad \delta \leq E \leq \frac{\pi}{2} \quad \left. \right\} \quad (46)$$

$$A = \tan^{-1} \left[\frac{(\underline{\rho}, \underline{x}_S)}{(\underline{\rho}, \underline{y}_S)} \right], \quad |A| \leq \frac{\pi}{2}$$

但しレーダー観測は, 飛翔体が図 8 に示すトラッキング可能領域 ($E \geq \delta$, δ は観測できる最小の上下角) に在るとき限り可能である。

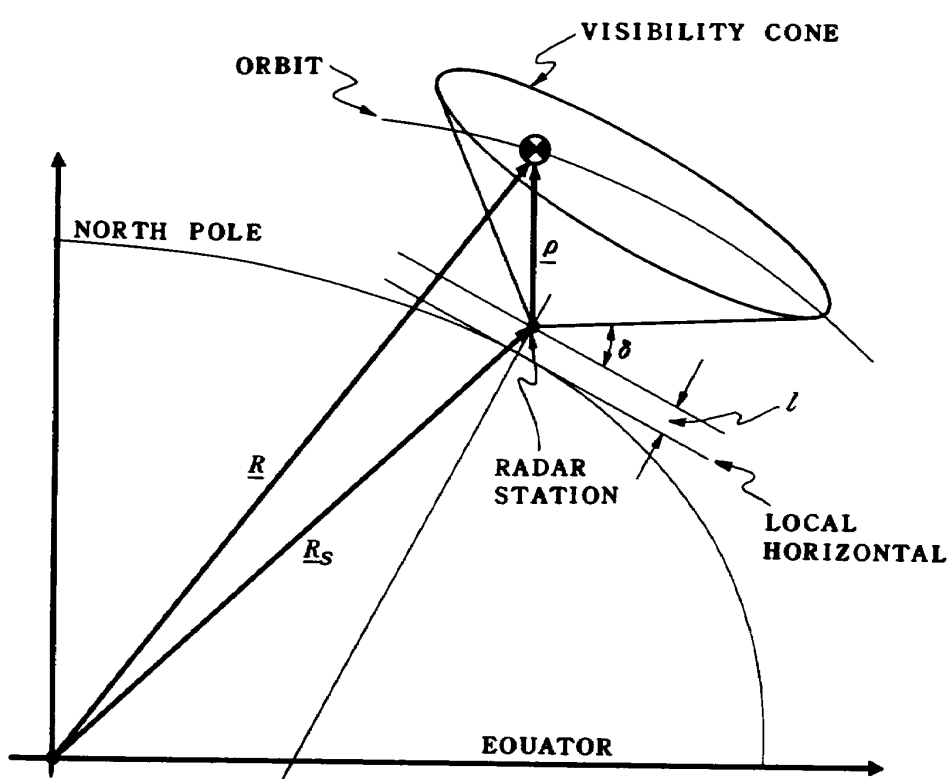


図 8 追跡可能領域

ここで

$$\underline{\rho} = \underline{R}_I - \underline{R}_{SI}, \quad \dot{\underline{\rho}} = \dot{R}_I - \dot{R}_{SI}$$

かつ \underline{R}_{SI} はレーダーサイトの I 座標系での位置ベクトル

$$\underline{R}_{SI} = C_{IE} \underline{R}_{SE}$$

である。また記号 $\|\cdot\|$ はユークリッドノルムを表わす。
(46)式がいわゆる error-free の完全観測の方程式であるが実際には各種の系統的 (systematic) 誤差および偶然 (random) 誤差に汚された観測データしか入手できない。系統的誤差としては timing, refraction, dynamic lag, nonorthogonality, constant bias および scale factor error 等が考えられるが、本プログラムでは constant bias と、range 観測における scale factor のみを主誤差源とみなし、残りは偶然誤差に繰り込む。勿論レーダーサイトの位置誤差、即ちサイトの経度 λ_S 、緯度 ϕ_S および高度 H_S の誤差は重要な誤差源となる。かくして本プログラムに用意されているレーダートラッキングの最終的な観測方程式は次式で示される。

$$\left. \begin{array}{l} \rho_{meas} = \rho + \epsilon \rho + \Delta \rho + n_\rho \\ \dot{\rho}_{meas} = \dot{\rho} + \Delta \dot{\rho} + n_{\dot{\rho}} \\ E_{meas} = E + \Delta E + n_E \\ A_{meas} = A + \Delta A + n_A \end{array} \right\} \quad (47)$$

ここで

ϵ : scale factor

$\Delta \rho, \Delta \dot{\rho}, \Delta E, \Delta A$: constant bias

$n(\cdot)$: random noise

$(\cdot)_{meas}$: measured quantity

トラッキングにおける不規則雑音 $\eta(\cdot)$ の power spectral density $S_{\eta(\cdot)}(\omega)$ を

$$S_{\eta(\cdot)}(\omega) = \frac{2\beta(\cdot)\sigma_{\eta(\cdot)}^2}{\beta(\cdot)^2 + \omega^2}, \quad \beta(\cdot) = \frac{1}{T(\cdot)} \quad (48)$$

と仮定しよう。但し $T(\cdot)$ は correlation time である。すなわち $\eta(\cdot)$ は次の 1 次の Gauss-Markov 過程に従う。

$$\frac{d}{dt} \eta(\cdot) + \beta(\cdot) \eta(\cdot) = \sqrt{2\beta(\cdot)} \zeta(\cdot) \quad (49)$$

ここで $\zeta(\cdot)$ は白色雑音でその power spectral density を

$$S_{\zeta(\cdot)}(\omega) = \sigma_{\zeta(\cdot)}^2$$

とする。(49)式の離散形は

$$\eta(\cdot)(t_{j+1}) = e^{-\beta(\cdot)\Delta t_j} \eta(\cdot)(t_j) + n(\cdot)(t_j) \quad (50)$$

但し $\Delta t_j = t_{j+1} - t_j$ ，かつ $n(\cdot)(t_j)$ は平均 0，分散 $\sigma_{\eta(\cdot)}^2 (1 - e^{-2\beta(\cdot)\Delta t_j})$ の白色雑音である。1 次の有色雑音の発生は (50) 式に従っている。

4. KALMAN-BUCY 推定理論とその応用

ある非線型な力学系および観測系の、基準軌道近傍に関する線型化方程式が次式に従うものとする。

$$\begin{aligned} d\underline{x}(t) &= A(t) \underline{x}(t) dt + B(t) \underline{w}(t) dt \\ &\quad + \underline{\phi}(t) dt + G(t) d\underline{w}(t) \end{aligned} \quad (51)$$

$$\underline{y}(t_k) = C(t_k) \underline{x}(t_k) + D(t_k) \underline{v} + \underline{v}(t_k) \quad (52)$$

ここで $\underline{x}(t)$: n 次元状態ベクトル

$A(t)$: $n \times n$ システム行列

$\underline{\mu}$: m_1 次元パラメータベクトル

$B(t)$: $n \times m_1$ 行列

$\underline{\phi}(t)$: n 次元 forcing ベクトル (既知)

$G(t)$: $n \times d$ noise intensity 行列

$\underline{w}(t)$: d 次元 Brownian motion ベクトル過程で $\epsilon\{\underline{w}(t) \underline{w}'(t)\} = Q|t-t'|$,

$\epsilon\{\underline{w}(t)\} = 0$

$\underline{y}(t_k)$: l 次元観測値ベクトル

$C(t_k)$: $l \times n$ 観測感度行列

$D(t_k)$: $l \times m_2$ 行列

\underline{v} : m_2 次元パラメータベクトル

$\underline{v}(t_k)$: l 次元観測雑音ベクトル

t_k : 観測時刻

とする。(51)式は伊藤型の確率微分方程式であるが、これに対する離散的表現は $n \times n$ 遷移行列

$$\frac{d}{dt} \Phi(t, s) = A(t) \Phi(t, s) \quad (53)$$

$$\Phi(s, s) = I \quad (\text{単位行列})$$

を用いて厳密に次式で与えられる。

$$\underline{x}(t) = \Phi(t, s) \underline{x}(s) + B(s) \underline{\mu} + \underline{\phi}(s) + \underline{\xi}(s) \quad (54)$$

$$\text{ただし } B(s) \triangleq \int_s^t d\alpha \Phi(t, \alpha) B(\alpha)$$

$$\underline{\phi}(s) \triangleq \int_s^t d\alpha \Phi(t, \alpha) \underline{\phi}(\alpha)$$

$$\underline{\xi}(s) \triangleq \int_s^t \Phi(t, \alpha) G(\alpha) d\underline{w}(\alpha)$$

と置いた。また明らかに $\epsilon\{\underline{\xi}(s)\} = 0$ ，かつ共分散行列は

$$E(s) = \int_s^t d\alpha \Phi(t, \alpha) G(\alpha) Q G(\alpha)' \Phi'(t, \alpha) \quad (55)$$

となる。既に TR-302 でも概説したように観測雑音ベクトル $\underline{v}(t_k)$ が理想的な白色雑音である場合には周知の KALMAN-BUCY フィルターがそのまま使える。その推定アルゴリズムを表 1 に示す。ただし簡単のために B

$= D = 0$ とする。即ちパラメータベクトル $\underline{\mu}$, $\underline{\nu}$ はもともと $\underline{x}(t)$ の中に繰り込まれているものと考える。

表1 最適カルマンフィルターアルゴリズム

PREDICTION

$$\begin{aligned}\hat{\underline{x}}_{j+1/j} &= \underline{\theta}_{j+1,j} \hat{\underline{x}}_{j/j} + \underline{\phi}_j \\ P_{j+1/j} &= \underline{\theta}_{j+1,j} P_{j/j} \underline{\theta}_{j+1,j}^T + S_j\end{aligned}$$

FILTERING

$$\begin{aligned}\hat{\underline{x}}_{j+1/j+1} &= \hat{\underline{x}}_{j+1/j} + K_{j+1} \tilde{\underline{y}}_{j+1/j} \\ P_{j+1/j+1} &= P_{j+1/j} - K_{j+1} C_{j+1} P_{j+1/j} \\ \tilde{\underline{y}}_{j+1/j} &= \underline{y}_{j+1} - C_{j+1} \hat{\underline{x}}_{j+1/j} \\ K_{j+1} &= P_{j+1/j} C_{j+1}^T (C_{j+1} P_{j+1/j} C_{j+1}^T + R_{j+1})^{-1}\end{aligned}$$

where

$$\epsilon \{ \underline{v}_{j+1} \} = 0, \quad \epsilon \{ \underline{v}_{j+1} \underline{v}_{j+1}^T \} = R_{j+1}$$

$\hat{\underline{x}}_{j/j}$: conditional mean with respect to the set $\{ \underline{y}(t_1), \dots, \underline{y}(t_j) \}$

$P_{j/j}$: conditional covariance matrix

制御対象および観測系の、雑音の統計的性質まで含めた構造が既知の場合には、Table 1 に従って最適フィルターを設計できる。しかし殆んどすべての実在問題に対してこのような場合は期待できないし、一方数学的モデルを精密にすればするだけ未知パラメータの数が増加し、計算時間および所要記憶容量とともに増えることになる。また未知パラメータの中には推定の結果その不確定度が殆んど減少しないものがあって、これらのパラメータまで推定すべき状態ベクトルに繰り込むことは得策ではない。このような微小な影響しか持たないパラメータは無視するか、或いはあたかも偶然誤差のごとくにみなす考え方がありしばしば成功している。しかしこれは所謂“フィルターの発散 (divergence)”を誘起する危険があるのでここではパラメータの a priori な統計量、換言すればパラメータの事前確率分布を積極的に考慮して設計された実用的フィルターのプログラムも用意されている。この実用的フィルターの導出とその応用例に関しては別稿で報告する予定なのでそのアルゴリズムのみを示しておこう。即ち Table 2. では、ある非線型な力学系および観測系の線型化方程式の離散的表現をそれぞれ

$$\underline{x}_{j+1} = A_j \underline{x}_j + B_j \underline{\mu} + \xi_j \quad (56)$$

$$\underline{y}_{j+1} = C_{j+1} \underline{x}_{j+1} + D_{j+1} \underline{\nu} + \eta_{j+1} \quad (57)$$

$$\underline{\eta}_{j+1} = L_j \underline{\eta}_j + \zeta_j \quad (58)$$

とした場合の最小分散不偏推定を与える実用的フィルターが示されている。

表2 実用的カルマンフィルターアルゴリズム

PREDICTION

$$\begin{aligned}\hat{\underline{x}}_{j+1/j} &= A_j \underline{x}_{j/j} + B_j \epsilon \{ \underline{\mu} \} \\ P_{j+1/j} &= A_j P_{j/j} A_j^T + B_j \epsilon \{ \underline{\mu} \underline{\mu}^T \} B_j^T \\ &\quad + Q_j + A_j M_{j/j} B_j^T + B_j M_{j/j}^T A_j^T\end{aligned}$$

$$M_{j+1/j} = A_j M_{j/j} + B_j \epsilon \{ \underline{\mu} \underline{\mu}^T \}$$

$$N_{j+1/j} = A_j N_{j/j} + B_j \epsilon \{ \underline{\mu} \underline{\nu}^T \}$$

FILTERING

$$\begin{aligned}\hat{\underline{x}}_{j+1/j+1} &= \hat{\underline{x}}_{j+1/j} + K_{j+1} \tilde{\underline{z}}_{j+1/j} \\ P_{j+1/j+1} &= P_{j+1/j} - K_{j+1} X_{j+1}^T \\ M_{j+1/j+1} &= (I - K_{j+1} C_{j+1}) N_{j+1/j} + K_{j+1} C_j^* \\ &\quad M_{j/j} - K_{j+1} \tilde{D}_{j+1} \epsilon \{ \underline{\nu} \underline{\mu}^T \} \\ N_{j+1/j+1} &= (I - K_{j+1} C_{j+1}) N_{j+1/j} + K_{j+1} C_j^* \\ &\quad N_{j/j} - K_{j+1} \tilde{D}_{j+1} \epsilon \{ \underline{\nu} \underline{\nu}^T \}\end{aligned}$$

where

$$\begin{aligned}K_{j+1} &= X_{j+1} Y_{j+1}^{-1} \\ X_{j+1} &= P_{j+1/j} C_{j+1}^T - (A_j P_{j/j} + B_j M_{j/j}^T) C_j^{*T} \\ &\quad + N_{j+1/j} \tilde{D}_{j+1}^T \\ Y_{j+1} &= C_{j+1} P_{j+1/j} C_{j+1}^T + R_j - C_{j+1} (A_j P_{j/j} \\ &\quad + B_j M_{j/j}^T) C_j^{*T} + C_{j+1} N_{j+1/j} \tilde{D}_{j+1}^T \\ &\quad + C_j^* P_{j/j} C_j^{*T} - C_j^* (A_j P_{j/j} + B_j M_{j/j}^T) \\ C_{j+1}^T &- C_j^* N_{j/j} \tilde{D}_{j+1}^T + \tilde{D}_{j+1} N_{j+1/j}^T C_{j+1}^T \\ &\quad - \tilde{D}_{j+1} N_{j/j}^T C_j^{*T} + \tilde{D}_{j+1} \epsilon \{ \underline{\nu} \underline{\nu}^T \} \tilde{D}_{j+1}^T\end{aligned}$$

観測雑音 $\underline{\eta}_{j+1}$ は有色雑音に仮定されているので、 BRYSON, JOHANSEN および HENRIKSON による MEASUREMENT DIFFERENCE 法を適用して

$$\begin{aligned}\underline{z}_{j+1} &= \underline{y}_{j+1} - L_j \underline{y}_j \\ &= C_{j+1} \underline{x}_{j+1} - C_j^* \underline{x}_j + \tilde{D}_{j+1} \underline{\nu} + \zeta_j\end{aligned} \quad (59)$$

によって観測系 (57) 式を白色化する。その時観測残差ベクトルは

$$\begin{aligned}\tilde{\underline{z}}_{j+1/j} &= \underline{z}_{j+1} - \hat{\underline{z}}_{j+1/j} \\ &= C_{j+1} \tilde{\underline{x}}_{j+1/j} - C_j^* \tilde{\underline{x}}_{j/j} + \tilde{D}_{j+1} \underline{\nu} \\ &\quad + \zeta_j\end{aligned} \quad (60)$$

となる。但し $\tilde{x}_{j/k} = \underline{x}_j - \hat{x}_{j/k}$, $C_j^+ = C_{j+1} - \tilde{C}_{j+1}$
 $\tilde{C}_{j+1} = C_{j+1} - L_j C_j$, $\tilde{D}_{j+1} = D_{j+1} - L_j D_j$, $\tilde{\mu} = \mu - \epsilon \{\mu\}$, $\tilde{\nu} = \nu - \epsilon \{\nu\}$ とし、さらに次の共分散行列を定義する。

$$\left. \begin{array}{l} P_{j/k} = \epsilon \{ \tilde{x}_{j/k} \tilde{x}_{j/k}' \} \\ M_{j/k} = \epsilon \{ \tilde{x}_{j/k} \tilde{\mu}' \} \\ N_{j/k} = \epsilon \{ \tilde{x}_{j/k} \tilde{\nu}' \} \end{array} \right\}$$

\underline{x} を“solve-for” parameter (推定すべきパラメータ), μ および ν を“consider” parameter (フィルターの設計の段階でそれらの事前確率分布は考慮されるが実際には推定されないパラメータ)と呼ぶことが多い。

規準軌道

規準軌道の近傍で線型化できることを仮定した。規準軌道としては通常次の3つが利用できる。即ち(1) GNT (Guided Nominal Trajectory), (2) GDT (Guidance Derived Trajectory), (3) GRT (Guidance Reconstructed Trajectory), である。(2)は機上計算機がIMU出力に基づき航法計算してつくる軌道で純慣性誘導方式ではこの軌道に従って実際の誘導がなされる。(3)はIMUのtelemetryデータに基づき地上の大型計算機によって高精度な航法計算をして得られる軌道である。(1)は通常の標準軌道で各種誘導パラメータの基準値を用いて軌道計算される。原理的にはいずれの軌道を使ってもよいが、飛翔後の誘導誤差解析の目的では(3)のGRTが最適であることを既に報告した。¹⁾

適用例

1例として Kalman-Bucy フィルターによる誘導誤差解析の目的で strapdown 方式を対象にして構成された状態方程式を説明しよう。はじめに IMU 誤差の系統的誤差ベクトルによる表式を得ておく。即ち加速度計に対して、

$$\begin{aligned} \Delta \underline{a} &= (\Delta a_x, \Delta a_y, \Delta a_z)' \\ \underline{e}^{(j)} &= (E_{j1}, E_{j2}, E_{j3})' \\ K_{\omega}^{(j)} &= (K_{\omega_{11}}^{(j)}, K_{\omega_{12}}^{(j)}, K_{\omega_{13}}^{(j)}, K_{\omega_{21}}^{(j)}, K_{\omega_{22}}^{(j)}, K_{\omega_{23}}^{(j)}) \\ \text{但し } K_{\omega_{12}}^{(j)} &\triangleq K_{\omega_{12}}^{(j)} + K_{\omega_{21}}^{(j)}, K_{\omega_{13}}^{(j)} \triangleq K_{\omega_{13}}^{(j)} + K_{\omega_{31}}^{(j)}, \\ K_{\omega_{23}}^{(j)} &\triangleq K_{\omega_{23}}^{(j)} + K_{\omega_{32}}^{(j)} \\ \underline{n}_{\omega} &= (n_{\omega_x}, n_{\omega_y}, n_{\omega_z})' \end{aligned}$$

さらに

$$\underline{e}_{\omega} = \begin{bmatrix} \underline{e}^{(1)} \\ \underline{e}^{(2)} \\ \underline{e}^{(3)} \end{bmatrix}, \quad K_{\omega} = \begin{bmatrix} K_{\omega}^{(1)} \\ K_{\omega}^{(2)} \\ K_{\omega}^{(3)} \end{bmatrix}$$

と置く。そのとき、(44)式は

$$\begin{aligned} \underline{a}_{\omega} &= \underline{a} + a_0 \Delta \underline{a} + a_1 \begin{bmatrix} \underline{a} & & \\ & \underline{a} & \\ & & \underline{a} \end{bmatrix} \underline{e} \\ &+ \begin{bmatrix} K_{\omega} & & \\ & K_{\omega} & \\ & & K_{\omega} \end{bmatrix} K_{\omega} + n_{\omega} \end{aligned} \quad (62)$$

と書ける。ここで

$$\begin{aligned} K_{\omega} &= (a_1^2, a_1 a_2, a_1 a_3, a_2^2, a_2 a_3, a_3^2) \\ \Delta \underline{\omega} &= (\Delta \omega_x, \Delta \omega_y, \Delta \omega_z)' \\ \underline{s}^{(j)} &= (S_{j1}, S_{j2}, S_{j3})' \\ K_{\omega}^{(j)} &= (K_{\omega_{11}}^{(j)}, K_{\omega_{12}}^{(j)}, K_{\omega_{13}}^{(j)}, K_{\omega_{21}}^{(j)}, K_{\omega_{22}}^{(j)}, K_{\omega_{23}}^{(j)})' \\ \text{但し } K_{\omega_{12}}^{(j)} &\triangleq K_{\omega_{12}}^{(j)} + K_{\omega_{21}}^{(j)}, K_{\omega_{13}}^{(j)} \triangleq K_{\omega_{13}}^{(j)} + K_{\omega_{31}}^{(j)}, \\ K_{\omega_{23}}^{(j)} &\triangleq K_{\omega_{23}}^{(j)} + K_{\omega_{32}}^{(j)} \\ \underline{n}_{\omega} &= (n_{\omega_x}, n_{\omega_y}, n_{\omega_z})' \\ \underline{d}_{\omega}^{(j)} &= (D_{\omega_{II}}^{(j)}, D_{\omega_{IS}}^{(j)}, D_{\omega_{IO}}^{(j)}, D_{\omega_{SS}}^{(j)}, D_{\omega_{SO}}^{(j)})' \\ \text{但し } D_{\omega_{IS}}^{(j)} &\triangleq D_{\omega_{IS}}^{(j)} + D_{\omega_{SI}}^{(j)}, D_{\omega_{IO}}^{(j)} \triangleq D_{\omega_{IO}}^{(j)} + D_{\omega_{OI}}^{(j)}, \\ D_{\omega_{SO}}^{(j)} &= D_{\omega_{SO}}^{(j)} + D_{\omega_{OS}}^{(j)} \\ \underline{D}^{(j)} &= (D_{Ij}, D_{Sj})' \end{aligned}$$

$$\text{さらに } K_{\omega} = \begin{bmatrix} K_{\omega}^{(1)} \\ K_{\omega}^{(2)} \\ K_{\omega}^{(3)} \end{bmatrix}, \quad \underline{s} = \begin{bmatrix} s^{(1)} \\ s^{(2)} \\ s^{(3)} \end{bmatrix}, \quad \underline{d}_{\omega} = \begin{bmatrix} d_{\omega}^{(1)} \\ d_{\omega}^{(2)} \\ d_{\omega}^{(3)} \end{bmatrix}$$

$$\underline{D} = \begin{bmatrix} D^{(1)} \\ D^{(2)} \\ D^{(3)} \end{bmatrix}$$

と置く。そのとき (45)式は

$$\begin{aligned} \underline{\omega}_{\omega} &= \underline{\omega} + \beta_0 \Delta \underline{\omega} + \beta_1 \begin{bmatrix} \underline{\omega}' & & \\ & \underline{\omega}' & \\ & & \underline{\omega}' \end{bmatrix} \underline{s} \\ &+ \beta_2 \begin{bmatrix} K_{\omega} & & \\ & K_{\omega} & \\ & & K_{\omega} \end{bmatrix} + \gamma_1 \begin{bmatrix} f^{(1)} & & \\ & f^{(2)} & \\ & & f^{(3)} \end{bmatrix} \underline{D} \\ &+ \gamma_2 \begin{bmatrix} D_{\omega}^{(1)} & & \\ & D_{\omega}^{(2)} & \\ & & D_{\omega}^{(3)} \end{bmatrix} \underline{d}_{\omega} + \underline{n}_{\omega} \end{aligned} \quad (63)$$

ここで

$$\begin{aligned} K_{\omega} &= (\omega_1^2, \omega_1 \omega_2, \omega_1 \omega_3, \omega_2^2, \omega_2 \omega_3, \omega_3^2) \\ f^{(j)} &= (f_{Ij}, f_{Sj}) \\ D_{\omega}^{(j)} &= (f_{Ij}^2, f_{Ij} f_{Sj}, f_{Ij} f_{Oj}, f_{Sj}^2, f_{Sj} f_{Oj}) \end{aligned}$$

とする。

以上の準備の後、先に述べたような適当な規準軌道およびパラメータの規準値からの deviation として、状態ベクトルを定義すると線型化方程式は次式で与えられることになる。

$$\frac{d}{dt} \delta \underline{x} = F(t) \delta \underline{x} + G(t) \underline{n} \quad (64)$$

ここで $\delta \underline{x} = \underline{x} - \underline{x}^*$ 、かつ

$$\underline{n} = \begin{bmatrix} \underline{n}_a \\ \underline{n}_\omega \end{bmatrix}, \quad G(t) = \begin{bmatrix} -C \\ -I \end{bmatrix}$$

$$F(t) = \begin{bmatrix} F_{11} & F_{12} \\ \vdots & \vdots \end{bmatrix}$$

$$F_{11} = \begin{bmatrix} I & \\ \frac{\partial g}{\partial R} & -C(\underline{a} \times) \\ \frac{\partial g}{\partial J} & -(\underline{w} \times) \end{bmatrix} \quad (65)$$

$$F_{12} = \begin{bmatrix} \frac{\partial g}{\partial J} & -a_0 C & -a_1 C \begin{pmatrix} \underline{a}' \\ \underline{a}' \\ \underline{a}' \end{pmatrix} & -a_2 C \begin{pmatrix} K_a \\ K_a \\ K_a \end{pmatrix} \\ -\beta_0 I & -\beta_1 \begin{pmatrix} \underline{\omega}' \\ \underline{\omega}' \\ \underline{\omega}' \end{pmatrix} & -\beta_2 \begin{pmatrix} K_\omega \\ K_\omega \\ K_\omega \end{pmatrix} \\ -r_1 \begin{pmatrix} f^{(1)} \\ f^{(2)} \\ f^{(3)} \end{pmatrix} & -r_2 \begin{pmatrix} D_a^{(1)} \\ D_a^{(2)} \\ D_a^{(3)} \end{pmatrix} \end{bmatrix} \quad (66)$$

$$\delta \underline{x} = \begin{bmatrix} \delta \underline{R} \\ \delta \underline{V} \\ \delta \underline{\theta} \\ \delta \underline{J} \\ \delta (\Delta \underline{a}) \\ \delta \underline{e} \\ \delta \underline{K}_a \\ \delta (\Delta \underline{\omega}) \\ \delta \underline{S} \\ \delta \underline{K}_\omega \\ \delta \underline{D} \\ \delta \underline{d}_a \\ \delta \underline{T} \end{bmatrix} \quad \begin{array}{l} \text{position} \\ \text{velocity} \\ \text{attitude} \\ \text{geopotential error} \\ \text{accelerometer systematic error} \\ \text{gyro systematic error} \\ \text{radar system error} \end{array} \quad (67)$$

注意 1. (65), (66) 式で各要素はすべて規準値をとる。

注意 2. F_{11} は (73) 式の $A_{11}(t)$ に同等である。stable platform に対する F_{12} の表限はここでは省略する。

注意 3. $\epsilon \{\underline{n}\} = 0$, かつ

$$\epsilon \{\underline{n} \underline{n}\} = \begin{bmatrix} \sigma_{a_x}^2 & & & & & \\ & \sigma_{a_y}^2 & & & & \\ & & \sigma_{a_z}^2 & & & \\ & & & \sigma_{\omega_x}^2 & & \\ & & & & \sigma_{\omega_y}^2 & \\ & & & & & \sigma_{\omega_z}^2 \end{bmatrix}$$

注意 4. かりに

$$\underline{T} = (\lambda_s \phi_s H_s \epsilon \Delta R \Delta E \Delta A)' \quad (1 \text{ステーション})$$

$$\underline{J} = (\mu J_2 a_e)'$$

とすると $\delta \underline{x}$ は概略 100 次元である。

5. 数値計算法に関する考察

Kalman-Bucy 理論による誘導制御系のシンセシスおよびアナリシスの計算には既に指摘されているように概略推定すべき状態ベクトル (solve-for parameter) の次元 n の 3 乗のオーダーで計算処理時間が増し、2 乗のオーダーで所要記憶容量が必要になってくる。そのため数値計算法とソフトウェアデザインには細心の注意を払わなければならない。後者については次節で考察することにして、本節では数値計算法に関する若干の工夫と注意について述べる。

(1) 計算処理時間の主要部分は、線型化方程式 (51) 式をカルマンサイクル (t_j, t_{j+1}) 間で離散化するプロセスに在る。初めに遷移行列 $\Phi(t, s)$ の計算法を考える。
(53) 式の解析解は

$$\Phi(t, s) = \exp \left(\int_s^t A(\tau) d\tau \right) \quad (69)$$

で与えられる。特に $A(t) = A$ (定行列) の場合厳密に

$$\Phi(t, s) = \exp((t-s)A) = \sum_{n=0}^{\infty} (t-s)^n A^n / n! \quad (70)$$

即ち

$$\Phi(t, s) \sim \sum_{n=0}^{m-1} \frac{(t-s)^n A^n}{n!} + O(|t-s|^m) \quad (71)$$

が成り立つ。(71) 式のように m 項まで考慮し、 $(m+1)$ 項以降を切り捨てた場合のの近似をここでは以後 m 次近似と呼ぶことにする。従って次のことが言える。一般に $A(t)$ が時変の場合、 $|t-s|$ を充分小にして $A(t)$ を殆んど定数に見なし得るならば、(71) 式による m 次近

似の誤差は概略 $O(|t-s|^m)$ で評価される。この事実から我々は、カルマンサイクル (t_j, t_{j+1}) の適当な subdivision (部分々割) $t_{j+1} = t_{j(N+1)} > t_{j(N)} > \dots > t_{j(1)} = t_j$ に關して、(71)式の近似を採用することが出来る。

純慣性誘導による飛翔体の運動の線型化方程式に対する $A(t)$ は次式で表現される。

$$A(t) = \begin{bmatrix} \xleftarrow{n_s} & \xleftarrow{n_p} \\ A_{11}(t) & A_{12}(t) \\ \hline 0 & 0 \end{bmatrix} \quad \begin{array}{c} \uparrow n_s \\ \downarrow \\ \uparrow n_p \\ \downarrow \end{array}$$

但し $n_s + n_p = n$

で、状態ベクトル $\underline{x}(t)$ の要素で、定パラメータの数を n_p とする。具体的には例えば strapdown 方式では $n_s = 9$ で

$$A_{11}(t) = \begin{bmatrix} 0 & I & 0 \\ \left(\frac{\partial g}{\partial R}\right)^* & 0 & -C^*(\underline{\omega}^* \times) \\ 0 & 0 & -[\underline{\omega}^* \times] \end{bmatrix} \quad (73)$$

となる。また stable platform 方式では $n_s = 6$ で

$$A_{11}(t) = \begin{bmatrix} 0 & I \\ \left(\frac{\partial g}{\partial R}\right)^* & 0 \end{bmatrix} \quad (74)$$

である。ここで $(\cdot)^*$ は適当な規準軌道に関する値を示す。 $A_{12}(t)$ はパラメータの選択に依存して決まる。従って、この $A(t)$ に応する遷移行列は、

$$\Phi_{11}(t, s) = A_{11}(t) \Phi_{11}(t, s), \quad \Phi_{11}(s, s) = I \quad (75)$$

を用いて

$$\Phi(t, s) = \begin{bmatrix} \xleftarrow{n_s} & \xleftarrow{n_p} \\ \Phi_{11}(t, s) & \int_s^t \Phi_{11}(t, \tau) A_{12}(\tau) d\tau \\ \hline 0 & I \end{bmatrix} \quad \begin{array}{c} \uparrow n_s \\ \downarrow \\ \uparrow n_p \\ \downarrow \end{array} \quad (76)$$

で与えられる。(76)式の計算には、 Φ_{11} の m 次近似式

$$\Phi_{11}(t_{j(p+1)}, t_{j(p)}) \sim \sum_{n=0}^{m-1} \frac{A_{11}^n(t_{j(p)})}{n!} (t_{j(p+1)} - t_{j(p)})^n \quad (77)$$

を使う。実効上は $A_{11}(t)$ の性質および N の大きさに応じて $m=1$ 又は 2 を用いる。また $\Phi_{12}(t, s)$ の計算は

$$\Phi_{12}(t, s) \sim \int_s^t \Phi_{11}(t, \tau) d\tau \cdot A_{12}(s) \quad (78)$$

による。

表3にこの計算アルゴリズムをまとめておく。

(51)式の離散形は

$$\underline{x}(t_{j+1}) = A_j \underline{x}_j + B_j \underline{u} + \underline{\phi}_j + \underline{\xi}_j \quad (79)$$

で与えられることを4節で見た(54)式。ここで新たに $A_j \triangleq \Phi(t_{j+1}, t_j)$ と置いた。以下では B_j , $\underline{\phi}_j$ および $\underline{\xi}_j$ の共分散行列 E_j の数値計算法について述べる。

いま区間 (t_j, t_{j+1}) を $2m$ 等分して、それを $t_j = t_1 < t_2 < \dots < t_{2m} < t_{2m+1} = t_{j+1}$ とする。従って分割幅 Δt_j は

$$2m \Delta t_j = t_{j+1} - t_j, \quad i.e. \quad \Delta t_j = \frac{t_{j+1} - t_j}{2m}$$

となる。一般に、区間 (t_1, t_3) , (t_3, t_5) , \dots , (t_{2m-1}, t_{2m+1}) にシンプソンの $\frac{1}{3}$ 則を使えば

$$\begin{aligned} \int_{t_1}^{t_{2m+1}} f(\alpha) d\alpha &\approx \frac{1}{3} \Delta t_j \{ f(t_1) + f(t_{2m+1}) \\ &+ 4 \underbrace{[f(t_2) + \dots + f(t_{2m})]}_m + 2 \underbrace{[f(t_3) + \dots]}_{m-1} \\ &+ \underbrace{f(t_{2m-1})] \} \} \end{aligned} \quad (80)$$

となる。この近似誤差は $|f^{(4)}| \leq M$ として

$$\frac{(t_{j+1} - t_j)^5}{180 \cdot (2m)^4} M \quad (81)$$

で与えられる。 B_j , $\underline{\phi}_j$ および E_j の数値積分は(80)式により精度よく遂行できる。なお E_j の計算は煩雑を避けるため台形公式を用いて

$$E_j \sim \frac{t_{j+1} - t_j}{2} \{ \Phi(t_{j+1}, t_j) G(t_j) Q(t_j) G'(t_j) \\ \Phi'(t_{j+1}, t_j) + G(t_{j+1}) Q(t_{j+1}) G'(t_{j+1}) \} \quad (82)$$

によるのが得策である。

表3 遷移行列を計算するためのアルゴリズム

$$\Phi_{11}(t_{k+1}, t_k) = I + A_{11}(t_k) \delta t_k + \frac{1}{2} A_{11}^2(t_k) \delta t_k^2$$

$$\Phi_{12}(t_{k+1}, t_k) = (I + \frac{1}{2} A_{11}(t_k) \delta t_k) A_{12}(t_k) \delta t_k + \frac{1}{6} A_{11}^2(t_k) \delta t_k^2 A_{12}(t_k) \delta t_k$$

$$\Phi_{12}(t_{k+1}, t_k) = (I + \frac{1}{2} A_{11}(t_k) \delta t_k) A_{12}(t_k) \delta t_k$$

$$\text{where } \delta t_k = t_{k+1} - t_k$$

[2]次に、表1に示した最適カルマンフィルターの計算時間の短縮化を図ろう。[1]で n_p は状態ベクトル \underline{x} の要素のうち、一定のパラメータ（即ちその時間微分は0）の数として定義された。さらに分割して

$$n_p = n_a + n_b$$

とする。ここで n_b は観測系の推定すべきパラメータ数とする。従って状態ベクトルを次のように分割して考える。

$$\underline{x} \triangleq \begin{bmatrix} \underline{x} \\ \vdots \\ \underline{a} \\ \vdots \\ \underline{b} \end{bmatrix} \quad (83)$$

↑
 n_s
↑
 n_a
↓
 n_b

このとき対応する遷移行列は明らかに次式で与えられる。

$$\Phi(t, s) = \begin{bmatrix} \Phi_{11}(t, s) & \Phi_{12}(t, s) & \Phi_{22}(t, s) \\ \vdots & \vdots & \vdots \\ I & I & I \\ \vdots & \vdots & \vdots \end{bmatrix} \quad (84)$$

↑
 n_s
↑
 n_a
↓
 n_s
↑
 n_a
↓
 n_b

以上のような分割を使って表 1 に示した最適カルマンフィルターを書き下してみよう(表 4)。記述の便宜上ここででは update 前後の値を $(\cdot)^+$, $(\cdot)^-$ で表わす。また推定誤差 $\tilde{\underline{x}}_{j/k} = \underline{x}_j - \hat{\underline{x}}_{j/k}$ の共分散行列 P も次のように分割しておく。

$$P_{j/k} = \epsilon \{ \tilde{\underline{x}}_{j/k}, \tilde{\underline{x}}_{j/k}^T \}$$

$$= \begin{bmatrix} P_{XX} & P_{XA} & P_{XB} \\ \vdots & \vdots & \vdots \\ P_{AX} & P_{AA} & P_{AB} \\ \vdots & \vdots & \vdots \\ P_{BX} & P_{BA} & P_{BB} \end{bmatrix} \quad (85)$$

↑
 n_s
↑
 n_a
↓
 n_b

表 4 最適カルマンフィルターの部分行列による表現

PREDICTION

$$\hat{\underline{x}}^{(+)} = \Phi_{11} \hat{\underline{x}}^{(-)} + \Phi_{12} \hat{\underline{a}}^{(-)}$$

$$\hat{\underline{a}}^{(+)} = \hat{\underline{a}}^{(-)}$$

$$\hat{\underline{b}}^{(+)} = \hat{\underline{b}}^{(-)}$$

$$P_{XX}^{(+)} = \Phi_{11} (P_{XX}^{(-)} \Phi_{11}^T + P_{XA}^{(-)} \Phi_{12}^T) + \Phi_{12} (P_{AX}^{(-)} \Phi_{11}^T + P_{AA}^{(-)} \Phi_{12}^T) + S_X$$

$$P_{XA}^{(+)} = \Phi_{11} P_{XA}^{(-)} + \Phi_{12} P_{AA}^{(-)}$$

$$P_{XB}^{(+)} = \Phi_{11} P_{XB}^{(-)} + \Phi_{12} P_{AB}^{(-)}$$

$$P_{AA}^{(+)} = P_{AA}^{(-)}$$

$$P_{AB}^{(+)} = P_{AB}^{(-)}$$

$$P_{BB}^{(+)} = P_{BB}^{(-)}$$

FILTERING

$$\hat{\underline{x}}^{(+)} = \hat{\underline{x}}^{(-)} + K_X \nu$$

$$\hat{\underline{a}}^{(+)} = \hat{\underline{a}}^{(-)} + K_A \nu$$

$$\hat{\underline{b}}^{(+)} = \hat{\underline{b}}^{(-)} + K_B \nu$$

$$P_{XX}^{(+)} = P_{XX}^{(-)} - K_X (H_X P_{XX}^{(-)} + H_B P_{XB}^{(-)T})$$

$$P_{XA}^{(+)} = P_{XA}^{(-)} - K_X (H_X P_{AX}^{(-)T} + H_B P_{AB}^{(-)T})$$

$$P_{XB}^{(+)} = P_{XB}^{(-)} - K_X (H_X P_{BX}^{(-)T} + H_B P_{BB}^{(-)T})$$

$$P_{AA}^{(+)} = P_{AA}^{(-)} - K_A (H_X P_{AX}^{(-)T} + H_B P_{AB}^{(-)T})$$

$$P_{AB}^{(+)} = P_{AB}^{(-)} - K_A (H_X P_{BX}^{(-)T} + H_B P_{BB}^{(-)T})$$

$$P_{BB}^{(+)} = P_{BB}^{(-)} - K_B (H_X P_{BX}^{(-)T} + H_B P_{BB}^{(-)T})$$

where

$$K_X = (P_{XX}^{(-)} H_X^T + P_{XB}^{(-)} H_B^T) Y^{-1}$$

$$K_A = (P_{AX}^{(-)} H_X^T + P_{AB}^{(-)} H_B^T) Y^{-1}$$

$$K_B = (P_{BX}^{(-)} H_X^T + P_{BB}^{(-)} H_B^T) Y^{-1}$$

$$Y = R + H_X (P_{XX}^{(-)} H_X^T + P_{XB}^{(-)} H_B^T) + H_B (P_{BX}^{(-)} H_X^T + P_{BB}^{(-)} H_B^T)$$

$$H = (H_X \ 0 \ H_B)$$

$$\nu = \text{innovation processes}$$

明らかに prediction では $\hat{\underline{x}}$, P_{XX} , P_{XA} , P_{XB} のみを update すればよく残りは計算する必要がない。また filtering においても約 2 割記憶容量と計算時間が節約されることになる。表 2 に示した実用的フィルターにおいてもこのような partitioned form を使う。

(3) カルマンアルゴリズムは、表 1 に示すように電子計算機によるデータ処理に適した構造になっているが、不幸なことにこのアルゴリズムは数値的に不安定である。即ち共分散行列 P の positive semidefinite symmetric (PSDS) 性が破れる場合に度々遭遇する。この欠点を防ぐために次の所謂安定化された (numerically stabilized) カルマンアルゴリズムが提案された (Joseph)。

$$P^{(+)} = (I - KH) P^{(-)} (I - KH)^T + KRK^T$$

従来のアルゴリズムに較べて、計算量が概略 2 倍になるという短所はあるものの suboptimal な情況下でカルマンフィルターを使う場合に適した有効なアルゴリズムである。

PSDS 性を保証する他の手法として、共分散行列 P の Cholesky square root * S を update してゆく、所謂 square root filtering 法がある。ここでは説明を省略するが文献 [4], [5] に詳しい。

* n 行 n 列の PSDS 行列 P に対して

$$P = S S^T$$

を満たす行列 S は一意には定まらないが、特に

$$S = \begin{bmatrix} S_{11} & 0 & \cdots & 0 \\ S_{21} & S_{22} & & 0 \\ \cdots & & & 0 \\ S_{n1} & S_{n2} & \cdots & S_{nn} \end{bmatrix}$$

なる下三角行列に制限すると一意的に決まる。この S を P の Cholesky square root と呼び、次の手続きによって簡単に計算される。

$$S_{ii} = (P_{ii} - \sum_{j=1}^{i-1} S_{ij}^2)^{\frac{1}{2}}, \quad 1 \leq i \leq n$$

$$S_{ji} = \begin{cases} 0, & j < i \\ \frac{1}{S_{ii}} (P_{ji} - \sum_{k=1}^{i-1} S_{jk} S_{ik}), & i+1 \leq j \leq n \end{cases}$$

6. SOFTWARE DESIGN に関する考察

ここで報告するシミュレーションプログラムのように必要記憶容量および計算処理時間ともに極めて大規模なソフトウェアシステムを設計する場合には SOFTWARE DESIGN にも充分な工夫がなされなければならない。特に限られた *incore* の電子計算機(例えば HITAC 5020 F の user's available memory は約 55 K words) では area の assignment に最も苦労することは日常よく経験するところである。限られた usable memory を効率よく使うために、われわれのシミュレーションプログラムでは全体を 1 次元 ARRAY で統一している。即ちベクトルも行列も次の約束に従って同一視する。いま X を M 行 N 列の 2 次元 ARRAY とするとき、この行列 X の (i, j) 要素を 1 次元 ARRAY Y の $(i + M * (j-1) + 4)$ 番目の要素に対応させる。この対応は one-to-one である。そして 1 次元 ARRAY Y の最初の 4 要素は行列 X の大きさを特徴づけるパラメータを入れる。即ち

$$Y(1) = M$$

$$Y(2) = N$$

$$Y(3) = M * N$$

$$Y(4) = M * N + 4$$

として、 $Y(5)$ 以降に X の要素が記憶される。 $Y(3)$ は X の全要素数、 $Y(4)$ は Y の実際の長さを表わす。また特に M 次元ベクトルは、 M 行 1 列の行列と考える。その結果行列およびベクトルを含むすべての線型演算は一通りのサブルーチンを用意すれば実行できる。換言すれば行列用、ベクトル用と区別して作製する必要はない。このよう着想を基盤にすれば、サブルーチンの引数を減少させられるばかりか、ソフトウェアの設計上 memo-

ry assignment が容易、かつ EQUIVALENCE による結合が簡単というメリットもある。

* 例えば行列同志の積 AB 、および行列 A とベクトル b の積は、付録 A の L-1 のサブルーチン “MULT” を使っていざれど

CALL MULT(C, A, B)

によって計算される。勿論 MULT を呼ぶ前に A , B は適切に定義されているものとする。同様に同じ大きさの行列 A , B の 1 次結合 $pA + qB$ (p , q はスカラー) および同じ次元のベクトル a , b の 1 次結合 $pa + qb$ は、付録 A の L-2 のサブルーチン “ADD” を使っていざれど

CALL ADD(C, P, A, Q, B)

によって計算される。

さらにまた MULT, ADD のごとく頻繁に使用するサブルーチンは、FORTRAN によるよりも HISAP でコーディングする方がはるかに実行時間の短縮になる。実際 80 次元の正方形行列に対して、1 回当たりの平均実行時間を HITAC 5020F により調べてみると次に示すように FORTRAN でコーディングされたサブルーチンが HISAP によるものに較べて、MULT で約 4 倍、ADD で約 3 倍かかるという著しい結果が得られた。われわれのシミュ

サブルーチン名	HISAP	FORTRAN	割合
MULT	14.8 秒	58.6 秒	3.95
ADD	0.2 秒	0.6 秒	3

レーションプログラムにおいても HISAP によるサブルーチンを採用した結果、計算時間を約 $1/2$ 乃至 $1/3$ に短縮することができた。

付録 A にわれわれのプログラムに用意されている基本的なサブルーチン群を、付録 B に応用プログラムの 1 部を説明する。

7. あとがき

われわれは過去数年間にわたって、推定論を応用した誘導制御系の設計と評価に関する研究を行なってきた。その間にわれわれが研究開発したり、あるいは必要上やむをえなく作製したプログラムが膨大な量に達した。この報告ではその中から特に統計的な誘導誤差解析の手法とそのシミュレーションプログラムを重点的に解説した。ロケット軌道の高精度シミュレーションプログラムと併用することによって、殆んどすべてのミッションに対する injection phase までの (pre-flight または post-flight の) 誘導誤差解析が可能になる。

終りに本研究を進めてゆく過程で極めて多くの人々か

ら有益なご教示を得た。とりわけ計算研究室磯部俊夫技官にはサブルーチンを HISAP でコーディングしなおして頂いた他 プログラミング技術に関して得る処が多かった。これらの方に筆者らは深甚なる謝意を表する。

なお附録に示したプログラムは、 HITAC 5020 F でテスト済みであることを附記しておく。

参考文献

- 1) 村田正秋: Kalman-Bucy フィルターによる誘導誤差の推定 航技研 TR-302, 1972 年 10 月
- 2) 新田慶治ほか: 宇宙飛翔体の直接式最適誘導法, 航

技研 TR-161, 1968 年 8 月

- 3) 志甫徹: 一般化 Newton-Raphson 法の計算機容量問題に対する改良最適化アルゴリズム, 航技研 TR-249, 1971 年 10 月
- 4) G.J. Bierman; A comparison of Discrete Linear Filtering Algorithms, IEEE vol. AES-9, No. 1, January 1973.
- 5) P.G. Kaminski, A.E. Bryson, Jr., S.F. Schmidt; Discrete Square Root Filtering: A Survey of Current Techniques, IEEE vol. AC-16, No. 6, December 1971.

附録A BASIC SUBROUTINES

ここでは、SPACE GUIDANCE のための基本的なサブルーチンを説明し、併せて利用者のためにリストも示す。初めに付録Bにも共通する注意を述べる。

- 注 1. 原則として 2 倍精度計算とする。
- 注 2. 原則として引数の順序は出力値を初めに、入力値を続けてその次に書く。
- 注 3. 物理定数、規格化常数などの不変データがそのサブルーチンに必要ならば、
DATA / … / … /
の形式で組み込んでおく。
- 注 4. 以下の説明では初めにサブルーチンのデック名を、続いて(1)計算目的・適用条件、(2)呼び方(CALLING SEQUENCE)、(3)引数(ARGUMENT LIST)、(4)使用サブルーチン、(5)プログラムリスト、が述べられている。
- 注 5. デック名の前の L-, F-, E- はサブルーチンがそれぞれ線型計算、関数発生およびその他

に属することを示す。

注 6. 記号は本文に用いた記号に準ずる。

L-1 "MULT"

(1) 目的

任意の行列 A , B の積

$$C = AB$$

を計算する。

(2) 呼び方

CALL MULT (C , A , B)

(3) 引数

引数名	実行前	実行後	次元
C	(関係なし)	結果 C	$M \times L$
A	行列 A	(不変)	$M \times N$
B	行列 B	(不変)	$N \times L$

(4) 使用サブルーチン

なし

(5) リスト

HARP 5020 COMPILED LIST MUL

```

CMULT      HARP    64
          SUBROUTINE MULT(C,A,B)
          DIMENSION C(1),A(1),B(1)
          C(1)=A(1)
          C(2)=B(2)
          II=A(1)+0.01
          JJ=B(2)+0.01
          KK=A(2)+0.01
          C(3)=II*JJ
          C(4)=C(3)+4.0
          DO 1 I=1,II
          DO 1 J=1,JJ
          IJ=I+II*(J-1)+4
          C(IJ)=0.0
          DO 2 K=1,KK
          IK=I+II*(K-1)+4
          KJ=K+KK*(J-1)+4
          2 C(IJ)=C(IJ)+A(IK)*B(KJ)
          1 CONTINUE
          RETURN
          END

```

MULT 005
MULT 020
MULT 030
MULT 040
MULT 050
MULT 060
MULT 070
MULT 080
MULT 090
MULT 100
MULT 110
MULT 120
MULT 130
MULT 140
MULT 150
MULT 160
MULT 170
MULT 180
MULT 190
MULT 200

L-2 "ADD"

(1) 目的

任意の行列 X , Y の和

$$Z = a X + b Y$$

を計算する。ただし a , b はスカラー。

(2) 呼び方

CALL ADD (Z , A , X , B , Y)

(3) 引数

引数名	実行前	実行後	次元
Z	(関係なし)	結果 Z'	$M \times N$
A	スカラー a	(不变)	—
X	行列 X	(不变)	$M \times N$
B	スカラー b	(不变)	—
Y	行列 Y	(不变)	$M \times N$

備考

CALL ADD(X , A , X , B , Y) という使い方もできる。

(4) 使用サブルーチン

なし

(5) リスト

HARP 5020 COMPILED LIST ADD

CADD	HARP DECK	ADD 0010
	WORD LENGTH 64 BITS	ADD 0020
	BUBROUTINE ADD(Z , A , X , B , Y)	ADD 0030
	DIMENSION $Z(1)$, $X(1)$, $Y(1)$	ADD 0040
	DO 1 I=1, 4	ADD 0050
1	$Z(I)=X(I)$	ADD 0060
	II= $Z(1)+0.01$	ADD 0080
	JJ= $Z(2)+0.01$	ADD 0090
	DO 2 I=1, II	ADD 0100
	DO 2 J=1, JJ	ADD 0110
	I J=I+II*(J-1)+4	ADD 0120
2	$Z(IJ)=A*X(IJ)+B*Y(IJ)$	ADD 0130
	RETURN	ADD 0140
	END	ADD 0150

L-3 "MULTP"

(1) 目的

任意の行列 A, B に對して

$$C = A B^T$$

を計算する。

(2) 呼び方

CALL MULTP (C, A, B)

(3) 引数

引数名	実行前	実行後	次元
C	(関係なし)	結果 C'	$M \times M$
A	行列 A	(不变)	$M \times N$
B	行列 B	(不变)	$M \times N$

(4) 使用サブルーチン

なし

(5) リスト

HARP 5020 COMPILED LIST MULTP

CMULTP	HARP	DECK	MULTP 010
WORD LENGTH	64	BITS	MULTP 020
SUBROUTINE	MULTP	(C, A, B)	MULTP 030
DIMENSION	C(1), A(1), B(1)		MULTP 040
C(1)=A(1)			MULTP 050
C(2)=B(1)			MULTP 060
I I=A(1)+0.01			MULTP 070
JJ=A(2)+0.01			MULTP 080
KK=B(1)+0.01			MULTP 090
C(3)=I I*KK			MULTP 100
C(4)=C(3)+4.01			MULTP 110
DO 1 I=1, II			MULTP 120
DO 1 K=1, KK			MULTP 130
IK=I+II*(K-1)+4			MULTP 140
C(IK)=0.0			MULTP 150
DO 2 L=1, JJ			MULTP 160
IL=I+II*(L-1)+4			MULTP 170
KL=K+KK*(L-1)+4			MULTP 180
2 C(IK)=C(IK)+A(IL)*B(KL)			MULTP 190
1 CONTINUE			MULTP 200
RETURN			MULTP 210
END			MULTP 220

L-4 "TRANSP"

(1) 目的

行列 A の転置行列

$$B = A^T$$

を計算する。

(2) 呼び方

CALL TRANSP (B, A)

(3) 引数

HARP 5020 COMPILED LIST TRANSP

引数名	実行前	実行後	次元
B	(関係なし)	結果 B'	$N \times M$
A	行列 A	(不变)	$M \times N$

(4) 使用サブルーチン

なし

(5) リスト

```

CTRANSP      HARP      DECK
WORD LENGTH 64 BITS
SUBROUTINE TRANSP(B,A)
DIMENSTON B(1),A(1)
DO 1 I=1,4
1 B(I)=A(I)
  B(1)=A(2)
  B(2)=A(1)
  II=B(1)+0.01
  JJ=B(2)+0.01
  DO 2 I=1,II
  DO 2 J=1,JJ
    IJ=I+II*(J-1)+4
    JI=J+JJ*(I-1)+4
  2 B(IJ)=A(JI)
  RETURN
END

```

TRAN0010
TRAN0020
TRAN0030
TRAN0040
TRAN0050
TRAN0060
TRAN0070
TRAN0080
TRAN0090
TRAN0100
TRAN0110
TRAN0120
TRAN0130
TRAN0140
TRAN0150
TRAN0160
TRAN0170

L-5 "MAKE"

(1) 目的

行列を転送 (transfer) する

$$B = A$$

(2) 呼び方

CALL MAKE (B, A)

(3) 引数

HARP 5020 COMPILED LIST MAKE

引数名	実行前	実行後	次元
B	(関係なし)	結果 B'	$M \times N$
A	行列 A	(不变)	$M \times N$

(4) 使用サブルーチン

なし

(5) リスト

```

CMAKE      HARP      DECK
WORD LENGTH 64 BITS
SUBROUTINE MAKE(B,A)
DIMENSION B(1),A(1)
DO 1 I=1,4
1 B(I)=A(I)
  II=B(1)+0.01
  JJ=B(2)+0.01
  DO 2 I=1,II
  DO 2 J=1,JJ
    IJ=I+II*(J-1)+4
    JI=J+JJ*(I-1)+4
  2 B(IJ)=A(JI)
  RETURN
END

```

MAKE0010
MAKE0020
MAKE0030
MAKE0040
MAKE0050
MAKE0060
MAKE0070
MAKE0080
MAKE0090
MAKE0100
MAKE0110
MAKE0120
MAKE0130
MAKE0140

L-6 "SET"

(1) 目的

行列をクリア (clear) する
 $A = 0$ (零行列)

(2) 呼び方

CALL SET (A)

(3) 引数

引数名	実行前	実行後	次元
A	(関係なし)	結果 A	$M \times N$

(4) 使用サブルーチン

なし

(5) リスト

HARP 5020 COMPILED LIST SET

```
CSET      HARP DECK
WORD LENGTH 64 EITS
SUBROUTINE SET(A)
DIMENSION A(1)
  I I=A(1)+0.01
  J J=A(2)+0.01
  DO 1 I=1, II
  DO 1 J=1, JJ
  I J=I+II*(J-1)+4
1 A(IJ)=0.0
RETURN
END
```

SET 0010
SET 0020
SET 0030
SET 0040
SET 0050
SET 0060
SET 0070
SET 0080
SET 0090
SET 0100
SET 0110
SET 0120

L-7 "UNIT"

(1) 目的

単位行列を発生する

(2) 呼び方

CALL UNIT (E)

(3) 引数

引数名	実行前	実行後	次元
E	(関係なし)	結果 E'	$M \times M$

(4) 使用サブルーチン

なし

(5) リスト

HARP 5020 COMPILED LIST UNIT

```
CUNIT     HARP DECK
WORD LENGTH 64 BITS
SUBROUTINE UNIT(E)
DIMENSION E(1)
  I I=E(1)+0.01
  DO 1 I=1, II
  DO 1 J=1, II
  I J=I+II*(J-1)+4
  E(IJ)=0.0
1 IF(I.EQ.J) E(IJ)=1.0
RETURN
END
```

UNIT0010
UNIT0020
UNIT0030
UNIT0040
UNIT0050
UNIT0060
UNIT0070
UNIT0080
UNIT0090
UNIT0100
UNIT0110
UNIT0120

L-8 "SSUM"

(1) 目的

任意の行列 A, B に対して

$$C = AB^T + BA^T$$

 を計算する。

(2) 呼び方

CALL SSUM(C, A, B)

(3) 引数

引数名	実行前	実行後	次元
C	(関係なし)	結果 C'	$M \times M$
A	行列 A	(不变)	$M \times N$
B	行列 B	(不变)	$M \times N$

(4) 使用サブルーチン

なし

(5) リスト

HARP 5020 COMPILED LIST SSUM

CSSUM	HARP	64	SSUM 110
		SUBROUTINE SSUM(C, A, B)	SSUM 120
		DIMENSION C(1), A(1), B(1)	SSUM 130
		II=A(1)+0.01	SSUM 140
		JJ=A(2)+0.01	SSUM 150
		C(1)=II	SSUM 160
		C(2)=II	SSUM 170
		C(3)=II**2	SSUM 180
		C(4)=C(3)+4.0	SSUM 190
		DO 1 I=1, II	SSUM 200
		DO 1 J=1, II	SSUM 210
		IJ=I+II*(J-1)+4	SSUM 220
		C(IJ)=0.0	SSUM 230
		DO 2 K=1, JJ	SSUM 240
		IK=I+II*(K-1)+4	SSUM 250
		JK=J+II*(K-1)+4	SSUM 260
2		C(IJ)=C(IJ)+A(IK)*B(JK)+B(IK)*A(JK)	SSUM 270
1		CONTINUE	SSUM 280
		RETURN	SSUM 290
		END	SSUM 295

L-9 "MATINV"

(1) 目的

行列 A の逆行列、あるいは連立一次方程式

$$A \underline{x} = \underline{b}$$

の解を計算する。 A の次元は 50 以下。

(2) 呼び方

CALL MATINV (A , B , M , D)

(3) 引数

引数名	実行前	実行後	次元
A	係数行列 A	逆行列 A^{-1}	$M \times M$
B	ベクトル \underline{b}	解 \underline{x}	$M \times 1$
M	(関係なし)	(不变)	—
D	(関係なし)	行列式 $ A $	—

備考

$M = 0$ ならば逆行列のみ計算

$M \neq 0$ ならば逆行列および解を計算

(4) 使用サブルーチン

なし

(5) リスト

HARP 5020 COMPILED LIST MINV

CMINV	HARP 64	MINV 010
WORD LENGTH 64 EITS		
SUBROUTINE MATINV(A , B , M , D)		MINV 020
DIMENSTON A(1), B(1)		MINV 030
DIMENSTON IPIVOT(50), INDEX(50,2), FIVOT(50)		MINV 040
EQUIVA ENCE (IROW, JROW), (IOOLUM, JOOLUM),		MINV 050
(AMAX, T, SWAP)		
D=1.0		MINV 060
N=A(1)+0.01		MINV 070
DO 20 J=1,N		MINV 080
20 IPIVOT(J)=0		MINV 090
DO 555 I=1,N		MINV 100
AMAX=0.0		MINV 110
DO 105 J=1,N		MINV 120
IF(IPIVOT(J).EQ.1) GO TO 105		MINV 130
DO 100 K=1,N		MINV 140
IF(IPIVOT(K)-1) 80, 100, 740		MINV 150
80 JK=J+N*(K-1)+4		MINV 160
IF(ABS(AMAX).GE.ABS(A(JK))) GO TO 100		MINV 170
IROW=J		MINV 180
ICOLUMN=K		MINV 190
AMAX=A(JK)		MINV 200
100 CONTINUE		MINV 210
105 CONTINUE		MINV 220
IPIVOT(ICOLUMN)=IPIVOT(ICOLUMN)+1		MINV 230
IF(IROW.EQ.ICOLUMN) GO TO 260		MINV 240
D=-D		MINV 250
DO 200 L=1,N		MINV 260
IRL=IROW+N*(L-1)+4		MINV 270
ICL=ICOLUMN+N*(L-1)+4		MINV 280
SWAP=A(IRL)		MINV 290
A(IRL)=A(ICL)		MINV 300
200 A(ICL)=SWAP		MINV 310
IF(M.EQ.0) GO TO 260		MINV 320
IR=IROW+4		MINV 340
IC=ICO UM+4		MINV 350
SWAP=B(IR)		MINV 360
B(IR)=B(IC)		MINV 370

(続き) HARP 5020 COMPILED LIST MINV

```

B( IC )=SWAP                         MINV 380
260 INDEX( I, 1 )=IROW                MINV 390
INDEX( I, 2 )=ICOLUMN                 MINV 400
IC=ICO UM+N*( ICOLUMN-1 )+4          MINV 410
PIVOT( T )=A( IC )                   MINV 420
D=D*PIVOT( I )                      MINV 430
A( IC )=1.0                          MINV 440
DO 350 L=1,N                         MINV 450
IL=ICO UM+N*( I-1 )+4                MINV 460
350 A( IL )=A( IL )/PIVOT( T )       MINV 470
IF( M.EQ.0 ) GO TO 380               MINV 480
IC=ICO UM+4                         MINV 490
B( IC )=B( IC )/PIVOT( I )          MINV 500
380 DO 550 L1=1,N                    MINV 510
IF( L1.EQ.ICOLUMN ) GO TO 550       MINV 520
L1=L1+N*( ICOLUMN-1 )+4              MINV 530
T=A( L1 )                           MINV 540
A( L1 )=0.0                          MINV 550
DO 450 L=1,N                         MINV 560
LL=L1+N*( L-1 )+4                   MINV 570
IL=ICOLUMN+N*( L-1 )+4              MINV 580
450 A( LL )=A( LL )-A( IL )*T       MINV 590
IF( M.EQ.0 ) GO TO 550               MINV 600
L=L1+4                            MINV 610
IC=ICOLUMN+4                        MINV 620
B( L )=B( L )-B( IC )*T             MINV 630
550 CONTINUE                         MINV 640
550 CONTINUE                         MINV 650
DO 710 I=1,N                         MINV 660
L=N+1-I                            MINV 670
IF( INDEX( L, 1 ).EQ.INDEX( L, 2 ) ) GO TO 710
JROW=INDEX( L, 1 )                   MINV 680
JCOLUMN=INDEX( L, 2 )                 MINV 690
DO 700 K=1,N                         MINV 700
KJ=K+N*( JROW-1 )+4                  MINV 710
KJC=K+N*( JCOLUMN-1 )+4              MINV 720
SWAP=A( KJ )                         MINV 730
A( KJ )=A( KJC )                     MINV 740
700 A( KJC )=SWAP                   MINV 750
710 CONTINUE                         MINV 760
740 RETURN                           MINV 770
END                                MINV 780
                                  MINV 790

```

L-10 "TRACE"

- (1) 目的
正方形行列 A のトレース (trace) を計算する
- (2) 呼び方
CALL TRACE (S, A)

- (3) 引数

引数名	実行前	実行後	次元
S	(関係なし)	結果 S'	—
A	行列 A	(不变)	$N \times N$

- (4) 使用サブルーチン

なし

- (5) リスト

HARP 5020 COMPILED LIST TRACE

```

CTRACE      HARP      64
SUBROUTINE TRACE(S,A)
DIMENSION A(1)
II=A(1)+0.01
S=0.0
DO 1 I=1,II
JJ=I+II*(I-1)+4
1 S=S+A(JJ)
RETURN
END

```

```

TRAC   10
TRAC   20
TRAC   30
TRAC   40
TRAC   50
TRAC   60
TRAC   70
TRAC   80
TRAC   90
TRAC  100

```

L-11 "MAKES"

- (1) 目的
スカラー a と行列 X の積
 $Y = a X$
を計算する。

- (2) 呼び方
CALL MAKES (Y, A, X)
- (3) 引数

引数名	実行前	実行後	次元
Y	(関係なし)	結果 Y'	$M \times N$
A	スカラー a	(不变)	—
X	行列 X	(不变)	$M \times N$

備考

CALL MAKES (X, A, Y) という使い方もできる。

- (4) 使用サブルーチン
なし
- (5) リスト

HARP 5020 COMPILED LIST MAKES

```

CMAKES      HARP      64
WORD LENGTH 64 BITS
SUBROUTINE MAKES(Y,A,X)
DIMENSION Y(1),X(1)
DO 1 I=1,4
1 Y(I)=X(I)
II=X(1)+0.01
JJ=X(2)+0.01
DO 2 I=1,II
DO 2 J=1,JJ
IJ=I+II*(J-1)+4
2 Y(IJ)=A*X(IJ)
RETURN
END

```

```

MAKES010
MAKES005
MAKES020
MAKES030
MAKES040
MAKES050
MAKES060
MAKES070
MAKES080
MAKES090
MAKES100
MAKES110
MAKES120
MAKES130

```

L-12 "RMAT"

(1) 目的

3 次元ベクトル \underline{w} のつくる回転行列 R を発生する。

$$R = \begin{pmatrix} 0 & -w_3 & w_1 \\ w_3 & 0 & -w_2 \\ -w_1 & w_2 & 0 \end{pmatrix}$$

(2) 呼び方

CALL RMAT (R, W)

HARP 5020 COMPILED LIST

(3) 引数

引数名	実行前	実行後	次元
R	(関係なし)	結果 R'	3×3
W	ベクトル \underline{w}	(不变)	3×1

(4) 使用サブルーチン

SET, LET

(5) リスト

RMAT

CRMAT	HARP	RMAT 010
	WORD LENGTH 64 BITS	RMAT 020
	SUBROUTINE RMAT(R,W)	RMAT 030
	DIMENSION R(1),W(1)	RMAT 040
	CALL LET(R,3,3)	RMAT 050
	CALL SET(R)	RMAT 060
	R(6)=W(7)	RMAT 070
	R(7)=-W(6)	RMAT 080
	R(8)=-W(7)	RMAT 090
	R(10)=W(5)	RMAT 100
	R(11)=W(6)	RMAT 110
	R(12)=-W(5)	RMAT 120
	RETURN	RMAT 130
	END	RMAT 140

L-13 "INNERP"

(1) 目的

N 次元ベクトル \underline{a} , \underline{b} の内積

$$c = (\underline{a}, \underline{b})$$

を計算する。

(2) 呼び方

CALL INNERP (C, A, B)

(3) 引数

引数名	実行前	実行後	次元
C	(関係なし)	結果 c	—
A	ベクトル \underline{a}	(不变)	$N \times 1$
B	ベクトル \underline{b}	(不变)	$N \times 1$

(4) 使用サブルーチン

HARP 5020 COMPILED LIST

INNERP

CINNRP	HARP	INNE 010
	WORD LENGTH 64 EITS	INNE 020
	SUBROUTINE INNERP(C,A,B)	INNE 030
	DIMENSION A(1),B(1)	INNE 040
	C=0.0	INNE 050
	DO 1 I=1,3	INNE 060
1	C=C+A(I+4)*B(I+4)	INNE 070
	RETURN	INNE 080
	END	INNE 090

L-14 "OUTERP"

(1) 目的

3次元ベクトル \underline{a} , \underline{b} の外積

$$\underline{c} = \underline{a} \times \underline{b}$$

を計算する。

(2) 呼び方

CALL OUTERP (C, A, B)

(3) 引数

引数名	実行前	実行後	次元
C	(関係なし)	結果 \underline{c}	3×1
A	ベクトル \underline{a}	(不变)	3×1
B	ベクトル \underline{b}	(不变)	3×1

(4) 使用サブルーチン

なし

(5) リスト

HARP 5020 COMPILED LIST OUTERP

```

COUTERP      HARP
WORD LENGTH 64 BITS
SUBROUTINE OUTERP(C,A,B)
DIMENSTION C(1),A(1),B(1)
C(1)=3
C(2)=1
C(3)=3
C(4)=7
C(5)=A(6)*B(7)-E(6)*A(7)
C(6)=A(7)*B(5)-A(5)*B(7)
C(7)=A(5)*B(6)-E(5)*A(6)
RETURN
END

```

OUTE	010
OUTE	020
OUTE	030
OUTE	040
OUTE	050
OUTE	060
OUTE	070
OUTE	080
OUTE	090
OUTE	100
OUTE	110
OUTE	120
OUTE	130

L-15 "VNORM"

(1) 目的

 N 次元ベクトル \underline{v} のユークリッドノルム $\|\underline{v}\|$ を計算する。

(2) 呼び方

CALL VNORM(VN,V)

(3) 引数

引数名	実行前	実行後	次元
VN	(関係なし)	結果 $\ \underline{v}\ $	—
V	ベクトル \underline{v}	(不变)	$N \times 1$

(4) 使用サブルーチン

INNERP,

(5) リスト

HARP 5020 COMPILED LIST VNORM

```

CVNORM      HARP
WORD LENGTH 64 EITS
SUBROUTINE VNORM(VN,V)
DIMENSION V(1)
CALL INNERP(C,V,V)
VN=DSGRT(C)
RETURN
END

```

VNOR	010
VNOR	020
VNOR	030
VNOR	040
VNOR	050
VNOR	060
VNOR	070
VNOR	080

L-16 "VUNIT"

(1) 目的

N 次元ベクトル \underline{v} を規格化(normalize)する。

(2) 呼び方

CALL VUNIT (VU, V)

(3) 引数

引数名	実行前	実行後	次元
VU	(関係なし)	結果 VU'	$N \times 1$
V	ベクトル \underline{v}	(不変)	$N \times 1$

(4) 使用サブルーチン

VNORM

(5) リスト

HARP 5020 COMPILED LIST VUNIT

CVUNIT	HARP	
WORD LENGTH 64 BITS		VUNI 010
SUBROUTINE VUNIT(VU,V)		VUNI 020
DIMENSION VU(1),V(1)		VUNI 030
DO 1 I=1,4		VUNI 040
1 VU(I)=V(I)		VUNI 050
CALL VNORM(VN,V)		VUNI 060
I I=VU(3)+0.01		VUNI 070
DO 2 I=1,II		VUNI 080
2 VU(I+4)=V(I+4)/VN		VUNI 090
RETURN		VUNI 100
END		VUNI 110
		VUNI 120

L-17 "MULT3"

(1) 目的

行列 A, B に對して、積

$$C = A B A^T$$

を直接に計算する。

(2) 呼び方

CALL MULT3 (C, A, B)

(3) 引数

引数名	実行前	実行後	次元
C	(関係なし)	結果 C'	$M \times M$
A	行列 A	(不变)	$M \times N$
B	行列 B	(不变)	$N \times N$

(4) 使用サブルーチン

なし

(5) リスト

HARP 5020 COMPILED LIST MULT3

CMULT3 HARP	MULT3010
WORD LENGTH 64 BITS	MULT3020
SUBROUTINE MULT3(C,A,B)	MULT3030
DIMENSION C(1),A(1),B(1)	MULT3040
M=A(1)+0.01	MULT3050
N=A(2)+0.01	MULT3060
C(1)=M	MULT3070
C(2)=M	MULT3080
C(3)=M**2	MULT3090
C(4)=C(3)+4.0	MULT3100
DO 1 I=1,M	MULT3110
DO 1 J=1,M	MULT3120
I J=I+M*(J-1)+4	MULT3130
C(I J)=0.0	MULT3140
DO 2 K=1,N	MULT3150
DO 2 L=1,N	MULT3160
KL=K+N*(L-1)+4	MULT3170
IK=I+M*(K-1)+4	MULT3180
JL=J+M*(L-1)+4	MULT3190
2 C(I J)=C(I J)+B(KL)*A(IK)*A(JL)	MULT3200
1 CONTINUE	MULT3210
RETURN	MULT3220
END	MULT3230

F-1 "TTI"

(1) 目的

I 座標系から *T* 座標系への座標変換行列の発生

(2) 呼び方

CALL TTI (CTI, FPA, R, V)

(3) 引数

引数名	実行前	実行後	次元
CTI	(関係なし)	変換行列	3×3
FPA	(関係なし)	τ_T (rad)	—
R	位置ベクトル \underline{r}	(不变)	3×1
V	速度ベクトル \underline{v}	(不变)	3×1

(4) 使用サブルーチン

VUNIT, OUTERP, VNORM, INNERP

(5) リスト

HARP 5020 COMPILED LIST TTI

CTTI	HARP	TTI 010
WORD LENGTH 64 BITS		TTI 020
SUBROUTINE TTI(CTI,FPA,R,V)		TTI 030
DIMENSION ZT(7), YT(7), XT(7), CTI(1), R(1), V(1)		TTI 040
CALL VUNIT(ZT,R)		
CALL OUTERP(YT,R,V)		TTI 070
CALL VUNIT(YT,YT)		TTI 080
CALL OUTERP(XT,YT,ZT)		
CTI(1)=3		TTI 100
CTI(2)=3		TTI 110
CTI(3)=9		TTI 120
CTI(4)=13		TTI 130
DO 1 J=1, 3		TTI 140
J 1=3*J+2		TTI 150
J 2=J 1+1		TTI 160
J 3=J 2+1		TTI 170
CTI(J 1)=XT(J+4)		TTI 180
CTI(J 2)=YT(J+4)		TTI 190
1 CTI(J 3)=ZT(J+4)		TTI 200
CALL VNORM(VN,V)		TTI 210
CALL INNERP(A,V,XT)		TTI 225
A=A/VN		TTI 235
CALL INNERP(B,R,V)		TTI 245
A=DSQRT(1,0-A**2)		TTI 255
B=DSIGN(A,B)		TTI 265
FPA=DATAN2(B,A)		TTI 275
RETURN		TTI 285
END		TTI 295

F-2 "TEI"

- (1) 目的
 I 座標系から E 座標系への座標変換行列の発生
- (2) 呼び方
 CALL TEI (CEI, TIME)

- (3) 引数

引数名	実行前	実行後	次元
CEI	(関係なし)	変換行列	3×3
TIME	t	(不変)	—

- (4) 使用サブルーチン

SET

- (5) リスト

HARP 5020 COMPILED LIST TEI

CTEI	HARP	TEI 010
	WORD LENGTH 64 BITS	TEI 020
	SUBROUTINE TEI(CEI,TIME)	TEI 030
	DIMENSION CEI(1)	TEI 040
	DATA/OMEGA/7.292115E-5/	TEI 045
	CEI(1)=3	TEI 050
	CEI(2)=3	TEI 060
	CEI(3)=9	TEI 070
	CEI(4)=13	TEI 080
	A=OMEGA*TIME	TEI 085
	CS=DCOS(A)	TEI 090
	SN=DSIN(A)	TEI 100
	CALL SET(CEI)	TEI 110
	CEI(5)=CS	TEI 120
	CEI(6)=-SN	TEI 130
	CEI(8)=SN	TEI 140
	CEI(9)=CS	TEI 150
	CEI(13)=1.0	TEI 160
	RETURN	TEI 170
	END	TEI 180

F-3 "TSE"

(1) 目的

E 座標系から S 座標系への座標変換行列の発生。およびレーダーサイトの位置ベクトル (E 座標) の計算

(2) 呼び方

CALL TSE(CSE, RE, HS, GLON, GLAT)

(3) 引数

引数名	実行前	実行後	次元
CSE	(関係なし)	変換行列	3×3
RE	(関係なし)	位置ベクトル	3×1
HS	H_S	(不变)	—
GLON	λ_S (deg)	(不变)	—
GLAT	ϕ_S (deg)	(不变)	—

(4) 使用サブルーチン

なし

(5) リスト

HARP 5020 COMPILED LIST TSE

CTSE	HARP	TSE 010
	WORD LENGTH 64 BITS	TSE 020
	SUBROUTINE TSE(CSE, RE, HS, GLON, GLAT)	TSE 030
	DIMENSION CSE(1), R E(1)	TSE 040
	DATA/AE, EC, DR/0.0637816490E8, 0.003352329, 57.295779578/	TSE 050
	DOUBLE PRECISION LON, LAT	TSE 060
	LON=GLON/DR	TSE 070
	LAT=GLAT/DR	TSE 080
	A=DTAN(LAT)	TSE 090
	E=1.0-EC**2	TSE 100
	B=DSQRT(E**2+A**2)	TSE 110
	SLA=A/B	TSE 120
	CLA=E/B	TSE 130
	SLO=DSIN(LON)	TSE 140
	CLO=DCOS(LON)	TSE 150
	CSE(1)=3	TSE 160
	CSE(2)=3	TSE 170
	CSE(3)=9	TSE 180
	CSE(4)=13	TSE 190
	CSE(5)=-SLO	TSE 200
	CSE(6)=-SLA*CLO	TSE 210
	CSE(7)=CLA*CLO	TSE 220
	CSE(8)=CLO	TSE 230
	CSE(9)=-SLA*SLO	TSE 240
	CSE(10)=CLA*SLO	TSE 250
	CSE(11)=0.0	TSE 260
	CSE(12)=CLA	TSE 270
	CSE(13)=SLA	TSE 280
	A=1.0-(EC*SLA)**2	TSE 290
	A=DSQRT(A)	TSE 300
	G1=HS+AE/A	TSE 310
	G2=HS+AE*E/A	TSE 320
	RE(1)=3	TSE 330
	RE(2)=1	TSE 340
	RE(3)=3	TSE 350
	RE(4)=7	TSE 360
	RE(5)=G1*CLA*CLO	TSE 370
	RE(6)=G1*CLA*SLO	TSE 380
	RE(7)=G2*SLA	TSE 390
	RETURN	TSE 400
	END	TSE 410

F-4 "TLI"

(1) 目的

I 座標系から *L* 座標系への座標変換行列の発生

(2) 呼び方

CALL TLI (*CLI*, *GLL*)

(3) 引数

引数名	実行前	実行後	次元
<i>CLI</i>	(関係なし)	変換行列	3×3
<i>GLL</i>	ϕ'_L (deg)	(不変)	—

(4) 使用サブルーチン

SET

(5) リスト

HARP 5020 COMPILED LIST TLI

CTLI	HARP	TLI 010
	WORD LENGTH 64 BITS	TLI 020
	SUBROUTINE TLI(CLl,GLL)	TLI 030
	DIMENSION CLl(1)	TLI 040
	DATA/EC,DR/0.003352329,57.295779578/	TLI 050
	E=1.0-EC**2	TLI 060
	G=GLL /DR	TLI 065
	A=DTAN(G)	TLI 070
	B=DSQRT(E**2+A**2)	TLI 080
	SLA=A/B	TLI 090
	CLA=E/B	TLI 100
	CLl(1)=3	TLI 110
	CLl(2)=3	TLI 120
	CLl(3)=9	TLI 130
	CLl(4)=13	TLI 140
	CALL SET(CLl)	TLI 150
	CLl(5)=CLA	TLI 160
	CLl(7)=-SLA	TLI 170
	CLl(9)=1.0	TLI 180
	CLl(11)=SLA	TLI 190
	CLl(13)=CLA	TLI 200
	RETURN	TLI 210
	END	TLI 220

F-5 " TNL "

- (1) 目的
 L 座標系から N 座標系への座標変換行列の発生
- (2) 呼び方
 CALL TNL (CNL, LA)

- (3) 引数

引数名	実行前	実行後	次元
CNL	(関係なし)	変換行列	3×3
LA	ϕ_L (deg)	(不变)	—

- (4) 使用サブルーチン

SET

- (5) リスト

HARP 5020 COMPILED LIST TNL

CTNL	HARP	TNL 010
WORD LENGTH 64 EITS		TNL 020
SUBROUTINE TNL(CNL, LA)		TNL 030
DIMENSION CNL(1)		TNL 040
DOUBLE PRECISION LA		TNL 050
DATA/DR/57.295779578/		TNL 060
RA=LA/DR		TNL 070
CNL(1)=3		TNL 090
CNL(2)=3		TNL 100
CNL(3)=9		TNL 110
CNL(4)=13		TNL 120
CALL SET(CNL)		TNL 130
CNL(5)=1.0		TNL 140
CNL(9)=DSIN(RA)		TNL 150
CNL(10)==DCOS(RA)		TNL 160
CNL(12)==CNL(10)		TNL 170
CNL(13)=CNL(9)		TNL 180
RETURN		TNL 230
END		TNL 240

F-6 " TNI "

- (1) 目的
 I 座標系から N 座標系への座標変換行列の発生
- (2) 呼び方
 CALL TNI (CNI, GLL, LA)

- (3) 引数

引数名	実行前	実行後	次元
CNI	(関係なし)	変換行列	3×3
GLL	ϕ'_L (deg)	(不变)	—
LA	ϕ_L (deg)	(不变)	—

- (4) 使用サブルーチン

TLI, TNL, MULT

- (5) リスト

HARP 5020 COMPILED LIST TNI

CTNI	HARP	TNI 010
WORD LENGTH 64 BITS		TNI 020
SUBROUTINE TNI(CNI, GLL, LA)		TNI 030
DIMENSION CNI(1), CLI(13), CNL(13)		TNI 040
DOUBLE PRECISION LA		TNI 050
CALL TLI(CLT, GLL)		TNI 060
CALL TNL(CNL, LA)		TNI 070
CALL MULT(CNI, CNL, CLI)		TNI 080
RETURN		TNI 090
END		TNI 100

F-7 "TRN"

(1) 目的

R 座標系から N 座標系への座標変換行列の発生、および状態ベクトルの変換

(2) 呼び方

```
CALL TRN ( CRN, RN, VN, RA, DRA,
DCRA, R, V )
```

(3) 引数

(4) 使用サブルーチン

```
SET, TRANSP, RMAT, MULT, ADD
```

(5) リスト

HARP 5020 COMPILED LIST TRN

引数名	実行前	実行後	次元
CRN	(関係なし)	変換行列	3×3
RN	(関係なし)	\underline{r}_N	3×1
VN	(関係なし)	\underline{v}_N	3×1
RA	ϕ (rad)	(不变)	—
DRA	$\dot{\phi}$ (rad/sec)	(不变)	—
CRA	ϕ (rad)	(不变)	—
$DCRA$	$\dot{\phi}$ (rad/sec)	(不变)	—
R	r	(不变)	—
V	\dot{r}	(不变)	—

CTRN	HARP	TRN 010
	WORD LENGTH 64 BITS	TRN 020
	SUBROUTINE TRN(CRN,RN,VN,RA,DRA,CRA,DCRA,R,V)	TRN 030
	DIMENSION CRN(1),RN(1),VN(1),RR(7),VR(7),CNR(13),A(13),W(7)	TRN 040
	SR=DSIN(RA)	TRN 050
	CR=DCOS(RA)	TRN 060
	SC=DSIN(CRA)	TRN 070
	CC=DCOS(CRA)	TRN 080
	CRN(1)=3	TRN 090
	RR(1)=3	TRN 005
	RR(2)=1	TRN 015
	VR(1)=3	TRN 025
	VR(2)=1	TRN 035
	CALL SET(RR)	TRN 045
	CALL SET(VR)	TRN 055
	RR(7)=R	TRN 065
	VR(7)=V	TRN 075
	CRN(2)=3	TRN 100
	CRN(3)=9	TRN 110
	CRN(4)=13	TRN 120
	CRN(5)=SC*CR	TRN 130
	CRN(6)=-SR	TRN 140
	CRN(7)=CC*CR	TRN 150
	CRN(8)=SC*SR	TRN 160
	CRN(9)=CR	TRN 170
	CRN(10)=CC*SR	TRN 180
	CRN(11)=-CC	TRN 190
	CRN(12)=0.0	TRN 200
	CRN(13)=SC	TRN 210
	CALL TRANSP(CNR,CRN)	TRN 220
	W(1)=3	TRN 230
	W(2)=1	TRN 240
	W(3)=3	TRN 250
	W(4)=7	TRN 260
	W(5)=DCRA*SR	TRN 270
	W(6)=DCRA*CR	TRN 280
	W(7)=DRA	TRN 290
	CALL RMAT(A,W)	TRN 300
	CALL MULT(RN,CNR,RR)	TRN 310
	CALL MULT(VN,CNR,VR)	TRN 320
	CALL MULT(W,CNR,RR)	TRN 330
	CALL MULT(CNR,A,W)	TRN 340
	CALL ADD(VN,1.0,VN,1.0,CNR)	TRN 350
	RETURN	TRN 360
	END	TRN 370

F-8 " TGN "

(1) 目的

N 座標系から *G* 座標系への座標変換行列の発生

(2) 呼び方

```
CALL TGN ( CGN, GRA, GCRA )
```

(3) 引数

引数名	実行前	実行後	次元
<i>CGN</i>	(関係なし)	変換行列	3×3
<i>GRA</i>	ϕ_G (deg)	(不変)	—
<i>GCRA</i>	ϕ_G (deg)	(不変)	—

(4) 使用サブルーチン

なし

(5) リスト

HARP 5020 COMPILED LIST TGN

CTGN	HARP	TGN
WORD LENGTH 64 BITS		010
SUBROUTINE TGN(CGN, GRA, GCRA)		020
DIMENSION CGN(1)		030
DATA/DR/57.295779578/		040
PG=GCRA/DR		050
FG=GRA/DR		060
SP=DSIN(PG)		070
CP=DCOS(PG)		080
SF=DSIN(FG)		090
CF=DCOS(FG)		100
CGN(1)=3		110
CGN(2)=3		120
CGN(3)=9		130
CGN(4)=13		140
CGN(5)=SP*CF		150
CGN(6)=-SF		160
CGN(7)=CP*CF		170
CGN(8)=SP*SF		180
CGN(9)=CF		190
CGN(10)=CP*SF		200
CGN(11)=-CP		210
CGN(12)=0.0		220
CGN(13)=SP		230
RETURN		240
END		250
		260

F-9 " RNORM "

(1) 目的

任意の平均値 μ と分散 σ^2 を持つ Gauss 型乱数を発生させるものである。発生方法としては Box-Muller の変換式を用いる。すなわち、 $(0, 1)$ の一様乱数 x_1, x_2 の 2 個を用いて

$$z_1 = (-2 \log x_1)^{1/2} \cos 2\pi x_2$$

$$z_2 = (-2 \log x_1)^{1/2} \sin 2\pi x_2$$

なる変換により 2 個の独立な正規乱数 ($\mu = 0, \sigma^2 = 1$) を発生させる。さらに指定した平均値 μ を分散 σ^2 を与えるために

$$y_i = \mu + \sigma z_i \quad (i = 1, 2)$$

の変換を行なう。

(2) 呼び方

```
CALL RNORM ( RNOR, RI1, RI2, ICY,
              RMEAN, RSIGM, N )
```

(3) 引数

引数名	実行前	実行後	次元
RNOR		発生乱数の格納	N
RI1	一様乱数のための初期値	次のCALLのための初期値	—
RI2		—	—
ICY	出力サイクル	(不变)	—
RMEAN	平均値	(不变)	—
RSIGM	標準偏差	(不变)	—
N	乱数の個数	(不变)	—

備考1 引数 RI1, RI2, ICY は、このサブルーチン内で一様乱数発生のサブルーチン RNUNIF を使

用するために必要な引数である。

備考2 RSIGM は標準偏差 σ を入力データとするもので、分散 σ^2 と混同しないよう注意が必要である。

備考3 RMEAN = 0.0, RSIGM = 1.0 と指定すれば $N(0, 1^2)$ の分布の正規乱数が得られる。

備考4 必要な Gauss 型乱数の個数 N は偶数で指定しなければならない。これは変換公式の性質上、一様乱数を偶数個必要とするためである。

(4) 使用サブルーチン

RNUNIF

(5) リスト

HARP 5020 COMPILED LIST RNM

CRNM	HARP	
	WORD LENGTH 64 BITS	RNM 010
	SUBROUTINE RNORM(RNOR, RI1, RI2, ICY, RMEAN, RSIGM, NUM)	RNM 020
C****	GAUSSIAN RANDOM NOISE OR NORMAL RANDOM NOISE GENERATOR	RNM 030
C	RI1, RI2 = INITIAL REAL NUMBER	RNM 040
C	ON AND AFTER SECOND CALL, RI1, RI2 ARE REWRITTEN AUTOMATICALLY	RNM 050
C	ICY = OUTPUT CYCLE INDEX FOR YRUN	RNM 060
C	RMEAN = MEAN VALUE	RNM 070
C	RSIGM = STANDARD DEVIATION	RNM 080
C	NUM = NUMBER OF GAUSSIAN RANDOM NOISE (EVEN NUMBER)	RNM 090
C	RNOR(I) = STORAGE FOR GAUSSIAN RANDOM NOISE	RNM 100
C	DIMENSION RNOR(NUM)	RNM 110
	IND=0	RNM 120
	CALL RNUNIF(RI1, RI2, ICY, NUM, RNOR)	RNM 130
	DO 100 I=1, NUM	RNM 140
	IF(IND.EQ.1) GO TO 200	RNM 150
	R1=RNOR(I)	RNM 160
	R2=RNOR(I+1)	RNM 170
	X1=-2.0*DLOG(R1)	RNM 180
	X1=DSQRT(X1)	RNM 190
	X2=R2*6.283185307179586	RNM 200
	Z1=X1*DCOS(X2)	RNM 210
	Z2=X1*DSIN(X2)	RNM 220
	Z1=Z1*RSIGM +RMEAN	RNM 230
	Z2=Z2*RSIGM +RMEAN	RNM 240
	RNOR(I)=Z1	RNM 250
	IND=1	RNM 260
	GO TO 100	RNM 270
200	RNOR(I)=Z2	RNM 280
	IND=0	RNM 290
100	CONTINUE	RNM 300
	RETURN	RNM 310
	END	RNM 320

F-10 "RNUNIF"

(1) 目的

区間 [0, 1] の一様乱数（矩形乱数）を発生させることを目的とする。発生方法としては Fibonacci 数列

$$x_{n+2} = x_{n+1} + x_n$$

を利用する。プログラム上は x_{n+2} の値が 1.0 を越した場合は 1.0 を差引き、常に [0, 1] の範囲の値を発生するようにしてある。

(2) 呼び方

CALL RNUNIF (RUNN, RI1, RI2, ICY, N)

(3) 引数

引数名	実行前	実行後	次元
RUNN		発生乱数の格納	N
RI1	初期値	次回のCALLのための初期値	—
RI2		(不变)	—
ICY	出力のサイクル	(不变)	—
N	乱数の個数	(不变)	—

備考 1 初期値 RI1, RI2 には、たとえば円周率 π

HARP 5020 COMPILED LIST

とか自然対数の底 e などのような値を利用するとよい。2回目以降のCALLの際はサブルーチンの中で初期値が自動的に置換えられるから、初期値は第1回のCALLの時だけ与えればよい。

備考 2 引数 ICY は出力のサイクルを指定する引数で、
ICY=1 のときは Fibonacci 数列そのものである。

ICY=n, (n ≥ 2) のときは Fibonacci 数列を n 番目毎に、すなわち $n - 1$ 個おきにサンプリングして取出して来ることを意味する。

備考 3 ICY=1 の場合に、発生した乱数 10,000 個に対し、 χ^2 検定を利用して頻度検定、継次検定、ポーカー検定、およびギャップ検定の 4 種の検定を行なった結果、Fibonacci 数列によって発生させるものは有意水準 5%，すなわち信頼係数 95% で一様乱数とみなしうると判定された。

(4) 使用サブルーチン

なし

(5) リスト

RUM

CRUM	HARP		
	WORD LENGTH 64 BITS		
C****	SUBROUTINE RNUNIF(RUNN, RI1, RI2, ICY, NUM)	RUN 000	
C	UNIFORM RANDOM NOISE GENERATOR (0, 1)		
C	RI1, RI2 = INITIAL REAL NUMBER		
C	ICY = OUTPUT CYCLE INDEX		
C	NUM = NECESSARY NUMBERS OF UNIFORM RANDOM NOISE		
C	RUNN = STORAGE FOR RANDOM NOISE		
C	ADJUSTABLE DIMENSION		
C	ON AND AFTER SECOND CALL, RI1, RI2 ARE REWRITTEN AUTOMATICALLY		
C	DIMENSION RUNN(NUM)		
20	XN1=RI1	RUN 010	
20	XN2=RI2	RUN 015	
DO 10 I=1,NUM		RUN 020	
J=1		RUN 025	
20 XN3=XN2+XN1		RUN 030	
25 IF(XN3.LE.1.0) GO TO 30		RUN 035	
XN3=XN3-1.0		RUN 040	
GO TO 25		RUN 045	
30 XN1=XN2		RUN 050	
XN2=XN3		RUN 055	
IF(J.EQ.ICY) GO TO 40		RUN 060	
J=J+1		RUN 065	
GO TO 20		RUN 070	
40 RUNN(I)=XN2		RUN 075	
10 CONTINUE		RUN 080	
RI1=XN1		RUN 085	
RI2=XN2		RUN 090	
RETURN		RUN 095	
END		RUN 100	

F-11 "RCNG"

(1) 目的

スペクトル密度が

$$\frac{2\beta \sigma^2}{\beta^2 + \omega^2}, \quad \beta = \frac{1}{T}$$

で与えられる有色雑音を発生する(3.2参照)。

(2) 呼び方

CALL RCNG (RCN, TC, SIGMA, SI, RI1,
RI2)

(3) 引数

引数名	実行前	実行後	次元
RCN	旧有色雑音	新有色雑音	—
TC	T (秒)	(不变)	—
SIGMA	σ	(不变)	—
SI	サンプル間隔(秒)	(不变)	—
RI1	一様乱数のための初期値	次回のCALLのための初期値	—
RI2			—

(4) 使用サブルーチン

RNORM

(5) リスト

HARP 5020 COMPILED LIST RONG

CRCNG	HARP DECK	RONG 05
	WORD LENGTH 64 BITS	RONG 10
	SUBROUTINE RCNG(RCN, TO, SIGMA, SI)	RONG 15
C****	GENERATION OF RANDOM COLORED NOISE WITH GIVEN STATISTICS	RONG 20
C	RCN = COLORED NOISE (NEWLY REPLACED)	RONG 25
C	TC = CORRELATION TIME	RONG 30
C	SIGMA = STADARD DEVIATION	RONG 35
C	SI = SAMPLING INTERVAL	RONG 40
	DIMENSION WN(2)	RONG 45
	DATA/P, Q/3.141592653590, 2.718281828459/	RONG 50
	ALPH=1.0/TO	RONG 55
	A1=DEXP(-ALPH*SI)	RONG 60
	A2=A1**2	RONG 65
	SA=SIGMA*DSQRT(1.0-A2)	RONG 70
	CALL RNORM(P, Q, 1, 0.0, SA, 2, WN)	RONG 75
	RCN=A1*RCN+WN(2)	RONG 80
	RETURN	RONG 85
	END	RONG 90

E-1 "MATVEC"

(1) 目的

2 次元配列で与えられた M 行 N 列の行列 A を 1 次元配列の行列 B に変換する（またはその逆）。

(2) 呼び方

CALL MATVEC (A , II , JJ , B , IND)

(3) 引数

引数名	実行前	実行後	次元
A	行列 A	(不変)	$M \times N$
II	行 数 M	(不変)	—
JJ	列 数 N	(不変)	—
B	(関係なし)	結果 B'	$M \times N$
IND	(関係なし)	(不変)	—

備考

- 1° $IND < 0$ (負整数) の場合に上記表に従う。
 2° $IND \geq 0$ (非負整数) とすると、1 次元配列の行列 B が 2 次元配列の行列 A に変換される。その場合も B は不变である。

(4) 使用サブルーチン

なし

(5) リスト

HARP 5020 COMPILED LIST MATVEC

CMATVEC HARP 64

```

SUBROUTINE MATVEC( A, II, JJ, B, IND)
DIMENSION A(1,1),B(1)
IF( IND) 1, 2, 2
1 II=B(1)+0.01
JJ=B(2)+0.01
DO 10 I=1,II
DO 10 J=1,JJ
IJ=I+II*(J-1)+4
10 A(I,J)=B(IJ)
GO TO 30
2 B(1)=II
B(2)=JJ
B(3)=II*JJ
B(4)=B(3)+4.0
DO 20 I=1,II
DO 20 J=1,JJ
IJ=I+II*(J-1)+4
20 B(IJ)=A(I,J)
30 RETURN
END

```

MATV 010
MATV 020
MATV 030
MATV 040
MATV 050
MATV 060
MATV 070
MATV 080
MATV 090
MATV 100
MATV 110
MATV 120
MATV 130
MATV 140
MATV 150
MATV 160
MATV 170
MATV 180
MATV 190
MATV 200
MATV 210

E-2 "LET"

(1) 目 的

1次元配列の行列の構造を指定する

(2) 呼び方

CALL LET (A, M, N)

(3) 引 数

引数名	実行前	実行後	次元
A	(関係なし)	結果 A'	M×N
M	行 数	(不变)	—
N	列 数	(不变)	—

備 考

この結果, $A(1)=M$, $A(2)=N$, $A(3)=M \times N$, $A(4)=M \times N + 4$ となり, $A(5)$ 以降は修正を受けない。

(4) 使用サブルーチン

なし

(5) リスト

HARP 5020 COMPILED LIST LET

CLET	HARP	LET 010
	WORD LENGTH 64 EITS	LET 020
	SUBROUTINE LET(A,M,N)	LET 030
	DIMENSION A(1)	LET 040
	A(1)=M	LET 050
	A(2)=N	LET 060
	A(3)=M*N	LET 070
	A(4)=M*N+4	LET 080
	RETURN	LET 090
	END	LET 100

E-3 " LOAD "

(1) 目的

1 次元配列の行列 A の (I, J) 要素を B とする (あるいはその逆)。

(2) 呼び方

CALL LOAD (A, I, J, B, IND)

(3) 引数

備考

$0 \leq IND$ (非負整数) ならば、スカラー B が A の (I, J) 要素に記憶される。

(4) 使用サブルーチン

なし

(5) リスト

引数名	実行前	実行後	次元
A	行列 A	(不变)	$M \times N$
I	I 行	(不变)	—
J	J 列	(不变)	—
B	(関係なし)	結果 B'	—
IND	負整数	(不变)	—

HARP 5020 COMPILED LIST LOAD

CLOAD	HARP DECK	LOAD0010
WORD LENGTH 64 BITS		LOAD0020
SUBROUTINE LOAD(A, I, J, B, IND)		LOAD0030
DIMENSION A(1)		LOAD0040
II=A(1)+0.01		LOAD0050
IJ=II*(J-1)+4		LOAD0060
IF(IND) 1, 2, 2		LOAD0070
2 A(IJ)=B		LOAD0080
GO TO 3		LOAD0090
1 B=A(IJ)		LOAD0100
3 RETURN		LOAD0110
END		LOAD0120

E-4 "MPRINT"

(1) 目的

1 次元配列の M 行 N 列の行列 A をプリントする。

(2) 呼び方

CALL MPRINT (A)

(3) 引数

引数名	実行前	実行後	次元
A	行列 A	(不变)	$M \times N$

(4) 使用サブルーチン

なし

(5) リスト

HARP 5020 COMPILED LIST MPRINT

CMPRINT	HARP	MPRI 010
WORD LENGTH 64 BITS		MPRI 020
SUBROUTINE MPRINT(A)		MPRI 030
DIMENSION A(1)		MPRI 040
INTEGER KJ(6),FM(4)		MPRI 050
100 FORMAT(1H1,10X,6(5X,I6,7X)/)		MPRI 180
200 FORMAT(4X,I6)		MPRI 210
FM(1)=5H(1H+,		MPRI 260
FM(3)=5HX,E15		MPRI 280
FM(4)=5H.8)		MPRI 290
II=A(1)+0.01		MPRI 060
JJ=A(2)+0.01		MPRI 070
IF (JJ.LT.6) GO TO 20		MPRI 500
C=JJ		MPRI 080
C=C/6.0+0.01		MPRI 090
L1=IDINT(C)		MPRI 100
L2=JJ-6*L1		MPRI 110
DO 1 L=1,L1		MPRI 120
J1=6*L-5		MPRI 130
J2=J1+5		MPRI 140
DO 2 K=1, 6		MPRI 150
2 KJ(K)=J1+K-1		MPRI 160
WRITE(6,100) (KJ(K),K=1,6)		MPRI 170
DO 3 I=1,II		MPRI 190
WRITE(6,200) I		MPRI 200
M=0		MPRI 220
DO 4 J=J1,J2		MPRI 230
M=M+1		MPRI 240
MM=13+18*(M-1)		MPRI 245
IJ=I+II*(J-1)+4		MPRI 250
FM(2)=IBTOD(MM)		MPRI 270
WRITE(6,FM) A(IJ)		MPRI 300
4 CONTINUE		MPRI 310
3 CONTINUE		MPRI 320
1 CONTINUE		MPRI 330
IF(L2.EQ.0) GO TO 10		MPRI 340
J1=JJ-L2+1		MPRI 350
DO 5 K=1,L2		MPRI 360
5 KJ(K)=6*L1+K		MPRI 370
WRITE(6,100) (KJ(K),K=1,L2)		MPRI 380
DO 6 I=1,II		MPRI 390
WRITE(6,200) I		MPRI 400
M=0		MPRI 405
DO 7 J=J1,JJ		MPRI 410
M=M+1		MPRI 420

(続き) HARP 5020 COMPILED LIST MPRINT

```

MM=13+18*(M-1)          MPRI 430
FM(2)=IBTOD(MM)         MPRI 440
IJ=I+II*(J-1)+4         MPRI 450
7 WRITE(6,FM) A(IJ)     MPRI 460
6 CONTINUE                MPRI 470
GO TO 10                  MPRI 510
20 CONTINUE                MPRI 520
DO 11 K=1, JJ             MPRI 530
11 KJ(K)=K                 MPRI 540
WRITE(6,100) (KJ(K), K=1, JJ) MPRI 550
DO 8 I=1, II               MPRI 560
WRITE(6,200) I             MPRI 570
M=0                         MPRI 580
DO 9 J=1, JJ               MPRI 590
M=M+1                       MPRI 600
MM=13+18*(M-1)             MPRI 610
FM(2)=IBTOD(MM)            MPRI 620
IJ=I+II*(J-1)+4            MPRI 630
9 WRITE(6,FM) A(IJ)        MPRI 640
8 CONTINUE                  MPRI 650
10 RETURN                   MPRI 480
END                         MPRI 490

```

E-5 " RKG "

(1) 目的

独立変数を x とすると n 次元ベクトル y に関する

$$\frac{dy}{dx} = f(y, x)$$

$$y(x_0) = \underline{y}$$

といふベクトル常微分方程式（すなわち連立 n 元常微分方程式）の初期値問題を解くことを目的とする。

ここでは丸め誤差の累積の自動修正という利点を持つ

Runge-Kutta-Gill 法を用いる。すなわち、

$$y_0 = \underline{y}, \quad q_{0,1} = 0$$

$$h_n = x_{n+1} - x_n$$

$$k_1 = h_n f(y_n, x_n)$$

$$\underline{r}_1 = \frac{1}{2} k_1 - q_{n,1}$$

$$\underline{s} = \underline{y}_n$$

$$y_{n,1} = \underline{y}_n + \underline{r}_1$$

$$\underline{r}'_1 = \underline{y}_{n,1} - \underline{s}$$

$$q_{n,2} = \underline{q}_{n,1} + 3\underline{r}'_1 - \frac{1}{2} k_1$$

$$k_2 = h_n f(\underline{y}_{n,1}, x_n + \frac{h_n}{2})$$

$$\underline{r}_2 = (1 - \frac{1}{\sqrt{2}})(k_2 - \underline{q}_{n,2})$$

$$\begin{aligned} \underline{s} &= \underline{y}_{n,1} \\ \underline{y}_{n,2} &= \underline{y}_{n,1} + \underline{r}_2 \\ \underline{r}'_2 &= \underline{y}_{n,2} - \underline{s} \\ \underline{q}_{n,3} &= \underline{q}_{n,2} + 3\underline{r}'_2 - (1 - \frac{1}{\sqrt{2}})k_2 \\ \underline{k}_3 &= h_n f(\underline{y}_{n,2}, x_n + \frac{h_n}{2}) \\ \underline{r}_3 &= (1 + \frac{1}{\sqrt{2}})(\underline{k}_3 - \underline{q}_{n,3}) \\ \underline{s} &= \underline{y}_{n,2} \\ \underline{y}_{n,3} &= \underline{y}_{n,2} + \underline{r}_3 \\ \underline{r}'_3 &= \underline{y}_{n,3} - \underline{s} \\ \underline{q}_{n,4} &= \underline{q}_{n,3} + 3\underline{r}'_3 - (1 + \frac{1}{\sqrt{2}})k_3 \\ \underline{k}_4 &= h_n f(\underline{y}_{n,3}, x_n + h_n) \\ \underline{r}_4 &= \frac{1}{6} (\underline{k}_4 - 2\underline{q}_{n,4}) \\ \underline{s} &= \underline{y}_{n,3} \\ \underline{y}_{n+1} &= \underline{y}_{n,3} + \underline{r}_4 \\ \underline{r}'_4 &= \underline{y}_{n+1} - \underline{s} \\ \underline{q}_{n+1,1} &= \underline{q}_{n,4} + 3\underline{r}'_4 - \frac{1}{2} \underline{k}_4 \end{aligned}$$

上式で \underline{s} が関与している部分は一見冗長のようであるが、ここに丸め誤差の累積を避けるための仕掛けが含まれている。その理論的根柢については伊理、松谷の論文^{*} および Gill の原論文^{**} を参照して頂きたい。

精しいことは上述の文献にゆずるとして、簡単に説明すれば、 \underline{x} , \underline{t} , \underline{q} は x , t に比べると小さく、一般的に n の程度の数であり、 \underline{x} を y に加える時に \underline{x} の下の方の桁が丸められるので、そのとき生じた丸め誤差の分だけ値の変化を受けた \underline{x}' を用いて \underline{q} の計算を行なう必要があるということである。

* 伊理正夫, 松谷泰行: Runge-Kutta-Gill 法について, 情報処理, Vol.8, No.2, pp.103~107, 1967.

** S.Gill : A Process for the Step-by-Step Integration of Differential Equations in an Automatic Digital Computing Machine., Proc. of the Cambridge Phil. Soc. Vol.47 (1951), pp.96~108.

備考1 上式群中で \underline{s} はベクトル表示をしているが、プログラム上では作業用の場所 S 一つでよい。

備考2 独立変数は x にしてあるが、これは時間 t であってもさしつかえない。本報告では独立変数を時間 t に取ることが多いので、プログラムでは x の代りに t を用いている。

備考3 Runge-Kutta-Gill 法の公式は上述の通りであるが、プログラム上 問題に応じて変化する部分は微分方程式の右辺 $f(y_n, x_n)$ を計算する部分である。

(2) 呼び方

HARP 5020 COMPILED LIST RKG

CRKG	HARP
WORD LENGTH 64 BITS	
SUBROUTINE RKG(YS,FS,NE,HK,T)	
DIMENSION YS(1),FS(1),Q(100)	
DATA/J/0/	
IF(J) 15,5,15	RKG 020
5 DO 10 I=1,NE	RKG 025
10 Q(I)=0.000	RKG 030
B1=1.0D0	RKG 035
B2=2.0D0	RKG 040
B3=3.0D0	RKG 045
B4=B1/B2	RKG 050
B5=DSQRT(B4)	RKG 055
B6=B1-B5	RKG 060
B7=B1+B5	
B8=6.0	
J=1	
15 CALL DAUX (YS,FS,T)	
DO 30 I=1,NE	RKG 080
AK=HK*FS(I)	RKG 085
QI=Q(I)	RKG 090

CALL RKG (YS, FS, N, HK, T)

(3) 引数

引数名	実行前	実行後	次元
YS	変数($t = t_n$)	変数($t = t_{n+1}$)	N
FS			N
N	変数の数	(不变)	—
HK	積分刻み巾	(不变)	—
T	独立変数(時間 t_n)	t_{n+1}	—

備考4 このRKGサブルーチンの変数の数の制限は一応100としてあるが、プログラム中の作業用配列の次元を100以上に変更すれば変数の制限を拡げることができる。

(4) 使用サブルーチン

DAUX (YS, FS, T)

備考5 サブルーチンDAUXは微分方程式の右辺を計算するためのもので、与えられた方程式に応じて各自が作らなければならない。

DAUXの引数で、YS, Tはそれぞれ変数 y と独立変数 x （このプログラムでは時間 t ）であり、FSは変数のそれぞれに対応する方程式の右辺の値を格納するもので、次元はYSと同じくNである。

(5) リスト

(続き) HARP 5020 COMPILED LIST RKG

RY=B4*AK-QI	RKG	095
SS=YS(I)	RKGM	1
YS(I)=SS+RY	RKGM	2
RY=YS(I)-SS	RKGM	3
Q(I)=QI+B3*RY-34*AK	RKG	100
30 CONTINUE	RKG	110
T=T+B4*HK	RKG	115
CALL DAUX (YS, FS, T)		
DO 40 I=1, NE	RKG	130
AK=HK*FS(I)	RKG	135
QI=Q(I)	RKG	140
RY=B6*(AK-QI)	RKG	145
SS=YS(I)	RKGM	1
YS(I)=SS+RY	RKGM	2
RY=YS(I)-SS	RKGM	3
Q(I)=QI+B3*RY-36*AK	RKG	150
40 CONTINUE	RKG	160
CALL DAUX (YS, FS, T)		
DO 50 I=1, NE	RKG	170
AK=HK*FS(I)	RKG	175
QI=Q(I)	RKG	180
RY=B7*(AK-QI)	RKG	185
SS=YS(I)	RKGM	1
YS(I)=SS+RY	RKGM	2
RY=YS(I)-SS	RKGM	3
Q(I)=QI+B3*RY-B7*AK	RKG	190
50 CONTINUE	RKG	200
T=T+B4*HK	RKG	205
CALL DAUX (YS, FS, T)		
DO 60 I=1, NE	RKG	220
AK=HK*FS(I)	RKG	225
QI=Q(I)	RKG	230
RY=(AK-B2*QI)/B8	RKG	235
SS=YS(I)	RKGM	1
YS(I)=SS+RY	RKGM	2
RY=YS(I)-SS	RKGM	3
Q(I)=QI+B3*RY-B4*AK	RKG	240
60 CONTINUE	RKG	250
IF ACCUMULATOR OVERFLOW 100, 200	RKGN	
100 WRITE(6, 900)	RKGN	
900 FORMAT(1H0, 30H(**** YRKG OVERFLOW *****))	RKGN	
STOP	RKGN	
200 RETURN	RKGN	
END	RKGN	

附録B 応用プログラム

ここでは、誘導制御系の設計と評価のための標準的な応用プログラムを解説する。ここで述べるシミュレーションプログラムは大別してふたつの部分から構成されており、その概要は次のようである。

DATA GENERATOR

GNR, GDTおよびGRTの計算、不規則雑音に汚されたIMUおよび電波追跡データのシミュレーション。

RECONSTRUCTOR

機能的にさらに次の3部分に分割する。

(1) INPUT PROCESSOR

DATA GENERATORによってシミュレートされたIMUデータ、トラッキングデータおよびGRT等は通常数本の磁テープに格納されている。これら各種データに必要なPRECROCESSINGを施し、次段階のLINEAR ESTIMATORへの入力のデータ構造として適切なる再編集を行う。

(2) LINEAR ESTIMATOR

カルマンフィルターに基づき、軌道再編成および各種誘導パラメータの推定を行う。

(3) OUTPUT PROCESSOR

主として推定結果および観測残差の図式化を行う。

ここでは紙数の都合で軌道、IMUデータおよびトラッキングデータのシミュレーションプログラム、そしてカルマンフィルターによって軌道および誘導パラメータを推定するプログラムを紹介することにし、GRTおよび遷移行列を計算するプログラムは省略している。本論にその概要を説明しているので使用者は容易にプログラム化できるが必要ならば著者らに照会されたい。

1. 軌道、IMUデータおよびトラッキングデータの発生プログラム

メインプログラム

NE : 状態ベクトルの次元(19)

HH : 刻み巾(sec)

TF : 積分時間(sec)

C1 : 発射点高度(m)

C2 : 発射点経度(deg)

C3 : 発射点緯度(deg)

C4 : 方位角(deg)

C5 : 上下角(deg)

RI : 位置ベクトル(I座標)

VI : 速度ベクトル(I座標)

CIB : 方向余弦行列(I座標)

X(1) : 高度(m)

X(2) : 速度(m/sec)

X(3) : 径路角(rad)

X(4) : レンジ角(rad)

X(5)~X(13) : CIB

X(14)~X(16) : RI

X(17)~X(19) : VI

TIME : 飛行時間(sec)

R1 : レンジ観測におけるランダムノイズの1σ値

R2 : レンジ観測におけるスケールファクタ

R3 : レンジ観測におけるバイアス(m)

E1 : 上下角観測におけるランダムノイズの1σ値(rad)

E2 : 上下角観測におけるスケールファクタ

E3 : 上下角観測におけるバイアス(rad)

A1 : 方位角観測におけるランダムノイズの1σ値(rad)

A2 : 方位角観測におけるスケールファクタ

A3 : 方位角観測におけるバイアス(rad)

H1 : ステーション高度(m)

H2 : ステーション経度(deg)

H3 : ステーション緯度(deg)

T1 : レンジ観測におけるランダムノイズのコリレーションタイム(sec)

T2 : 上下角観測におけるランダムノイズのコリレーションタイム(sec)

T3 : 方位角観測におけるランダムノイズのコリレーションタイム(sec)

SI : サンプリング間隔(sec)

INDEX= 1:ノイズフリー

2:白色雑音

3:有色雑音(1次マルコフ過程)

CTE : 座標変換行列

RAM : レンジ観測値(m)

ELM : 上下角観測値(rad)

AZM : 方位角観測値(rad)

A : 推力加速度ベクトル(m/sec²)

AM : 加速度計出力ベクトル(m/sec²)

W : 回転角速度ベクトル(rad/sec)

WM : ジャイロ出力ベクトル(rad/sec)

備考1. このプログラムはSS-3 ウィークルをモデルにして、その推力飛翔軌道とランダムノイズに乱されたIMUおよびレーダートラッキングデータを発生するものである。本プログラムでひとつのステーションにおけるトラッキングデータをシミュレートできるが、サブルーチン“TTE”および“NRTD”を繰り返し使用することによって任意に与えられたステーションをシミュレートできる。

備考2. サブルーチン“IMU”において慣性機器の各種ハードウェアの誤差パラメータは適当に規格化した後DATA／…／……／という形式で与えている。パラメータの規準値は APOLLO IMUに拠っている。

備考3. 本プログラムで発生した軌道、IMUデータお

よびトラッキングデータは磁気テープに格納した後GRT、遷移行列等のオフライン計算を経て軌道を再構成し、誘導誤差を分離するために後述するプログラム“RECONSTRUCTOR”にかけられる。

備考4. メインプログラムのRUNICは次のサブプログラムが必要である。

RADAR	: $\rho, \dot{\rho}, E, A$ の真値の計算
NRTD	: レーダー観測データの発生
IMU	: IMU出力の計算
THRUST	: 推力制御系の模擬
DAUX	: RKGにおける f の計算
INITIA	: 初期条件の計算
GRAV	: 重力加速度の計算

HARP 5020 COMPILED LIST

WORD LENGTH 64 BITS		
C		TRAJ 040
C	SPACE TRAJECTORY, NOISY IMU AND RADAR TRACKING	TRAJ 045
	DATA SIMULATION	TRAJ 050
C	THIS PROGRAM NEEDS THE FOLLOWING SUBROUTINES:	TRAJ 055
	INITIA, VNORM, TTE,	
C	NRTD, RKG, DAUX, RNORM, RMAT, GRAV, THRUST, ATTITU, IMU	TRAJ 056
C	DIMENSION RI(7), VI(7), CIB(13), X(19), F(19), C(3,3)	TRAJ 060
	DIMENSION CTE(13), RTE(7)	TRAJ 070
	COMMON/IMU/A(3), W(3), AM(3), WM(3), D(12,100)	TRAJ 075
10	FORMAT(6E10.3)	TRAJ 080
20	FORMAT(I10)	TRAJ 100
4	FORMAT(1H0, 5X, 17HFLIGHT TIME , 17HSLANT RANGE	TRAJ 105
	, 17HVELOCIT	TRAJ 310
1Y	, 17HPATH ANGLE , 17HRANGE ANGLE	TRAJ 320
6	FORMAT(5X, F10.2, 7X, 4(E15.8, 2X)/)	TRAJ 340
8	FORMAT(10X, 8HPOSITION, 12X, 8HVELOCITY, 22X,	TRAJ 400
	8HATTITUDE)	
9	FORMAT(5X, 5(E15.8, 5X))	TRAJ 420
30	FORMAT(5X, 10HRANGE , E15.8, 10HELEVATION, E15.8, TRAJ 425	
	10HAZIMUTH ,	
1	E15.8,)	TRAJ 426
	READ(5, 20) NE	TRAJ 106
	READ(5, 20) INDEX	TRAJ 107
	READ(5, 10) HH, TF	TRAJ 090
	READ(5, 10) R1, R2, R3, E1, E2, E3	TRAJ 111
	READ(5, 10) A1, A2, A3, T1, T2, T3	TRAJ 112
	READ(5, 10) H1, H2, H3	TRAJ 113
	READ(5, 10) C1, C2, C3, C4, C5	TRAJ 110
	CALL INITIA(RI, VI, CIB, C1, C2, C3, C4, C5)	TRAJ 120
	DO 1 I=1, 3	TRAJ 130
	X(I+13)=RI(I+4)	TRAJ 140
	X(I+16)=VI(I+4)	TRAJ 150
	DO 5 J=1, 3	TRAJ 160
	I J=I+3*(J-1)+4	TRAJ 170

(続き) HARP 5020 COMPILED LIST

```

5 X( IJ )=CIB( IJ )                                TRAJ 180
1 CONTINUE                                         TRAJ 190
CALL VNORM(X( 1 ), RI)                           TRAJ 200
CALL VNORM(X( 2 ), VI)                           TRAJ 210
X( 3 )=0 . 0                                     TRAJ 220
X( 4 )=0 . 0                                     TRAJ 230
J=0                                                 TRAJ 240
S I=1                                              TRAJ 245
999 J=J+1                                         TRAJ 250
TIME=J-1                                         TRAJ 260
TIME=HH*TIME                                     TRAJ 270
JJ=MOD(J, 100)                                    TRAJ 280
IF(JJ-1) 2, 3, 2                                 TRAJ 290
3 WRITE( 6, 4 )                                   TRAJ 300
WRITE( 6, 6 ) TIME, (X(I), I=1, 4 )             TRAJ 330
DO 7 I=1, 3                                     TRAJ 350
DO 7 K=1, 3                                     TRAJ 360
IK=I+3*(K-1)+4                                 TRAJ 370
7 C( I, K )=X( IK )                            TRAJ 380
WRITE( 6, 8 )                                     TRAJ 390
WRITE( 6, 9 ) (X( I+13 ), X( I+16 ), (C( I, J )
      I=1, 3 ) , J=1, 3 ), TRAJ 410
      CALL TTE(CTE, RTE, G1, G2, G1F, G2F, H1, H2, H3)      TRAJ 421
      CALL NRTD(RAM, ELM, AZM, TIME, OTE, RTE, X(13), X(16), R1, TRAJ 422
      R2, R3, E1, E2, E3
1, A1, A2, A3, T1, T2, T3, SI, INDEX)          TRAJ 423
      WRITE( 6, 30 ) RAM, ELM, AZM                 TRAJ 424
2 CONTINUE                                         TRAJ 430
CALL EKG(X, F, NE, HH, TIME)                   TRAJ 440
IF(TIME-TE) 999, 999, 99                         TRAJ 450
99 STOP                                           TRAJ 460
END                                              TRAJ 470

```

HARP 5020 COMPILED LIST NRTD

CNRTD	HARP	NRTD 010
	WORD LENGTH 64 BITS	NRTD 020
	SUBROUTINE NRTD(RAM, ELM, AZM, TIME, CTE, RTE, RI,	NRTD 030
	VI, SR, SFR, BR, SE, SFE,	
1	BE, SA, SFA, BA, TCR, TCE, TCA, SI, INDEX)	NRTD 040
	DIMENSION CTE(1), RTE(1), RI(1), VI(1), WN(2)	NRTD 050
	DATA/P, Q/3.141592653590, 2.718281828459/	NRTD 060
	DATA/J/0/	NRTD 065
	CALL RADAR(RA, EL, AZ, TIME, CTE, RI, VI)	NRTD 070
	GO TO (1, 2, 3), INDEX	NRTD 080
1	RN=0.0	NRTD 090
	EN=0.0	NRTD 100
	AN=0.0	NRTD 110
	GO TO 10	NRTD 120
2	CALL RNORM(P, Q, 1, 0.0, SR, 2, WN)	NRTD 130
	RN=WN(2)	NRTD 140
	CALL RNORM(P, Q, 1, 0.0, SE, 2, WN)	NRTD 150
	EN=WN(2)	NRTD 160
	CALL RNORM(P, Q, 1, 0.0, SA, 2, WN)	NRTD 170
	AN=WN(2)	NRTD 180
	GO TO 10	NRTD 190
3	IF(J) 100, 200, 100	NRTD 200
200	CALL RNORM(P, Q, 1, 0.0, SR, 2, WN)	NRTD 210
	RN=WN(2)	NRTD 220
	CALL RNORM(P, Q, 1, 0.0, SE, 2, WN)	NRTD 230
	EN=WN(2)	NRTD 240
	CALL RNORM(P, Q, 1, 0.0, SA, 2, WN)	NRTD 250
	AN=WN(2)	NRTD 260
	J=1	NRTD 270
100	CALL RCNG(RN, TCR, SR, SI)	NRTD 280
	CALL RCNG(EN, TCE, SE, SI)	NRTD 290
	CALL RCNG(AN, TCA, SA, SI)	NRTD 300
10	RAM=RA*(1.0+SFR)+BR+RN	NRTD 310
	ELM=EL*(1.0+SFE)+BE+EN	NRTD 320
	AZM=AZ*(1.0+SFA)+BA+AN	NRTD 330
	RETURN	NRTD 340
	END	NRTD 350

HARP 5020 COMPILED LIST RADAR

CRADAR	HARP	RADA 010
	WORD LENGTH 64 BITS	RADA 020
	SUBROUTINE RADAR(RA, EL, AZ, TIME, CTE, RI, VI)	RADA 030
	DIMENSION CTE(1), RI(1), VI(1)	RADA 040
	DIMENSION CEI(13), RE(7), RT(7)	RADA 050
	DATA/P, EP, EQ/3.141592653590, 1.0, 1.0E-8/	RADA 060
	DATA/RMAX, EMIN/5.0, 0.0872664626/	RADA 070
	CALL TEI(CEI, TIME)	RADA 080
	CALL MULT(RE, CEI, RI)	RADA 090
	CALL ADD(RE, 1.0, RE, -1.0, RTE)	RADA 100
	CALL MULT(RT, CTE, RE)	RADA 110
	CALL VNORM(RA, RT)	RADA 120
	R=RT(5)**2+RT(6)**2	RADA 130
	SNE=RT(7)/RA	RADA 140
	Q=DABS(SNE-1.0)	RADA 150
	IF(Q-EQ) 5, 5, 6	RADA 160
5	EL=0.5*P	RADA 170
	GO TO 7	RADA 180
6	CSE=DSQRT(1.0-SNE**2)	RADA 190
	EL=DATAN(SNE/CSE)	RADA 200
7	IF(RT(6)-EP) 1, 2, 2	RADA 210
2	AZ=DATAN(RT(5)/RT(6))	RADA 220
	GO TO 10	RADA 230
1	IF(RT(6)+EP) 3, 3, 4	RADA 240
3	AZ=DATAN(RT(5)/RT(6))+DSIGN(P, RT(5))	RADA 250
	GO TO 10	RADA 260
4	AZ=DSIGN(0.5*P, RT(5))	RADA 270
10	CONTINUE	RADA 280
	IF(R=RMAX) 51, 61, 61	RADA 290
51	WRITE(6, 70)	RADA 320
70	FORMAT(2X, 45HAZIMUTH VALUE IS NOT AVAILABLE (WARNING ONLY))	RADA 330
61	IF(EL-EMIN) 50, 60, 60	RADA 340
50	WRITE(6, 55)	RADA 360
55	FORMAT(2X, 47HELEVATION VALUE IS NOT AVAILABLE (WARNING ONLY))	RADA 370
60	RETURN	RADA 380
	END	RADA 390

HARP 5020 COMPILED LIST IMU

CIMU	HARP DECK	IMU 010
	WORD LENGTH 64 BITS	IMU 020
	SUBROUTINE IMU(AM,WM,A,W)	IMU 030
C	IMU I/O ERROR SIMULATION PROGRAM	
C	PROGRAMED BY M.MURATA, NAL, OCTOBER 1, 1973	
	DIMENSION AM(1),WM(1),A(1),W(1)	IMU 040
	DIMENSION ASF(3,3),ASS(3,3,3),AB(3),ARS(3),	IMU 050
	GSF(3,3),GB(3),GSS(3,3,3),DI(3),DS(3),ASSD	
1	(3,3,3),GRS(3),WN(4),F(3,3)	IMU 060
	DATA/A0,A1,A2/9.8E-4,1.0E-6,1.0E-6/	IMU 070
	DATA/B0,B1,B2,G1,G2/0.727E-7,1.0E-9,0E-9,	IMU 080
	1.0E-9,7.42E-9,7.57E-10/	
	DATA/RN1,RN2/3.141592653590,2.718281828459/	IMU 090
	DATA/GSF/100.0,10.0,10.0,10.0,100.0,10.0,	IMU 100
	10.0,10.0,100.0/	
	DATA/GSS/10.0,1.0,1.0,1.0,10.0,1.0,1.0,1.0,	IMU 110
	10.0,10.0,1.0,1.0,	
1	1.0,10.0,1.0,1.0,1.0,10.0,10.0,1.0,1.0,1.0,	IMU 120
2	10.0,1.0,1.0,1.0,10.0/	IMU 130
	DATA/GB/5.0,0.5.0/	IMU 140
	DATA/DI,DS/15.0,15.0,15.0,15.0,15.0,15.0/	IMU 150
	DATA/ASSD/2.0,0.5,0.5,0.5,2.0,0.5,0.5,0.5,	IMU 160
1	2.0,0.5,0.5,0.5,2.0,0.5,0.5,0.5,0.0,2.0,	IMU 170
	0.5,0.5,0.5,0.0/	
	DATA/JJ/1/	IMU 180
	DATA/ASF/100.0,50.0,50.0,50.0,100.0,50.0,	IMU 190
	50.0,50.0,100.0/	
	DATA/ASS/10.0,1.0,1.0,1.0,10.0,1.0,1.0,1.0,	IMU 200
	10.0,10.0,1.0,1.0,	
1	1.0,10.0,1.0,1.0,1.0,10.0,10.0,1.0,1.0,1.0,	IMU 210
2	10.0,1.0,1.0,1.0,10.0/	IMU 220
	DATA/AB/2.0,2.0,2.0/	IMU 230
	DO 1 I=1,3	IMU 240
	ARS(I)=A0	IMU 250
	GRS(I)=B0	IMU 260
1	CONTINUE	IMU 270
	DO 2 J=1,3	IMU 280
	CALL RNORM(RN1,RN2,1,0.0,ARS(J),2,WN)	IMU 290
	AM(J)=A(J)+A0*AB(J)+WN(2)	IMU 300
	CALL RNORM(RN1,RN2,1,0.0,GRS(J),2,WN)	IMU 310
	WM(J)=W(J)+B0*GB(J)+WN(2)	IMU 320
	DO 3 L=1,3	IMU 330
	AM(J)=AM(J)+A1*ASF(J,L)*A(L)	IMU 340
	WM(J)=WM(J)+B1*GSF(J,L)*W(L)	IMU 350
3	CONTINUE	IMU 360
	DO 4 M=1,3	IMU 370
	DO 5 N=1,3	IMU 380
	AM(J)=AM(J)+A2*ASS(M,N,J)*A(M)*A(N)	IMU 390
5	WM(J)=WM(J)+B2*GSS(M,N,J)*W(M)*W(N)	IMU 400
4	CONTINUE	IMU 410
2	CONTINUE	IMU 420
	F(1,1)=A(1)	IMU 430
	F(2,1)=-A(2)	IMU 440
	F(1,2)=A(2)	IMU 450
	F(2,2)=A(1)	IMU 460

HARP 5020 COMPILED LIST IMU

	F(1 , 3)=A(3)	IMU	470
	F(2 , 3)=-A(1)	IMU	480
	F(3 , 1)=A(3)	IMU	490
	F(3 , 2)=A(3)	IMU	500
	F(3 , 3)=A(2)	IMU	510
	DO 6 J=1 , 3	IMU	520
	WM(J)=WM(J)+G1*(DI(J)*F(1 , J)+DS(J)*F(2 , J))	IMU	530
	DO 7 M=1 , 3	IMU	540
	DO 8 N=1 , 3	IMU	550
8	WM(J)=WM(J)+G2*ASSD(M,N,J)*F(M,J)*F(N,J)	IMU	560
7	CONTINUE	IMU	570
6	CONTINUE	IMU	580
	IF(JJ-1) 10, 9, 10	IMU	590
9	CONTINUE	IMU	600
	PRINT 20	IMU	610
20	FORMAT(10X,39H***** LIST OF IMU HARDWARE ERRORS *****)	IMU	620
	PRINT 30,GSF,GSS,GB,DI,DS,ASSD,GRS	IMU	630
30	FORMAT(20X,3(E15.8,5X))	IMU	640
	PRINT 40,ASF,ASS,AB,ARS	IMU	650
40	FORMAT(20X,3(E15.8,5X))	IMU	660
10	JJ=JJ+1	IMU	670
	RETURN	IMU	680
	END	IMU	690

HARP 5020 COMPILED LIST THRUST

C	CTHRUST	HARP	THRU	010
	WORD LENGTH 64 BITS		THRU	020
	SUBROUTINE THRUST(AT,AD,TAB)		THRU	030
	DIMENSION AT(1),AD(1),SU(4),TC(4),WN(4),A(4)	THRU	040	
	DATA/J,R,S/0,3.141592653590,2.718281828459/	THRU	050	
	DATA/SU,TC/0.002,0.002,0.002,0.0025,200.0,200.0,200.0,200.0/	THRU	060	
C			THRU	070
C	THRUST CONTROL FLUCTUATION BY RANDOM DRIFTS		THRU	080
C			THRU	090
	IF(J) 1, 2, 1		THRU	100
2	DO 3 I=1, 4		THRU	110
	CALL RNORM(R,S,1,0,0,SU(I),2,WN)		THRU	120
	A(I)=WN(2)		THRU	130
3	CONTINUE		THRU	140
	J=1		THRU	150
1	DO 4 I=1, 4		THRU	160
4	CALL RCNG(A(I),TC(I),SU(I),0.0025)		THRU	170
	AT(1)=TAB*(1.0+A(4))*(AD(1)+A(2)*AD(3)-A(3)*AD(2))		THRU	180
	AT(2)=TAB*(1.0+A(4))*(AD(2)+A(3)*AD(1)-A(1)*AD(3))		THRU	190
	AT(3)=TAB*(1.0+A(4))*(AD(3)+A(1)*AD(2)-A(2)*AD(1))		THRU	200
	RETURN		THRU	210
	END		THRU	220

HARP 5020 COMPILED LIST DAUX

CDAUX	HARP DECK	DAUX 000
	WORD LENGTH 64 BITS	DAUX 010
	SUBROUTINE DAUX(YS,FS,T)	DAUX 020
	DOUBLE PRECISION MU	DAUX 030
	DIMENSION YS(1),FS(1)	DAUX 040
	DIMENSION U(6),FM(6),THETA(16),TA(16),TS(6)	DAUX 050
	DIMENSION G(7),R(7),B(13),UC(7)	DAUX 060
	COMMON/IMJ/A(3),W(3),AM(3),WM(3),D(12, 100)	DAUX 070
	DATA/G(1),G(2),G(3),G(4)/3.0, 1.0, 3.0, 7.0/	DAUX 080
	DATA/U,FM/284.999,0.0,284.996,0.0,290.0,0.0,173172.0,38293.0,	DAUX 090
1	27672.0,6817.0,4754.0,1414.0/	DAUX 100
	DATA/TA/0.0,15.0,143.80,162.00,192.00,222.00,252.00,282.00,312.00,	DAUX 110
1	342.00,352.30,372.30,392.30,412.30,412.50,1000.00/	DAUX 120
	DATA/THETA/90.000,90.000,21.005,18.637,14.612,10.499,6.361,2.279,	DAUX 130
1	-1.649,-5.298,-6.476,-8.685,-10.785,-12.780,0.000,0.000/	DAUX 140
	DATA/MU, DR, G0/0.0398603068E+16,57.295779578,9.8/	DAUX 150
	DATA/TS/0.0,143.870,144.000,342.120,343.0,536.72/	DAUX 160
	DATA/TBO/412.0/	DAUX 170
	DATA/JJ, LJ/1,0/	DAUX 180
	IF(T-TBO) 1000,20,20	DAUX 190
1000	CONTINUE	DAUX 200
	DO 1 I=1,5	DAUX 210
	II=I+1	DAUX 220
	S=(T-TS(I))*(T-TS(II))	DAUX 230
	IF(S) 2,2,1	DAUX 240
1	CONTINUE	DAUX 250
2	CONTINUE	DAUX 260
	DM=(FM(I)-FM(II))/(TS(I)-TS(II))	DAUX 270
	GO TO 21	DAUX 280
20	DM=0.0	DAUX 290
	I=5	DAUX 300
	FMM=FMM	DAUX 310
	GO TO 30	DAUX 320
21	CONTINE	DAUX 330
	FMM=FM(I)+DM*(T-TS(I))	DAUX 340
30	CONTINE	DAUX 350
	TAB=-U(I)*GO*DM/FMM	DAUX 360
	DO 3 I=1,15	DAUX 370
	II=I+1	DAUX 380
	S=(T-TA(I))*(T-TA(II))	DAUX 390
	IF(S) 4,4,3	DAUX 400
3	CONTINUE	DAUX 410
4	CONT INUE	DAUX 420
	DTH=(THETA(II)-THETA(I))/(TA(II)-TA(I))	DAUX 430
	SK=THETA(I)*DTH*(T-TA(I))	DAUX 440
	TH=SK/DR	DAUX 450
	ALPH=TH-YS(3)	DAUX 460
	CAL=DCOS(ALPH)	DAUX 470
	SAL=DSIN(ALPH)	DAUX 480
	CGA=DCOS(YS(3))	DAUX 490
	SGA=DSIN(YS(3))	DAUX 500
	FS(1)=YS(2)*SGA	DAUX 510
	FS(2)=TAB*CAL-MU*SGA/YS(1)/YS(1)	DAUX 520
	FS(3)=TAB*SAL/YS(2)-MU*CGA/YS(2)/YS(1)/YS(1)+YS(2)	DAUX 530
	*CGA/YS(1)	

(続き) HARP 5020 COMPILED LIST DAUX

```

FS(4)=YS(2)*CGA/YS(1) DAUX 540
WD=DTH/DR-FS(4) DAUX 550
CALL ATTITU(W,WD) DAUX 560
DO 10 I=1,3 DAUX 570
10 G(I+4)=W(I) DAUX 580
CALL RMAT(B,G) DAUX 590
DO 6 I=1,3 DAUX 600
DO 6 J=1,3 DAUX 610
IJ=I+3*(J-1) DAUX 620
FS(IJ+4)=0.0 DAUX 630
DO 7 K=1,3 DAUX 640
IK=I+3*(K-1) DAUX 650
KJ=K+3*(J-1)+4 DAUX 660
7 FS(IJ+4)=FS(IJ+4)+YS(IK+4)*B(KJ) DAUX 670
6 CONTINUE DAUX 680
DO 5 I=1,3 DAUX 690
FS(I+13)=YS(I+16) DAUX 700
5 R(I)=YS(I+13) DAUX 710
CALL GRAVIT(G,R) DAUX 720
C DAUX 730
C UC = THRUST CONTROL VECTOR DAUX 740
C DAUX 750
UC(1)=0.0 DAUX 760
UC(2)=0.0 DAUX 770
UC(3)=1.0 DAUX 780
CALL THRUST(A,UC,TAB) DAUX 790
DO 8 I=1,3 DAUX 800
FS(I+16)=G(I+4) DAUX 810
DO 9 J=1,3 DAUX 820
IJ=I+3*(J-1) DAUX 830
9 FS(I+16)=FS(I+16)+YS(IJ+4)*A(J) DAUX 840
8 CONTINUE DAUX 850
KK=MOD(JJ,4) DAUX 860
IF(KK-1) 100,200,100 DAUX 870
200 CALL IMU(AM,WM,A,W) DAUX 880
LJ=LJ+1 DAUX 890
DO 300 L=1,3 DAUX 900
D(L,LJ)=AM(L) DAUX 910
D(L+3,LJ)=A(L) DAUX 920
D(L+6,LJ)=WM(L) DAUX 930
300 D(L+9,LJ)=W(L) DAUX 940
IF(LJ-100) 55,60,55 DAUX 950
60 LJ=0 DAUX 960
PRINT 34 DAUX 970
34 FORMAT(10X,20HACCEL MEASURED ,20HACCEL ACTUAL , DAUX 980
1 20HANGUL MEASURED ,20HANGUL ACTUAL ) DAUX 990
PRINT 33,((D(L,1),D(L+3,1),D(L+6,1),D(L+9,1)),L=1,3) DAUX 000
33 FORMAT(1H ,10X,4(E15.8,5X)) DAUX 010
ALPH=DR*ALPH DAUX 020
WRITE(2) D,YS,FS,TAB,FMM,WD,DTH,SK,ALPH DAUX 030
55 CONTINUE DAUX 040
100 JJ=JJ+1 DAUX 050
RETURN DAUX 060
END DAUX 070

```

HARP 5020 COMPILED LIST INITIAL

CINITIAL HARP	INIT 010
WORD LENGTH 64 BITS	INIT 020
SUBROUTINE INITIA(R,V,C,LH,LON,GLA,A,E)	INIT 030
DIMENSION R(1),V(1),C(1)	INIT 040
DIMENSION D(13),H(13)	INIT 050
DOUBLE PRECISION LH, LON	INIT 060
DATA/RE,EC,OMEGA,DR/0.0637816490E8,0.003352329,7.292115E-	INIT 070
15,57.295779578/	INIT 080
LON=LON/DR	INIT 090
GLA=GLA/DR	INIT 100
TNG=DSIN(GLA)/OCOS(GLA)	INIT 110
X=1.0-EC**2	INIT 120
DLA=DATAN2(TNG,X)	INIT 130
SD=DSIN(DLA)	INIT 140
CD=DCOS(DLA)	INIT 150
SL=DSIN(LON)	INIT 160
CL=DCOS(LON)	INIT 170
B=1.0-(EC*SD)**2	INIT 180
B=DSQRT(B)	INIT 190
G1=LH+RE/B	INIT 200
G2=LH+RE*X/B	INIT 210
CALL LET(R,3,1)	INIT 220
CALL LET(V,3,1)	INIT 230
CALL LET(C,3,3)	INIT 240
R(5)=G1*CD*CL	INIT 250
R(6)=G1*CD*SL	INIT 260
R(7)=G2*SD	INIT 270
V(5)=-OMEGA*R(6)	INIT 280
V(6)=OMEGA*R(5)	INIT 290
V(7)=0.0	INIT 300
A=A/DR	INIT 310
E=E/DR	INIT 320
CA=DCOS(A)	INIT 330
SA=DSIN(A)	INIT 340
SE=DSIN(E)	INIT 350
CE=DCOS(E)	INIT 360
D(5)=CA	INIT 370
D(6)=SA*SE	INIT 380
D(7)=CE*SA	INIT 390
D(8)=-SA	INIT 400
D(9)=SE*CA	INIT 410
D(10)=CE*CA	INIT 420
D(11)=0.0	INIT 430
D(12)=-CE	INIT 440
D(13)=SE	INIT 450
CALL LET(H,3,3)	INIT 460
CALL SET(H)	INIT 470
SF=DSIN(DLA)	INIT 480
CF=DCOS(DLA)	INIT 490
H(8)=1.0	INIT 500
H(6)=-SF	INIT 510
H(12)=CF	INIT 520
H(7)=CF	INIT 530
H(13)=SF	INIT 540
CALL LET(D,3,3)	INIT 550

(続き) HARP 5020 COMPILED LIST INITIAL

CALL MULT(C,D,H)	INIT 560
CALL TRANSP(D,C)	INIT 570
CALL MAKE(C,D)	INIT 580
PRINT 10	INIT 590
10 FORMAT(5X,38HINITIAL VALUES IN INERTIAL COORDINATE)	INIT 600
PRINT 20	INIT 610
20 FORMAT(10X,15HPOSITION VECTOR,/)	INIT 620
CALL MPRINT(R)	INIT 630
PRINT 30	INIT 640
30 FORMAT(10X,15HVELOCITY VECTOR,/)	INIT 650
CALL MPRINT(V)	INIT 660
PRINT 40	INIT 670
40 FORMAT(10X,16HDIRECTION MATRIX,/)	INIT 680
CALL MPRINT(C)	INIT 690
RETURN	INIT 700
END	INIT 710

HARP 5020 COMPILED LIST GRAVITY

CGRAVITY HARP	GRAV 110
SUBROUTINE GRAN(G,R)	GRAV 120
DIMENSION G(1),R(1),U(3),B(3)	GRAV 130
DOUBLE PRECISION MU,J2	GRAV 150
DATA/MU,J2,A/398606.4E9,1082.32E-6,6371043.0/	GRAV 140
CALL MAKE(G,R)	GRAV 160
RA2=R(5)**2+R(6)**2+R(7)**2	GRAV 170
RA1=DSQRT(RA2)	GRAV 180
DO 1 J=1,3	GRAV 190
1 U(J)=R(J+4)/RA1	GRAV 200
C1=(A/RA1)**2	GRAV 210
C2=-MU/RA2	GRAV 220
B(1)=1.0+1.5*J2*C1*(1.0-5.0*U(3)**2)	GRAV 230
B(2)=B(1)	GRAV 240
B(3)=1.0+1.5*J2*C1*(3.0-5.0*U(3)**2)	GRAV 250
DO 2 J=1,3	GRAV 260
2 G(J+4)=C2*B(J)*U(J)	GRAV 270
RETURN	GRAV 280
END	GRAV 290

2. カルマンフィルターによる軌道および誘導パラメータの推定プログラム

メインプログラムに入る前に以下のオフライン計算が必要である。

(1) 各ステーションのトラッキングデータはカルマンフィルターチューンへの入力として適切なデータ構造に変換されなければならない。即ちメインプログラムの

READ(4) T, YM, YMM, HXX, HBB, DY
において、GRTに関する観測残差ベクトル $DY(I, J)$ と観測感度行列 $HXX(M, J), HBB(N, J)$ が磁気テープに格納されなければならない。ここで

J : 各ステーションに ASSIGNされた番号

T : 観測時間

$YM(I, J)$: 観測値

$YMM(I, J)$: GRTに関する観測規準値

$DY(I, J)$: $YM(I, J) - YMM(I, J)$

$HXX(M, J)$: H_X

$HBB(N, J)$: H_B

(2) カルマンサイクル間の遷移行列が磁気テープに格納されなければならない。即ちメインプログラムの

READ(2) XJ, YJ, QJ

において

$$XJ : \Phi_{11}(t_{j+1}, t_j) \quad (76) \text{式}$$

$$YJ : \Phi_{12}(t_{j+1}, t_j) \quad (76) \text{式}$$

$$QJ : S(t_j) \quad (82) \text{式}$$

が計算されなければならない。

メインプログラム

NN : 飛翔体の位置・速度および姿勢を規定するベクトルの次元。STABLE PLATFORM 方式の場合, $NN = 6$, STRAPDOWN 方式の場合 $NN = 9$ 。

NA : IMU ハードウェアの系統的誤差ベクトルの次元。

NBK : K 番目のステーションにおける系統的観測誤差ベクトルの次元 ($K = 1, 2$)。

NMK : K 番目のステーションにおける観測ベクトルの次元。

JF : 計算終了時のステップ数

$JB(K)$: K 番目のステーションの観測開始時のステップ数

PX, PA, PB : それぞれ飛翔体の状態ベクトル, IMU ハードウェア誤差ベクトル, およびステーション誤差ベクトルの初期推定誤差の 1σ 値。

RS : 観測ランダムノイズの 1σ 値。

備考 1. メインプログラムの RUN には次のサブプログラムが必要である。

$PRED$: カルマンサイクル間の予測値を計算

$KALFIL$: カルマンフィルターにより観測データを加工処理する。

HARP 5020 COMPILED LIST

```

C EST 0000
C TRAJECTORY RECONSTRUCTION AND GUIDANCE ERROR ANALYSIS PROGRAMEST 0010
C BY CONVENTIONAL( OPTIMAL ) KALMAN FILTERING METHOD EST 0020
C EST 0030
C WORD LENGTH 64 BITS EST 0040
C DRUM DIMENSION D( 10000) EST 0050
C DIMENSION HXX( 31, 2 ),HBB( 25, 2 ) EST 0060
C DIMENSION DBB( 260 ),DAB( 1300 ),DXB( 150 ),DB( 20 ) EST 0070
C DIMENSION PBB( 260 ),PAB( 1300 ),PXB( 150 ) EST 0080
C DIMENSION PXX( 85 ),PXA( 740 ),PAA( 6600 ),EX( 13 ),EA( 85 ),EB( 20 ),DZ( 12 ) EST 0090
C DIMENSION PX( 9 ),PA( 81 ),PB( 14 ) EST 0100
C DIMENSION R( 70 ),HX( 80 ),HB( 120 ),RS( 8 ) EST 0110
C DIMENSION XJ( 85 ),YJ( 740 ),QJ( 85 ) EST 0120
C DIMENSION JB( 2 ) EST 0130
C COMMON/RADAR/ DY( 3, 5 ),YM( 3, 5 ),YMM( 3, 5 ) EST 0140
C COMMON/KALF/FF( 10000 ) EST 0150
C COMMON/PRED/DA( 1000 ) EST 0160
C EQUIVALENCE ( FF( 1 ),DBB( 1 )),( FF( 400 ),DAB( 1 )),( FF( 4000 ),DXB( 1 )) EST 0170
1 , ( FF( 5000 ),DB( 1 )) EST 0180
EQUIVALENCE ( PA( 1 ),DA( 1 )),( PX( 1 ),DA( 100 )),( PB( 1 ),DA( 200 )),( RS( 1 ) 1 , DA( 300 )) EST 0190
EST 0200
DATA/DR/57.29577951308232/
10 FORMAT( 4I10 ) EST 0230
15 FORMAT( 2I10 ) EST 0240
20 FORMAT( 8E10.3 ) EST 0250
30 FORMAT( 3I10 ) EST 0260
60 FORMAT( 2X, 6(E15.8, 3X) ) EST 0270
85 FORMAT( 1H0, 5X, 5HTIME=, F10.2/ ) EST 0280
760 FORMAT( 1H , 3(5X, E15.8) ) EST 0290
READ( 5, 10 ) NN, NA, NB1, NB2 EST 0300
READ( 5, 15 ) NM1, NM2 EST 0310
READ( 5, 30 ) JF, JB EST 0320
NM=NM1+NM2 EST 0330
NB=NB1+NB2 EST 0340
READ( 5, 20 ) ( PX( I ), I=1, NN ) EST 0350
READ( 5, 20 ) ( PA( I ), I=1, NA ) EST 0360
READ( 5, 20 ) ( PB( I ), I=1, NB ) EST 0370
READ( 5, 20 ) ( RS( K ), K=1, NM ) EST 0380
CALL LET( HX, NM , NN ) EST 0390
CALL SET( HX ) EST 0400
CALL LET( HB, NM , NB ) EST 0410
CALL SET( HB ) EST 0420
CALL LET( PXX, NN, NN ) EST 0430
CALL LET( PXA, NN, NA ) EST 0440
CALL LET( PXB, NN, NB ) EST 0450
CALL LET( PAA, NA, NA ) EST 0460
CALL LET( PAB, NA, NB ) EST 0470
CALL LET( PBB, NB , NB ) EST 0480
CALL LET( EX, NN, 1 ) EST 0490
CALL LET( EA, NA, 1 ) EST 0500
CALL LET( EB, NB , 1 ) EST 0510
CALL LET( DZ, NM , 1 ) EST 0520
CALL MAKE( XJ, PXX ) EST 0530
CALL MAKE( YJ, PXA ) EST 0540
CALL MAKE( QJ, PXX ) EST 0550

```

(続き) HARP 5020 COMPILED LIST

CALL SET(PXA)	EST 0560
CALL SET(PXB)	EST 0570
CALL SET(PAB)	EST 0580
CALL SET(PXX)	EST 0590
CALL SET(PAA)	EST 0600
CALL SET(PBB)	EST 0610
DO 1 I=1,NN	EST 0620
II=I+NN*(I-1)+4	EST 0630
1 PXX(II)=PX(I)**2	EST 0640
DO 2 I=1,NA	EST 0650
II=I+NA*(I-1)+4	EST 0660
2 PAA(II)=PA(I)**2	EST 0670
DO 3 I=1,NB	EST 0680
II=I+NB*(I-1)+4	EST 0690
3 PBB(II)=PB(I)**2	EST 0700
CALL LET(R,NM,NM)	EST 0710
CALL SET(R)	EST 0720
DO 4 I=1,NM	EST 0730
II=I+NM*(I-1)+4	EST 0740
4 R(II)=RS(I)**2	EST 0750
J=0	EST 0820
999 J=J+1	EST 0830
T=J-1	EST 0840
PRINT 85,T	EST 0850
DO 21 I=1,NB	EST 0860
II=I+NB*(I-1)+4	EST 0870
21 PB(I)=PBB(II)	EST 0880
DO 22 I=1,NA	EST 0890
II=I+NA*(I-1)+4	EST 0900
22 PA(I)=PAA(II)	EST 0910
DO 23 I=1,NN	EST 0920
II=I+NN*(I-1)+4	EST 0930
23 PX(I)=PXX(II)	EST 0940
WRITE(6,60)(PX(I),I=1,NN)	EST 0950
WRITE(6,60)(PA(I),I=1,NA)	EST 0960
WRITE(6,60)(PB(I),I=1,NB)	EST 0970
WRITE(6,60)(EX(I),I=5,NN+4)	EST 0980
WRITE(6,60)(EA(I),I=5,NA+4)	EST 0990
WRITE(6,60)(EB(I),I=5,NB+4)	EST 1000
KK=DZ(4)+0.01	EST 1010
PRINT 760,(DZ(K),K=5,KK)	EST 1020
READ(4) T,YM,YMM,HXX,HBB,DY	EST 1110
IF(J-JB(1)) 92,93,93	EST 1120
93 IF(J-JB(2)) 94,95,95	EST 1130
95 CONTINUE	EST 1140
CALL SET(HX)	EST 1150
DO 51 N=1,NN	EST 1160
DO 52 M=1,NM1	EST 1170
MJ=M+NM*(N-1)+4	EST 1180
MN=M+NM1*(N-1)+4	EST 1190
52 HX(MJ)=HXX(MN,1)	EST 1200
N1=NM1+1	EST 1210
DO 53 M=N1,NM	EST 1220
MJ=M-NM1+NM2*(N-1)+4	EST 1230
MN=M+NM*(N-1)+4	EST 1240

(続き) HARP 5020 COMPILED LIST

53	HX(MN)=HXX(MJ, 2)	EST 1250
51	CONTINUE	EST 1260
	CALL SET(HB)	EST 1270
	DO 54 M=1, NM1	EST 1280
	DO 54 N=1, NB1	EST 1290
	MN=M+NM1*(N-1)+4	EST 1300
	MJ=M+NM*(N-1)+4	EST 1310
54	HB(MJ)=HBB(MN, 1)	EST 1320
	N2=NB1+1	EST 1330
	DO 55 M=N1, NM	EST 1340
	DO 55 N=N2, NB	EST 1350
	MJ=M-NM1+NM2*(N-NB1-1)+4	EST 1360
	MN=M+NM*(N-1)+4	EST 1370
55	HB(MN)=HBB(MJ, 2)	EST 1380
	DO 56 I=1, NM1	EST 1390
56	DZ(I+4)=DY(I, 1)/DR	EST 1400
	II=4+NM1	EST 1410
	DO 57 I=1, NM2	EST 1420
	I1=I+II	EST 1430
57	DZ(I1)=DY(I, 2)/DR	EST 1440
	GO TO 99	EST 1450
94	CONTINUE	EST 1460
	DO 61 K=1, NM1	EST 1470
61	DZ(K+4)=DY(K, 1)/DR	EST 1480
	DO 62 K=1, NM1	EST 1490
	DO 62 L=1, NB1	EST 1500
	KL=K+NM1*(L-1)+4	EST 1510
	KK=K+NM*(L-1)+4	EST 1520
62	HB(KK)=HBB(KL, 1)	EST 1530
	DO 63 K=1, NM1	EST 1540
	DO 63 L=1, NN	EST 1550
	KK=K+NM*(L-1)+4	EST 1560
	KL=K+NM1*(L-1)+4	EST 1570
63	HX(KK)=HXX(KL, 1)	EST 1580
99	CONTINUE	EST 1590
	CALL KALFIL(PXX, PXA, PXB, PAA, PAB, PBB, EX, EA, EB, R, DZ, HX, HB)	EST 1600
	IF(J-421) 150, 160, 150	EST 1610
160	CALL MPRINT(PXX)	EST 1620
	CALL MPRINT(PXA)	EST 1630
	CALL MPRINT(PXB)	EST 1640
	CALL MPRINT(PAA)	EST 1650
	CALL MPRINT(PAB)	EST 1660
	CALL MPRINT(PBB)	EST 1670
	CALL MPRINT(EX)	EST 1680
	CALL MPRINT(EA)	EST 1690
	CALL MPRINT(EB)	EST 1700
	CALL MPRINT(DZ)	EST 1710
150	CONTINUE	EST 1720
92	CONTINUE	EST 1730
	IF(J-JF) 990, 1000, 1000	EST 1740
990	READ(2) XJ, YJ, QJ	EST 1800
	CALL PRED(PXX, PXA, PXB, PAA, PAB, PBB, EX, EA, EB, XJ, YJ, QJ)	EST 1810
	GO TO 999	EST 1830
1000	STOP	EST 1840
	END	EST 1850

HARP 5020 COMPILED LIST PREDICT

CPREDICT HARP	PRED 110
SUBROUTINE PRED(PXX,PXA,PXE,FAA,PAB,PBE,EX,EA,EB,XJ,YJ,QJ)	PRED 120
DIMENSION PXX(1),PXA(1),PAA(1),EX(1),EA(1),XJ(1),YJ(1),GJ(1), 1PXB(1),PAB(1),PBB(1),EB(1)	PRED 130
DIMENSION A(85),B(740)	PRED 135
C N IS LESS THAN 9	PRED 140
C NA IS LESS THAN 81	PRED 160
C NB IS LESS THAN 7	PRED 170
COMMON/PRED/DA(1000)	PRED 180
EQUIVALENCE (B(1),DA(1)),(A(1),DA(801))	PRED 190
CALL MULT(A,XJ,EX)	PRED 195
CALL MULT(EX,YJ,EA)	PRED 200
CALL ADD(EX,1.0,EX,1.0,A)	PRED 210
C CALL MULTP(A,PXX,XJ)	PRED 220
C CALL MULTP(B,PXA,YJ)	PRED 230
C CALL ADD(A,1.0, A,1.0,B)	PRED 240
C COMPUTE PXA	PRED 250
C CALL MULT(B,XJ,PXA)	PRED 260
C CALL MULT(PXA,YJ,PAA)	PRED 270
C CALL ADD(PXA,1.0,PXA,1.0,B)	PRED 280
C COMPUTE PXB	PRED 290
C CALL MULT(B,XJ,PXB)	PRED 300
C CALL MULT(PXB,YJ,PAB)	PRED 310
C CALL ADD(PXB,1.0,PXB,1.0,B)	PRED 320
C COMPUTE PXX	PRED 330
C CALL MULT(PXX,XJ,A)	PRED 340
C CALL MULTP(B ,YJ,PXA)	PRED 350
C CALL ADD(PXX,1.0,PXX,1.0,B)	PRED 360
C CALL ADD(PXX,1.0,PXX,1.0,QJ)	PRED 370
RETURN	PRED 380
END	PRED 390
	PRED 400
	PRED 410

HARP 5020 COMPILED LIST KALFIL

```

CKALFIL      HARP    64                                KALF   10
SUBROUTINE KALFIL(PXX,PXA,PXB,PAA,PAB,PBB,EX,EA,EB,R,DZ,HX,HB)KALF  20
DIMENSION PXX( 1),PXA(1),PXB(1),PAA(1),PAB(1),PBB(1),EX(1),EA(1),
1 EB(1),R(1),DZ(1),HX(1),HB(1)                                KALF  30
DIMENSION C(85),A(68),DT(6565),DA(76),DM(76),DC(655),DN(655),DD
1 (132),DP(132),DJ(76),DK(655),DL(132),GM(8,8)                KALF  40
**** 10
**** 20
**** 30
**** 40
**** 50
**** 60
**** 70
COMMON/KALF/FF( 10000 )
EQUIVALENCE (FF(1),DT(1)),(FF(6566),DC(1)),(FF(7221),DN(1)),(FF
1 (7876),DK(1)),(FF(8531),DD(1)),(FF(8663),DP(1)),(FF(8795),DL(1)),
2 (FF(8927),C(1)),(FF(9012),A(1)),(FF(9080),DA(1)),(FF(9156),DM(1)),
3 (FF(9232),DJ(1))                                **** 40
**** 50
**** 60
**** 70
C   C(MAX(N,A,B,R*R )+4),A(R*R +4),DT(MAX(N**2,N*A,N*B,A*B,
C   A*B)+4),DA(R*N+4),DM(R*N+4),DC(R*A+4),DN(R*A+4),DD(R*B
C   +4),DP(R*B+4),DJ(N*R+4),DK(A*R+4),DL(B*R+4),GM(R,R)        00
C   COMPUTE MEASUREMENT RESIDUAL                  10
C   CALL MULT(DA, HX, EX)                          20
C   CALL MULT(DM, HB, EB)                          125
C   CALL MULT(DM, HB, EB)                          130
C   CALL ADD(DZ, 1.0, DZ, -1.0, DA)               140
C   CALL ADD(DZ, 1.0, DZ, -1.0, DM)               150
C   CALL ADD(DZ, 1.0, DZ, -1.0, DM)               160
C   CALL ADD(DZ, 1.0, DZ, -1.0, DM)               165
C   CALL MULT(DA, HX, PXX)                         170
C   CALL MULT(DA, HX, PXX)                         180
C   CALL ADD(DA, 1.0, DA, 1.0, DM)                190
C   CALL ADD(DA, 1.0, DA, 1.0, DM)                195
C   CALL MULT(DC, HX, PXA)                         200
C   CALL MULT(DC, HX, PXA)                         210
C   CALL ADD(DC, 1.0, DC, 1.0, DN)                220
C   CALL ADD(DC, 1.0, DC, 1.0, DN)                225
C   CALL MULT(DD, HX, PXB)                         230
C   CALL MULT(DD, HX, PXB)                         240
C   CALL ADD(DD, 1.0, DD, 1.0, DP)                250
C   CALL ADD(DD, 1.0, DD, 1.0, DP)                255
C   CALL MULTP(C, HX, DA)                          260
C   CALL MULTP(A, HB, DD)                          270
C   CALL ADD(C, 1.0, C, 1.0, A)                   280
C   CALL ADD(C, 1.0, C, 1.0, A)                   285
C   CALL MAKE(A, R)                             290
C   CALL ADD(C, 1.0, C, 1.0, A)                   300
C   CALL ADD(C, 1.0, C, 1.0, A)                   305
C   II=C(1)+0.01                                 310
DO 1 I=1,II                                     320
DO 1 J=1,II                                     330
IJ=I+II*(J-1)+4                                340
1 GM(I,J)=C(IJ)                                350
CALL MATINV(GM, II,C, 0,DET, II)                360
DO 2 I=1,II                                     370
DO 2 J=1,II                                     380
IJ=I+II*(J-1)+4                                390
2 A(IJ)=GM(I,J)                                400
C   CALL TRANSP(DJ, DA)                           405
C   CALL TRANSP(DK, DC)                           410
C   CALL TRANSP(DL, DD)                           420
C   CALL TRANSP(DL, DD)                           430
C   COMPUTE KALMAN GAIN MATRIX                 435
C   COMPUTE KALMAN GAIN MATRIX                 440

```

(続き) HARP 5020 COMPILED LIST KALFIL

C	CALL MULT(DM,DJ,A)	KALF 445
	CALL MULT(DP,DL,A)	KALF 450
	CALL MULT(DN,DK,A)	KALF 460
C	CALL MULT(DT,DM,DA)	KALF 470
	CALL ADD(PXX,1.0,PXX,-1.0,DT)	KALF 475
	CALL MULT(DT,DM,DC)	KALF 480
	CALL ADD(PXA,1.0,PXA,-1.0,DT)	KALF 490
	CALL MJLT(DT,DM,DD)	KALF 500
	CALL ADD(PXB,1.0,PXB,-1.0,DT)	KALF 510
	CALL MULT(DT,DN,DC)	KALF 520
	CALL ADD(PAA,1.0,PAA,-1.0,DT)	KALF 530
	CALL MULT(DT,DN,DD)	KALF 540
	CALL ADD(PAB,1.0,PAB,-1.0,DT)	KALF 550
	CALL MULT(DT,DP,DD)	KALF 560
	CALL ADD(PBB,1.0,PBB,-1.0,DT)	KALF 570
C	UPDATE ESTIMATE	KALF 580
C	CALL MULT(C,DM,DZ)	KALF 590
	CALL ADD(EX,1.0,EX,1.0,C)	KALF 595
	CALL MULT(C,DN,DZ)	KALF 600
	CALL ADD(EA,1.0,EA,1.0,C)	KALF 605
	CALL MULT(C,DP,DZ)	KALF 610
	CALL ADD(EB,1.0,EB,1.0,C)	KALF 620
C	RETURN	KALF 630
	END	KALF 640
		KALF 650
		KALF 660
		KALF 665
		KALF 670
		KALF 680

航空宇宙技術研究所資料 266号

昭和 49 年 11 月 発 行

発行所 航 空 宇 宙 技 術 研 究 所
東 京 都 調 布 市 深 大 寺 町 1880
電 話 武 藏 野 三 鷹 (0422) 47-5911 (大 代 表) 〒182

印 刷 所 株 式 会 社 共 進
東 京 都 杉 並 区 久 我 山 4-1-7 (羽 田 ビ ル)

Printed in Japan

This document is provided by JAXA.